

ГЛАВНОЕ УПРАВЛЕНИЕ ГИДРОМЕТЕОРОЛОГИЧЕСКОЙ СЛУЖБЫ
ПРИ СОВЕТЕ МИНИСТРОВ СССР
АКАДЕМИЯ НАУК КАЗАХСКОЙ ССР
(СЕКТОР ФИЗИЧЕСКОЙ ГЕОГРАФИИ)

6 ЯНВ 1976

РЕСУРСЫ ПОВЕРХНОСТНЫХ ВОД СССР

КАТАЛОГ ЛЕДНИКОВ СССР

ТОМ 13

ЦЕНТРАЛЬНЫЙ И ЮЖНЫЙ КАЗАХСТАН

ВЫПУСК 2

БАССЕЙН ОЗ. БАЛХАШ

ЧАСТЬ 4

БАССЕЙНЫ РЕК ХОРГОСА, УСЕКА



ГИДРОМЕТОЕИЗДАТ
ЛЕНИНГРАД • 1975

452

ГЛАВНОЕ УПРАВЛЕНИЕ ГИДРОМЕТЕОРОЛОГИЧЕСКОЙ СЛУЖБЫ
ПРИ СОВЕТЕ МИНИСТРОВ СССР.

АКАДЕМИЯ НАУК КАЗАХСКОЙ ССР

(СЕКТОР ФИЗИЧЕСКОЙ ГЕОГРАФИИ)

К 33977

РЕСУРСЫ ПОВЕРХНОСТНЫХ ВОД СССР

КАТАЛОГ ЛЕДНИКОВ СССР

Т О М 13

ЦЕНТРАЛЬНЫЙ И ЮЖНЫЙ КАЗАХСТАН

ВЫПУСК 2

БАССЕЙН ОЗ. БАЛХАШ

ЧАСТЬ 4

БАССЕЙНЫ РЕК ХОРГОСА, УСЕКА

П. А. ЧЕРКАСОВ



ГИДРОМЕТЕОИЗДАТ

ЛЕНИНГРАД • 1975

Каталог ледников бассейнов рек Хоргоса и Усека просмотрен и отредактирован в отделе гляциологии Института географии АН СССР. Каталог рекомендован к печати секцией гляциологии Межведомственного геофизического комитета при Президиуме АН СССР.

Ответственные редакторы
О. Н. ВИНОГРАДОВ, В. М. КОТЛЯКОВ

Редактор
О. В. РОТОТАЕВА

В Каталоге дается характеристика географического положения, морфологии и условий существования ледников южного склона Джунгарского Алатау. Подчеркиваются те стороны жизнедеятельности ледников, которые влияют на режим рек, величину и распределение стока во времени, что в условиях недостаточного увлажнения района имеет важное народнохозяйственное значение. Приводятся сведения об экспедиционных исследованиях, проведенных на ледниках.

Рассчитан на географов, гляциологов, гидрологов, метеорологов.

ПРЕДИСЛОВИЕ

Настоящая часть Каталога ледников входит в том 13—Центральный и Южный Казахстан, вып. 2—Бассейн оз. Балхаш. Она характеризует оледенение южного склона Южного Центрального хребта горной системы Джунгарский Алатау в пределах СССР. Сведения об остальных областях современного оледенения Джунгарского Алатау приводятся в частях 5, 6 и 7 этого выпуска.

В данную часть Каталога вошли ледники бассейнов рек Хоргоса, Чижина, Тышкана, Бурхана, Большого Усека (образующая р. Усека), Среднего Усека (приток р. Большого Усека), Малого Усека (образующая р. Усека) и Борохудзир (см. рис. 20). По существующему административному делению рассматриваемая территория расположена в пределах Панфиловского района Галды-Курганской области КазССР.

Каталог ледников содержит сведения о линейных размерах и площади каждого ледника в отдельности, его положении на местности по отношению к другим ледникам и бассейнам рек, морфологическом типе, экспозиции, высоте над уровнем моря. В зависимости от наличия сведений о тех или иных ледниках приводятся также данные о положении фирновой линии, площадях питания и аблации, объеме льда, площади с моренным покровом. Все эти сведения помещены в табл. I.

Каталог ледников состоит из схем, таблиц, текста, графиков и фотографий. При этом основными таблицами являются:

Таблица I—Основные сведения о ледниках (с пояснениями к этой таблице);

Таблица II—Список гидрометеорологических станций и постов в районе ледников;

Таблица IV—Экспедиционные и стационарные исследования ледников;

Таблица V—Список работ, содержащих сведения о ледниках.

Все таблицы составлены в соответствии с «Руководством по составлению Каталога ледников СССР» (Л., Гидрометеоиздат, 1966).

Схемы расположения ледников (см. рис. 21—27) составлены по отдельным речным бассейнам. Порядковая нумерация ледников на схемах идет против хода часовой стрелки. При этом нумерация ледников, принятая на схемах, полностью сохраняется во всех таблицах и при описании ледников, включенных в настоящий Каталог.

Для получения данных, необходимых при заполнении граф табл. I, были использованы следующие основные материалы:

1) крупномасштабная карта современного оледенения гор Джунгарского Алатау, составленная

в секторе физической географии (СФГ) АН КазССР П. А. Черкасовым. Специальная гляциологическая нагрузка на этой карте дана для истоков р. Карсу (бассейн р. Хоргоса) на основании материалов полевых исследований, проведенных в 1969 г., а для остальной территории—на основании анализа аэрофотоснимков 1956 и 1961 гг.;

2) планы ледников, полученные трансформированием аэрофотоснимков на малом фототрансформаторе типа ФТМ. Необходимость подобных работ была вызвана тем, что на многих топографических картах контуры открытых частей ледников (не говоря уже о погребенных) были искажены, многие ледники не показаны совсем и т. д.

Трансформирование аэрофотоснимков производилось следующим образом.

Участки топографических карт, на которых по аэрофотоснимкам были обнаружены ледники (независимо от того, показаны последние на картах или нет), контактно копировались на кальку на световом столе. Затем эти выкопировки увеличивались на ФТМ до нужного масштаба и служили основой для трансформирования аэрофотоснимков. На полученных планах по линии водоразделов хребтов выделялись (поднимались карандашом) характерные пункты орографического обрамления вместилища ледника (линия хребта, вершины и седловины) и намечались средние высотные и плановые уровни зон, необходимые для трансформирования аэрофотоснимков. За высоту средней плоскости начальной зоны принималась средняя абсолютная высота хребтов гор, обрамляющих ледник.

Аэрофотоснимки ледников дешифрировались на топографическом стереометре СТД-2. Затем с них снимали на кальку контуры ледников и особенности рельефа с указанием расположения вершин и седловин. На этой же выкопировке по основному направлению течения ледника (приблизительно под прямым углом к горизонтальным данного участка карты) проводились две линии параллельно друг другу на произвольном расстоянии, удобном для трансформирования поверхности данного ледника.

План ледника с окружающими его хребтами, или только план его вместилища, полученный с топографической карты, помещался на экран фототрансформатора, предварительно приведенного в горизонтальное положение, а рисунок ледника, скопированный с аэрофотоснимка,—на стекло кассеты фототрансформатора. Трансформируемый участок располагался на линии оптической оси объектива ФТМ.

Перемещением кассеты по вертикали добивались совмещения контуров орографии бассейна ледника, снятых с аэрофотоснимков, с контурами орографии этого же бассейна, полученными с карты; т. е. оба изображения приводились к единому масштабу на уровне средней плоскости начальной зоны трансформирования.

Затем на плане с орографической основой карты (лежащем на экране ФТМ) в пределах начальной зоны трансформирования рисовались нужные для Каталога контуры ледника, проектировавшиеся с выкопировки, снятой с аэрофотоснимка (лежащей на стекле кассеты ФТМ). На этом заканчивался первый этап трансформирования.

Для выполнения второго этапа трансформирования на том же плане поднимались карандашом две параллельно идущие линии, проектирующиеся на него с той же выкопировкой, и на уровне средних плоскостей выделенных зон трансформирования соединялись между собой другими линиями, идущими к ним под прямым углом. Линия, соединяющая две первые параллельные линии на уровне начальной зоны трансформирования, обозначалась как нулевая, все последующие соединительные линии нумеровались по направлению сверху вниз.

На первом этапе трансформирования произвольно взятое расстояние между двумя параллельно идущими линиями на уровне высоты средней плоскости начальной (или нулевой) зоны (выраженное в мм) имело длину L_0 .

На последующих этапах трансформирования то же расстояние между линиями на средней плоскости первой и последующих зон трансформирования (L_1, L_2, \dots, L_n) определялось по формуле

$$L_i = L_0 + \Delta L,$$

где ΔL — линейное приращение к произвольно взятой длине отрезка между двумя параллельно идущими линиями (в мм), соответствующее величине вертикального интервала трансформирования снимка (в м) между исходной и любой последующей зонами.

Так как начальная зона трансформирования в нашем случае находилась выше всех последующих, то значение ΔL всегда прибавлялось. Эта величина определялась по формуле

$$\Delta L = -\frac{L_0 \Delta A}{H_0},$$

где ΔA — разность высот средних плоскостей данной и начальной зон, которая в свою очередь находится по формуле

$$\Delta A = A_0 - A_i$$

(A_0 — абсолютная высота средней плоскости начальной зоны, A_i — абсолютная высота средней плоскости трансформируемой зоны аэрофотоснимка. Обе эти величины определялись по топографическим картам. Интервал между трансформируемыми зонами был выбран равным 100 м); H_0 — высота фотографирования над средней плоскостью начальной зоны, определялась по выражению

$$H_0 = H - A_0$$

(H — высота фотографирования над уровнем моря).

В случае отсутствия данных по H , величину H_0 вычисляли по формуле

$$H_0 = \frac{l''}{l} M f_k$$

(l'' — отрезок, измеренный по карте, l — тот же отрезок, измеренный по фотоснимку, M — знаменатель масштаба карты, f_k — фокусное расстояние аэрофотоаппарата).

Полученную величину ΔL_1 прибавляли к ранее отложенному отрезку, заключенному между двумя линиями на уровне первой трансформируемой зоны L_0 , и при помощи масштабного инверсора изменяли масштаб проектировавшегося изображения ледника, лежащего на стекле кассеты, так, чтобы проведенные на нем линии совпадали с концами отрезка L_1 , отложенного на плане, полученным с карты. После этого на упомянутом плане орографической основы только в пределах данной зоны продолжали рисовку рельефа ледника.

При трансформировании по зонам определение приращения величин ΔL к L_0 и рисовку рельефа ледника производили столько раз, сколько рассчитывалось зон.

После завершения трансформирования полученные отрезки линий, оконтуривающие тело ледника в пределах своих зон, соединялись между собой одной сплошной линией. Ранее прочерченные вспомогательные прямые линии убирались.

Рисунок горизонталей карты, увеличенный до выбранного масштаба одновременно с другими элементами ее содержания, после необходимых уточнений, связанных с особенностями строения ледника, оттрансформированного на данном плане, служил основой для получения необходимых высотных отметок. В результате получали детально изображение ледника, с которого брались все необходимые сведения для заполнения граф табл. I.

Для облегчения работы по изложенной выше методике на кальке были построены номограммы, позволяющие получать ΔL к любой длине (но не более 100 мм) произвольно заданных одинаковых отрезков между двумя параллельно идущими линиями на всех средних уровнях, намеченных через 100 м по высоте зон трансформирования аэрофотоснимков. При характеристике морфометрии ледников поправки на высоту местности над уровнем моря и уклоны ее поверхности не учитывались. Все приводимые данные соответствуют изображению горизонтальной проекции местности на уровне поверхности.

Морфологический тип и общая экспозиция ледников определялись по аэрофотоснимкам, планам, карте оледенения и натурным наблюдениям. Морфологический тип ледника (графа 4 табл. I), согласно классификации, рекомендованной «Руководством по составлению Каталога ледников СССР», характеризуется следующими основными терминами: долинный, котловинный, каровый, висячий, плоских вершин и др. Кроме того, выделен шлейфовый тип ледника, описание которого приведено ниже.

Экспозиция ледника (графа 5 табл. I), определялась в соответствии с направлением, к которому обращена его поверхность, и дается по 8 румбам, обозначаемым начальными буквами русских названий этих румбов: С, СВ, В, ЮВ, Ю, ЮЗ, З, СЗ.

Длина ледника (графы 6 и 7 табл. I), т. е. расстояние по его оси от погребенного и отдельно чистого конца ледника до верховьев самого длинного из интакующих его ледниковых потоков, изменилась по крупномасштабным планам при помощи измерителя с микрометренным винтом при растворе 2 мм.

Выделение границ распространения погребенного под мореной льда производилось одновременно с картированием ледников или непосредственно при наблюдениях на местности, или путем дешифрования аэрофотоснимков и переноса выделенных контуров на трансформированный план. Планы, полученные с помощью изложенных здесь методов картирования, позволяют измерять длины ледников с точностью до 0,0025 км (при условии, что разрешающая способность визуального отсчета длины по линейке практически составляет 0,1 мм).

Площади ледников (графы 8 и 9 табл. I) изменились по тем же планам, что и их длина, в соответствии с методическими указаниями «Руководства по составлению Каталога ледников СССР». Измерения производились планиметром при четырехкратном повторении обводов. Точность определения площадей ледников зависит от их размеров.

Чтобы получить среднюю квадратическую ошибку технической точности измерения общей площади ледников отдельных бассейнов m , все ледники в зависимости от их размеров были сгруппированы по определенным интервалам числа делений планиметра. Затем были определены их средние площади (\bar{P}_1 , \bar{P}_2 и т. д.) и соответствующие им числа делений планиметра (F_1 , F_2 и т. д.):

$$\bar{P}_1 = \frac{\sum_{1}^n P_1}{n} = F_1, \quad \bar{P}_2 = \frac{\sum_{1}^n P_2}{n} = F_2 \text{ и т. д.}$$

По формуле Н. М. Волкова¹

$$m = \pm (0,38 + 0,044\sqrt{F})$$

для этих групп ледников была определена средняя квадратическая ошибка измерения их площади.

Для отдельных бассейнов средняя квадратическая ошибка технической точности измерения общей площади ледников в соответствии с наличием выделенных групп определялась по формуле

$$\bar{m} = \pm \sqrt{\left(\frac{\sum_{1}^n P_1}{n} m_1 \right)^2 n + \left(\frac{\sum_{1}^n P_2}{n} m_2 \right)^2 n + \dots}$$

Для р. Хоргоса она равна 4,97%, для рек Чижина, Тышкана и Бурхана — 3,57%, для р. Усека — 6,02%.

По мере уменьшений размеров ледников, из которых складывается общая площадь оледенения бассейна, точность измерения их площади планиметром уменьшается.

Учитывая, что планы ледников содержат определенные ошибки полевых или камеральных измерений, при заполнении табл. I была принята точность длин ледников не более 0,1 км, а их площадей — 0,1 км².

¹ Н. М. Волков. Принципы и методы картометрии. М.—Л., Изд-во АН СССР, 1950.

В конце каждой группы ледников, выделенных в табл. I по своей принадлежности к определенному речному бассейну, в графе 8 приводится итоговая цифра — сумма площадей ледников всей группы. Если в данной группе ледников имелись ледники площадью менее 0,1 км², то их суммарная площадь записывалась ниже итоговых данных вне граф таблицы. Еще ниже в графе 8 по выделенной группе ледников дается их итоговая суммарная площадь, в том числе и ледников, имеющих площадь менее 0,1 км².

Высотные отметки характерных точек ледников (графы 10 и 11 табл. I) приводятся с точностью до 10 м, а в графе 12 той же таблицы — или с точностью до 10 м (если они определены по горизонталям топографических карт), или с точностью до 1 м (если такие данные имелись на картах).

Известно, что в зависимости от метеорологических условий высота фирновой линии на ледниках сильно колеблется от года к году. Но поскольку не было возможности проводить многолетние наблюдения за положением фирновой линии, в настоящей работе ее высота на всех ледниках района определялась как среднее из трех измерений: непосредственных визуальных наблюдений в 1969 г., дешифрования аэрофотоснимков и расчета по методам Курковского, Гефера, Гесса и Щегловой. Полученная для каждого ледника величина должна быть близкой к средней многолетней высоте его фирновой линии. В графе 13 табл. I высота фирновой линии приводится с точностью до 10 м.

Измерения каждого из перечисленных выше элементов ледников (длина, площадь, высота фирновой линии, площадь области аблации), проводились, как правило, дважды разными исполнителями. Дополнительный контроль осуществлялся избыточным числом измерений.

Объемы льда ледников, приводимые в графе 17 табл. I с точностью до 0,01 км³, даны лишь для крупных типичных долинных и котловинных ледников. Вычислены они по формуле, предложенной Н. В. Ерасовым¹,

$$V = 0,027\sqrt{S^3},$$

где V — объем льда ледника, S — площадь ледника. Поскольку для каждого ледника должен быть свой собственный коэффициент, отличающийся от 0,027, результаты вычисления объема ледников по этой формуле представляют самые ориентировочные данные. Однако, учитывая крайнюю скудность данных о массе льда ледников, составитель Каталога в ряде случаев применял эту формулу для определения объема льда.

В графе 18 табл. I даются ссылки на сведения о ледниках, приведенные в последующих таблицах. Ссылки на таблицы записываются в виде дроби, в числите которой указывается номер таблицы, а в знаменателе — порядковые номера, под которыми приводятся сведения о леднике.

Непосредственно за табл. I в Каталоге помещены пояснения к ней, где в необходимых случаях представлены дополнительные сведения о ледниках, помещенных в Каталоге. В таких случаях

¹ Н. В. Ерасов. Объем льда в ледниках северного склона Джунгарского Алатау и метод его подсчета (в порядке обсуждения). — «Гидрологический режим ледников», 1968, вып. 7. «Наука», Алма-Ата, 1968.

в графе 1 табл. I после номера ледника, к которому имеется пояснение, ставится звездочка (*).

Таблица II содержит список гидрометеорологических станций и постов в районе ледников, данные наблюдений которых могут быть использованы для суждения о режиме и климатических условиях существования современного оледенения. В списке указаны все станции и посты независимо от их ведомственной принадлежности, действовавшие в момент составления Каталога, а также закрытые к этому времени и проработавшие не менее года. Все помещенные в табл. II станции и посты показаны на схеме расположения гидрометеорологических станций и постов (рис. 28), причем принята единая нумерация для всех видов станций и постов.

Таблица III — Список суммарных осадкомеров и снегометрических пунктов в районе ледников — не

приводится из-за их отсутствия на рассматриваемой территории.

Физико-географическое описание ледникового района и условий существования ледников составлено на основании материалов экспедиционных исследований, литературных источников и анализа имеющегося картографического материала.

Характеристика данных во всех таблицах этой части Каталога дается по состоянию на 1972 г.

Настоящая часть Каталога ледников СССР подготовлена в группе гляциологии Сектора физической географии АН КазССР в 1968—1973 гг.

В сборе полевого материала о размещении ледников в бассейне р. Хоргоса и подготовке морфометрических данных о ледниках этой территории принимал участие В. Г. Васильев. Работа по графическому оформлению Каталога выполнена М. Е. Мирной. Все фотографии сделаны П. А. Черкасовым в 1969 г.

ДЕЛЕНИЕ КАТАЛОГА ЛЕДНИКОВ СССР НА ТОМА, ВЫПУСКИ И ЧАСТИ

Подразделение Каталога ледников СССР на тома и выпуски полностью соответствует подразделению на тома и выпуски справочного издания

ледников СССР составляется лишь на районы, охватываемые томами 1, 3, 8, 9, 13—17, 19, 20 этого издания.

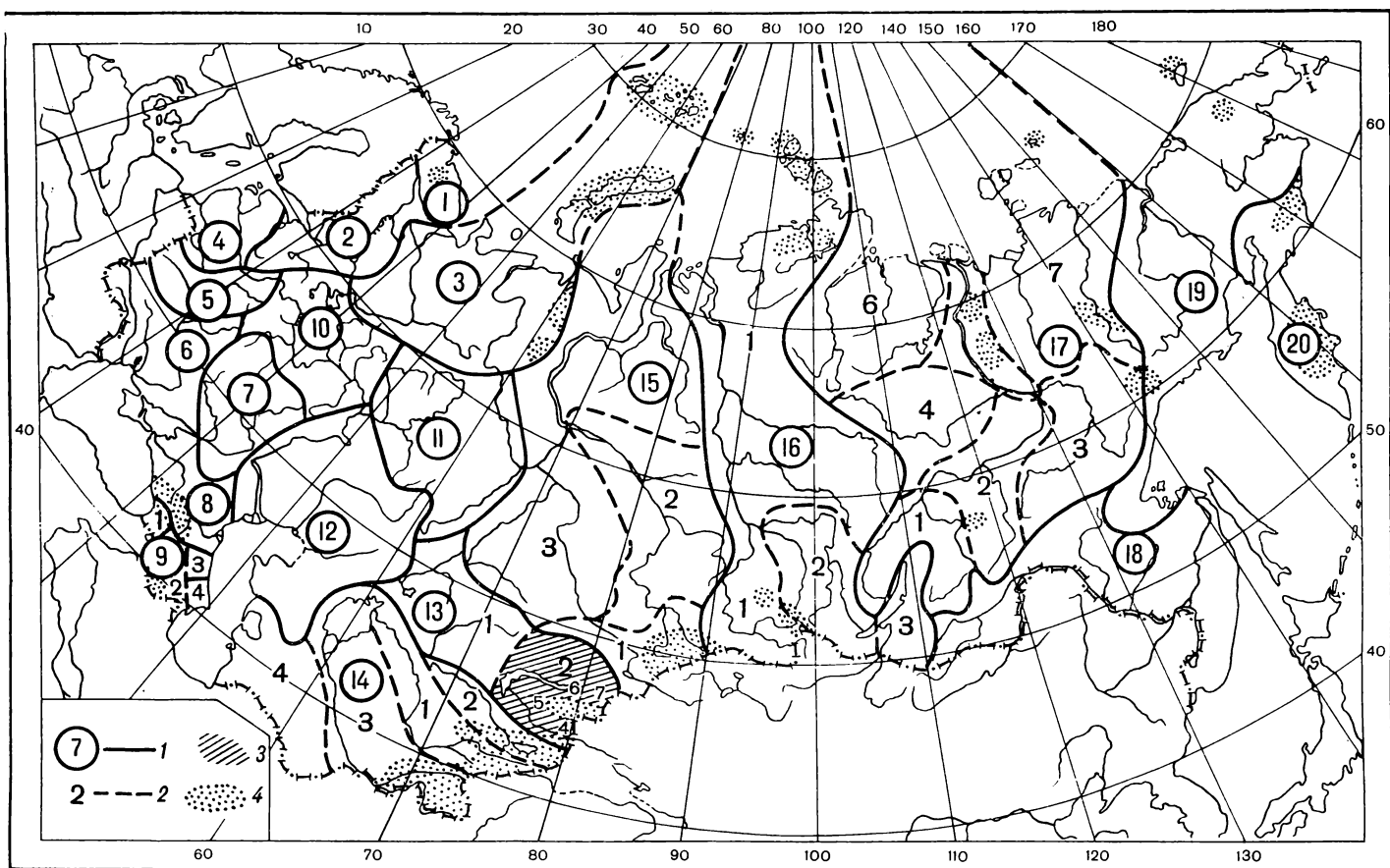


Рис. 1. Схема деления территории СССР на тома и выпуски Каталога ледников.

1 — номера томов и границы отнесененных к ним территорий, 2 — номера выпусков и границы отнесененных к ним территорий, 3 — территория, отнесенная к тому 13, вып. 2 — Бассейн оз. Балхаш (более мелкими цифрами отмечены номера частей), 4 — районы современного оледенения.

«Ресурсы поверхностных вод СССР» (рис. 1). Как известно, этот справочник состоит из 20 томов, характеризующих вместе всю территорию Советского Союза. В основу разделения справочника на тома положен принцип принадлежности территории к крупным речным бассейнам.

Поскольку области современного оледенения имеются не в каждом из 20 районов — томов издания «Ресурсы поверхностных вод СССР», Каталог

в связи с неравномерностью распределения оледенения по территории СССР в пределах выделенных томов и отдельных выпусков предусматривается издание нескольких частей Каталога ледников СССР (см. список). Так например, том 13 (Центральный и Южный Казахстан), вып. 2 (Бассейн оз. Балхаш) разделен на 7 частей, из которых часть 4 — бассейны рек Хоргоса, Усека (рис. 2).

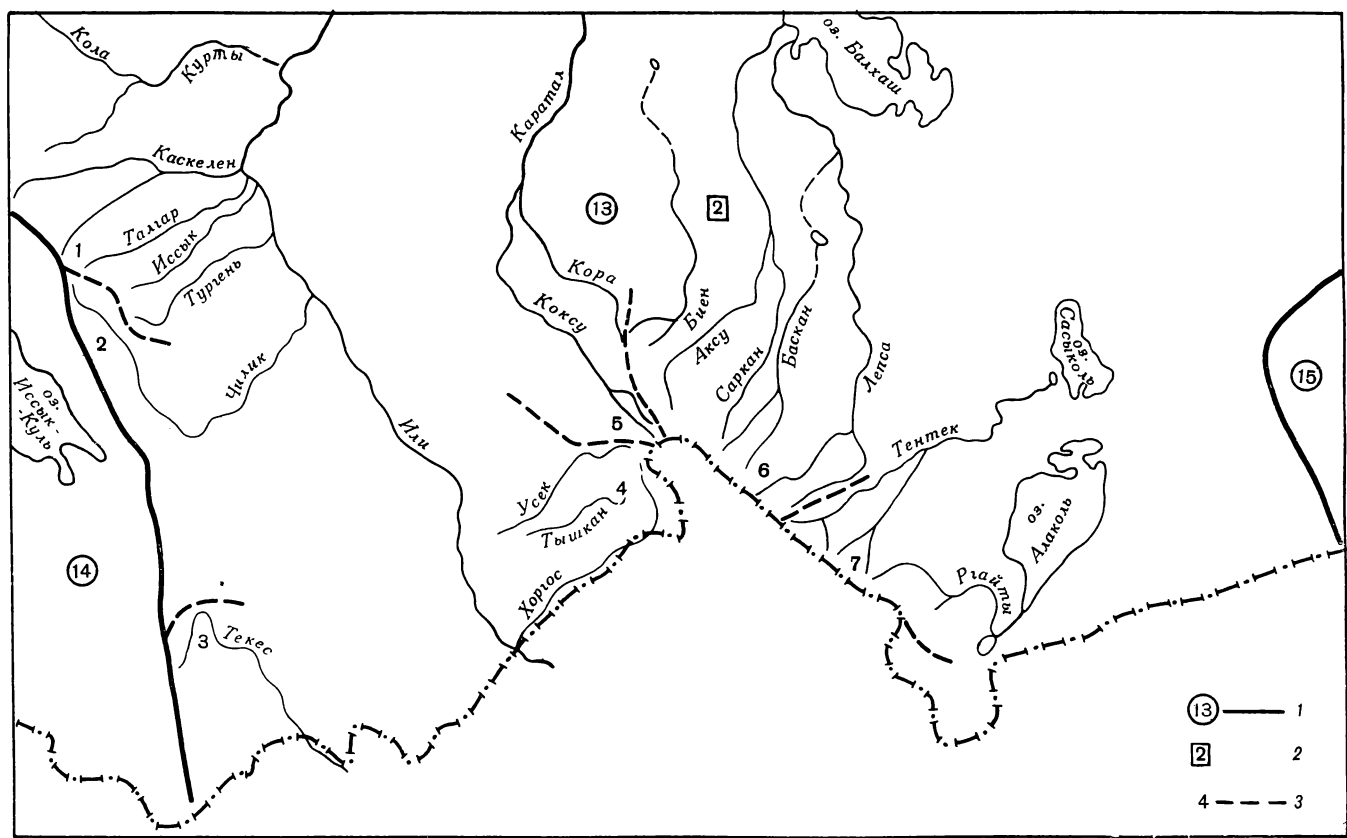


Рис. 2. Схема деления на части тома 13 — Центральный и Южный Казахстан (вып. 2 — Бассейн оз. Балхаш) Каталога ледников СССР.

1 — номера томов и границы отнесенных к ним территорий, 2 — номер выпуска, 3 — номера частей и границы отнесенных к ним территорий.

СПИСОК ТОМОВ, ВЫПУСКОВ И ЧАСТЕЙ КАТАЛОГА ЛЕДНИКОВ СССР

Том 1. КОЛЬСКИЙ ПОЛУОСТРОВ

Часть 1. Хибинские горы (издано в 1966 г.)

Том 3. СЕВЕРНЫЙ КРАЙ

Часть 1. Земля Франца-Иосифа (издано в 1965 г.)

Часть 2. Новая Земля

Часть 3. Урал (издано в 1966 г.)

Том 8. СЕВЕРНЫЙ КАВКАЗ

Часть 1. Бассейны рек Белой, Лабы, Урупа (издано в 1967 г.)

Часть 2. Бассейны рек Большого Зеленчука, Малого Зеленчука (издано в 1967 г.)

Часть 3. Бассейн р. Теберды (издано в 1967 г.)

Часть 4. Бассейн верховьев р. Кубани (издано в 1967 г.)

Часть 5. Бассейны рек Малки, Баксана (издано в 1970 г.)

Часть 6. Бассейн р. Чегема (издано в 1973 г.)

Часть 7. Бассейн р. Черека (издано в 1973 г.)

Часть 8. Бассейн р. Уруха

Часть 9. Бассейн р. Ардона

Часть 10. Бассейны рек Фиагдона, Гизельдона

Часть 11. Бассейн верховьев р. Терека

Часть 12. Бассейны правых притоков р. Сунжи

Том 9. ЗАКАВКАЗЬЕ И ДАГЕСТАН

Выпуск 1. Западное Закавказье

Часть 1. Бассейн р. Мзымы

Часть 2. Бассейн р. Бзыби (издано в 1975 г.)

Часть 3. Бассейн р. Келасури (издано в 1975 г.)

Часть 4. Бассейн р. Кодори (издано в 1975 г.)

Часть 5. Бассейн р. Ингури (издано в 1975 г.)

Часть 6. Бассейны рек Хоби, Рioni (издано в 1975 г.)

Часть 7. Бассейны левых притоков р. Куры

Выпуск 2. Армения

Часть 1. Бассейн р. Аракса

Выпуск 3. Дагестан

Часть 1. Бассейн р. Сулака

Часть 2. Бассейн р. Самура

Выпуск 4. Восточное Закавказье

Часть 1. Бассейн р. Кусарчая

Том 13. ЦЕНТРАЛЬНЫЙ И ЮЖНЫЙ КАЗАХСТАН

Выпуск 2. Бассейн оз. Балхаш

Часть 1. Бассейны левых притоков р. Или от устья р. Тургень до устья р. Курты (издано в 1967 г.)

Часть 2. Бассейн р. Чилика (издано в 1968 г.)

Часть 3. Бассейны рек Чарына, Текеса (издано в 1969 г.)

Часть 4. Бассейны рек Хоргоса, Усека

Часть 5. Бассейн р. Карагата

Часть 6. Бассейны рек Биена, Аксу, Лепсы (издано в 1970 г.)

Часть 7. Бассейны рек Тентека, Ргайты (издано в 1969 г.)

Том 14. СРЕДНЯЯ АЗИЯ

Выпуск 1. Сырдарья

Часть 1. Бассейн р. Пскема (издано в 1968 г.)

Часть 2. Бассейн р. Чаткала (издано в 1970 г.)

Часть 3. Бассейны правых притоков р. Нарына ниже устья р. Кёкемерена

Часть 4. Бассейны правых притоков р. Нарына от устья р. Кёкемерена до устья р. Малого Нарына (издано в 1973 г.)

Часть 5. Бассейны правых притоков и левых притоков верховьев р. Нарына

Часть 6. Бассейн р. Атбashi (издано в 1974 г.)

Часть 7. Бассейны левых притоков р. Нарына от устья р. Атбashi до устья р. Карадары

Часть 8. Бассейн р. Карадары

Часть 9. Бассейны левых притоков р. Сырдарьи от устья р. Карадары до устья р. Аксу (издано в 1974 г.)

Часть 10. Бассейны левых притоков р. Сырдарьи от устья р. Аксу и ниже (издано в 1974 г.)

Часть 11. Бассейн р. Арыси

Выпуск 2. Киргизия

Часть 1. Бассейны рек Ассы, Таласа (издано в 1968 г.)

Часть 2. Бассейны левых притоков р. Чу ниже устья р. Коморчека (издано в 1973 г.)

Часть 3. Бассейн верховьев р. Чу (издано в 1971 г.)

Часть 4. Бассейны правых притоков р. Чу ниже Боамского ущелья (издано в 1969 г.)

Часть 5. Реки бассейна оз. Иссык-Куль.

Часть 6. Бассейн р. Акшийрака (издано в 1970 г.)

Часть 7. Бассейны правых притоков р. Сарыджаза между устьями рек Акшийрака и Куйлю (издано в 1969 г.)

Часть 8. Бассейн верховьев р. Сарыджаза от устья р. Куйлю

и выше

Часть 9. Бассейны левых притоков р. Сарыджаза (реки Иныльчек, Каинды, Каюкан)

Часть 10. Бассейн р. Кокшаала (издано в 1971 г.)

Часть 11. Реки бассейна оз. Чатыркель (издано в 1971 г.)

Выпуск 3. Амударья

Часть 1. Бассейн верховьев р. Зеравшана от устья р. Фандары

Часть 2. Бассейн р. Зеравшана ниже устья р. Фандары

Часть 3. Бассейн р. Кашикдары (издано в 1969 г.)

Часть 4. Бассейн р. Сурхандары (издано в 1969 г.)

Часть 5. Бассейн р. Кафирнигана

Часть 6. Бассейн р. Сурхоба между устьями рек Обихингую и Муксу (издано в 1971 г.)

Часть 7. Бассейн р. Кызылсу

Часть 8. Бассейн р. Муксу (А — система ледника Федченко) (издано в 1968 г.)

Часть 9. Бассейн р. Обихингую

Часть 10. Бассейны правых притоков р. Пянджа от устья р. Вахша до устья р. Ванча

Часть 11. Бассейн р. Ванча

Часть 12. Бассейн р. Язгулема

Часть 13. Бассейн р. Бартанга

Часть 14. Бассейн р. Мургаба

Часть 15. Бассейн р. Гунта

Часть 16. Бассейн верховьев р. Пянджа выше устья р. Гунта

Часть 17. Реки бассейна оз. Карап-Куль

Часть 18. Бассейн верховьев р. Маркансу

Часть 19. Бассейн р. Восточная Кызылсу

Том 15. АЛТАЙ И ЗАПАДНАЯ СИБИРЬ

Выпуск 1. Горный Алтай и Верхний Иртыш

- Часть 1. Бассейны левых притоков р. Иртыша (издано в 1969 г.)
Часть 2. Бассейн р. Кабы (издано в 1969 г.)
Часть 3. Бассейны рек Курчума, Бухтармы, Ульбы, Убы (издано в 1969 г.)
Часть 4. Бассейн верховьев р. Катуни
Часть 5. Бассейн р. Аргута
Часть 6. Бассейн р. Чуй (издано в 1974 г.)
Часть 7. Бассейн р. Бии
Часть 8. Бассейны рек Моген-Бурен, Карагы
Часть 9. Кузнецкий Алатау

Том 16. АНГАРО-ЕНИСЕЙСКИЙ РАЙОН

Выпуск 1. Енисей

- Часть 1. Северная Земля
Часть 2. Бассейн р. Таймыры (горы Бырранга)
Часть 3. Бассейны рек Казыра, Кана (издано в 1973 г.)
Часть 4. Бассейн р. Кемчика (издано в 1973 г.)
Часть 5. Бассейн верховьев р. Енисея выше устья р. Кемчика (издано в 1973 г.)
Часть 6. Горы Пutorана
Часть 7. Остров Ушакова

Выпуск 2. Ангара

- Часть 1. Бассейн верховьев рек Оки, Уды (издано в 1973 г.)

Том 17. ЛЕНО-ИНДИГИРСКИЙ РАЙОН

Выпуск 2. Средняя Лена

- Часть 1. Бассейны рек Чары и Витима (хребет Кодар) (издано в 1972 г.)

Выпуск 3. Алдан

- Часть 1. Бассейн р. Юдомы (горы Сунтар-Хаята)

Выпуск 5. Нижняя Лена

- Часть 1. Хараулахские горы
Часть 2. Хребет Орулган (издано в 1972 г.)

Выпуск 7. Яна, Индигирка

- Часть 1. Острова Де-Лонга

- Часть 2. Бассейны левых притоков Средней Индигирки (хребет Черского)
Часть 3. Бассейны левых притоков верховьев р. Индигирки (Сунтар-Хаята)
Часть 4. Бассейны правых притоков Средней Индигирки (хребет Черского)

Том 19. СЕВЕРО-ВОСТОК

- Часть 1. Остров Врангеля

- Часть 2. Бассейн р. Анадырь (хребет Пекульней)
Часть 3. Бассейн р. Дельку (хребет Сунтар-Хаята)
Часть 4. Бассейн р. Колымы

Том 20. КАМЧАТКА

- Часть 1. Корякский хребет

- Часть 2. Бассейны рек западного побережья Камчатки (издано в 1968 г.)
Часть 3. Бассейн р. Камчатки (издано в 1968 г.)
Часть 4. Бассейны рек восточного побережья Камчатки (издано в 1968 г.)

СПИСОК ПРИНЯТЫХ СОКРАЩЕНИЙ

Учреждения и организации

- АН КазССР — Академия наук Казахской ССР
ВГО — Всесоюзное географическое общество
вдм — ведомственный пост
ГГО — Государственное географическое общество
ИГАН — Институт географии Академии наук СССР
КазНИГМИ — Казахский научно-исследовательский гидрометеорологический институт
РГО — Русское географическое общество
СПУ — Семиреченское переселенческое управление (до революции)
СФГ АН КазССР — Сектор физической географии Академии наук Казахской ССР
ТГУ — Томский государственный университет
УВХ — Управление водного хозяйства (Казахской ССР)
УГМС КазССР — Управление гидрометеорологической службы Казахской ССР
УОС — Управление оросительных систем (Казахской ССР)

Гидрометеорологические объекты

- МСТ — метеорологическая станция
МП — метеорологический пост
ГП — гидрологический пост

Морфологические типы ледников

- асимм. дол. — асимметричные долинные
асимм. кар. — асимметричные каровые
вис. — висячие
вис. дол. — висячие долинные
вис. кар. — висячие каровые
дол. — простые долинные
кар. — каровые
кар.-вис. — карово-висячие
кар.-дол. — карово-долинные
котл. — котловинные
кул. — кулуаров
пл. верш. — плоских вершин
прискл. — прислоновые
сл. дол. — сложные долинные
шлф. — шлейфовые

ХАРАКТЕРИСТИКА ГЕОГРАФИЧЕСКОГО ПОЛОЖЕНИЯ, МОРФОЛОГИИ, КЛИМАТИЧЕСКИХ УСЛОВИЙ И РЕЖИМА ЛЕДНИКОВ

ГЕОГРАФИЧЕСКОЕ ПОЛОЖЕНИЕ И ГРАНИЦЫ РАЙОНА

Горы Джунгарского Алатау тянутся в широтном направлении почти на 400 км. Продольные долины рек Коксу на западе и Боротала на востоке делят Джунгарский Алатау на два крупных хребта (Северный Центральный и Южный Центральный¹), лежащих параллельно друг другу.

Бассейны крупных рек Хоргоса и Усека и более мелких Чижина, Тышкана, Бурхана и Борохудзир, материалы по которым помещены в данную часть Каталога ледников бассейна оз. Балхаш, занимают западную часть южного склона Южного Центрального хребта Джунгарского Алатау и более южные хребты Тышкантай и Ит-Чеку.

Общая протяженность Южного Центрального хребта с запада на восток в пределах границ данного района достигает 112 км. Оледенение здесь распространено в пределах $44^{\circ}30' - 44^{\circ}50'$ с. ш. и $79^{\circ}25' - 80^{\circ}30'$ в. д.

ОРОГИДРОГРАФИЯ

Современная орографическая сеть бассейнов рек, расположенных на южном склоне Джунгарского Алатау, обусловлена особенностями тектонического строения хребта — системой горстов и грабенов широтного профиля, а также историей развития эрозионной сети, формирование которой шло в крест профилю основных тектонических линий. В своих истоках реки имеют сильно разветвленную гидрографическую сеть, но затем, сбравшись в один мощный поток, прорываются через систему широтно идущих хребтов-горстов и выходят на предгорную равнину.

На востоке района находится бассейн р. Хоргоса. Главным истоком р. Хоргоса является р. Ульген-Казан, впадающая в оз. Казанколь. Правые притоки р. Ульген-Казан — реки Аюлысай, Джланды, Джильдайрык, Зап. Сакоу, Вост. Сакоу — питаются ледниками. С северо-востока в оз. Казанколь впадает р. Кичик-Казан.

¹ Это название хребтам дал М. М. Юдичев (см. табл. V/40) исходя из того, что в системе гор Джунгарского Алатау имеются другие горные хребты, идущие также параллельно названным хребтам и расположенные к югу и северу от них.

Ниже оз. Казанколь река носит название Хоргос. Справа она принимает притоки Карсу, Нойзачоко, Сарткипе и Каскабулак, берущие начало с ледниками.

Выходя из гор, в пределы Илийской межгорной впадины, р. Хоргос несет свои воды в р. Или.

Бассейн р. Чижина занимает восточную часть южного склона хр. Тышкантай (см. рис. 24). С востока он ограничен Каскабулакским, а с запада Чижинским отрогами, последний служит водоразделом с р. Тышканом.

Бассейны рек Тышкана и Бурхана расположены на южном склоне хр. Тышкантай (см. рис. 24).

Воды рек Чижина, Тышкана и Бурхана почти полностью разбираются в ирригационные каналы на полив и фильтруются в аккумулятивные отложения предгорного конуса выноса. Часть воды теряется в песках Каракумов. В р. Или воды этих рек поступают только грунтовым стоком.

Река Усек имеет самую большую площадь водосбора на территории района. Ее бассейн на востоке ограничен Хоргосским отрогом и хр. Тышкантай, на западе — Кокталским отрогом и хр. Ит-Чеку. Хребты Тышкантай и Ит-Чеку генетически представляют единый горст, идущий параллельно Южному Центральному хребту. Река Усек прорезает его узкой долиной.

Отроги Южного Центрального хребта — Большой Усекский и Джландинский делят бассейн р. Усека на три части, занятые бассейнами рек Большого Усека, Среднего Усека и Малого Усека (см. рис. 25—27). Река Средний Усек впадает в р. Большой Усек.

В пределах низкогорной зоны Джунгарского Алатау реки Большой и Малый Усек сливаются и образуют р. Усек. Последняя выходит на предгорную равнину и впадает в р. Или.

Бассейн р. Борохудзир — самый западный бассейн района, в котором есть современные ледники. Единственный ледник — каровый — находится в верховьях одного из левых притоков р. Борохудзир, стекающего с южного склона хр. Ит-Чеку (см. рис. 27). Воды реки разбираются в ирригационные каналы на полив, часть их достигает болота Ак-Куга, откуда грунтовым стоком поступает в р. Или.

ОСНОВНЫЕ ЧЕРТЫ РЕЛЬЕФА

Территория, материалы по которой включены в настоящую часть Каталога ледников, в геологическом отношении занимает часть южного крыла антиклиниория большого радиуса кривизны, возникшего в процессе альпийского орогенеза. В процессе поднятия Джунгарского Алатау на южном крыле антиклиниория возникли разломы и дифференцированные подвижки отдельных блоков.

В пределах бассейнов рек Хоргоса, Чижина, Тышкана и Бурхана система разломов спускается к долине р. Или в виде хорошо выраженных трех ступеней. Верхняя ступень гор, относящаяся к высокогорной зоне хребта, высота которого достигает 4000—4360 м, отделена от средней ступени уступом высотой до 1000 м. Средняя ступень гор также отделяется четким тектоническим швом. Нижняя ступень состоит из трех более мелких ступеней, хорошо выраженных крутыми уступами.

В западной половине района на территории бассейнов рек Усека и Борохудзир почти параллельно Южному Центральному хребту располагается ряд хребтов с крутыми южными и более пологими северными склонами, разделенных широкими продольными речными долинами.

Реки, текущие в направлении основного наклона южного крыла антиклиниория, создали глубокие долины, которые в дальнейшем в высокогорной зоне хребта были превращены ледниками в широкие троги. Ниже по течению, в пределах гор, реки глубоко врезаны, часто текут в ущельях и обладают крутым падением. В результате, создалась сложная сеть хребтов и долин, идущих в широтном и меридиональном направлениях.

Каждая высотная ступень южного склона хр. Джунгарского Алатау характеризуется определенным комплексом типов рельефа, образовавшихся в результате взаимодействия тектонических и экзогенных факторов рельефообразования.

Высокогорная зона — область распространения современного оледенения — была вовлечена в процесс поднятия ранее всех других. Она характеризуется большими абсолютными высотами, наличием глубоко расчлененного альпийского рельефа, современных ледников и незначительных участков сохранившейся выравненной поверхности, сформировавшейся во время предальпийского орогенеза.

Гребни главного водораздела Южного Центрального хребта Джунгарского Алатау и его отрогов на всем протяжении обладают сравнительно небольшим расчленением. Средняя высота гор, несущих оледенение, равна 3770 м. Седловины главного водораздела и отрогов лежат ниже соседних вершин всего на 100—300 м.

Вершины и седловины хребтов, покрытые фирновыми полями современных ледников, отличаются сравнительно мягкими формами. Остроконечные пики встречаются редко. Многие вершины представляют плоские гребни до 100—200 м длиной.

Вершины осевого хребта и отрогов, свободные от оледенения, наоборот, сильно иззубрены, покрыты глыбами разрушающихся горных пород и осьями.

Крутые склоны хребтов высокогорной зоны «изъедены» глубокими и крутосклонными каррами, занятymi ледниками или свободными от них. По склонам протянулись узкие кулуары и желоба, разграниченные крутыми скалистыми ребрами.

Средняя величина расчленения рельефа в высокогорной зоне гор колеблется на разных ее участках в пределах 800—1000 м.

ОСНОВНЫЕ ЧЕРТЫ СОВРЕМЕННОГО ОЛЕДЕНЕНИЯ

Общая площадь оледенения. История исследования оледенения южного склона хр. Джунгарского Алатау невелика, хотя ее начало было положено еще в семидесятых годах прошлого столетия (см. табл. IV и V). В дореволюционный период изучение ледников на этой территории осуществлялось членами Русского географического общества и работниками Переселенческого управления. Сведения, собранные в то время, носили в основном случайный характер и в значительной мере потеряли научную ценность. Опубликованные данные касались морфологической и реже морфометрической характеристики ледников, иногда имели искажения, так как были получены на основании визуальных наблюдений.

В связи с составлением каталога ледников южного склона Джунгарского Алатау СФГ АН КазССР в 1969 г. была организована специальная гляциологическая экспедиция в бассейны рек Усека и Хоргоса. Материалы этой экспедиции дополнили данные, полученные при обработке аэрофотоснимков района.

В результате вышеизложенного установлено, что в бассейнах рек Хоргоса, Чижина, Тышкана, Бурхана, Усека и Борохудзир расположено 460 ледников общей площадью 274,2 км² (табл. 1).

Таблица 1
Количество ледников и площадь оледенения южного склона Джунгарского Алатау по данным различных исследователей

| Бассейн реки | По В. А. Зенковой | | По данным автора | |
|--------------|-------------------|--------------------------|------------------|--------------------------|
| | количество | площадь, км ² | количество | площадь, км ² |
| Хоргос | 67 | 102,7 | 139 | 100,4 |
| Чижин | 10 | 18,0 | 12 | 18,7 |
| Тышкан | 14 | 31,8 | 49 | 29,5 |
| Бурхан | 3 | 1,9 | 8 | 2,2 |
| Усек | 101 | 93,9 | 251 | 123,3 |
| Борохудзир | — | — | 1 | 0,1 |
| Всего | 195 | 248,3 | 460 | 274,2 |

Из-за неточности топографических карт количество ледников и их площади, определенные В. А. Зенковой (табл. V/11), по сравнению с нашими данными занижены.

Данные о количестве ледников и их площади в отдельных бассейнах приводятся в табл. 2.

Морфологические типы ледников. Современное оледенение южного склона Джунгарского Алатау является остатком последнего более значительного оледенения, следы которого сохранились на днищах и склонах долин в виде ледниковых форм рельефа.

Размещение ледников связано с особенностями орографии бассейнов, направлением метелевого переноса снега и лавинной деятельностью. С водоразделов и верхних частей западных склонов снег переносится ветрами на восточные склоны.

Таблица 2

Общее количество ледников и площадь оледенения в основных речных бассейнах

| Бассейн реки | Ледники площадью 0,1 км ² и более | | Ледники площадью менее 0,1 км ² | | Всего | |
|---|--|--------------------------|--|--------------------------|------------|--------------------------|
| | количество | площадь, км ² | количество | площадь, км ² | количество | площадь, км ² |
| Хоргос | | | | | | |
| Ульген-Казан, Кичик-Казан | 13 | 10,8 | 7 | 0,5 | 20 | 11,3 |
| Джланды, Джильдайрык, Зап. Сакоу, Вост. Сакоу | 47 | 39,9 | 9 | 0,5 | 56 | 40,4 |
| Карсу, Нойза-Чоко, Сарткипе, Каскабулак | 40 | 47,4 | 23 | 1,3 | 63 | 48,7 |
| Итого | 100 | 98,1 | 39 | 2,3 | 139 | 100,4 |
| Чижин, Тышкан, Бурхан | 52 | 49,3 | 17 | 1,1 | 69 | 50,4 |
| Усек | | | | | | |
| Большой Усек | 65 | 43,3 | 23 | 1,6 | 88 | 44,9 |
| Средний Усек | 55 | 30,7 | 30 | 1,7 | 85 | 32,4 |
| Малый Усек | 60 | 45,1 | 18 | 0,9 | 78 | 46,0 |
| Итого | 180 | 119,1 | 71 | 4,2 | 251 | 123,3 |
| Борохудзир | 1 | 0,1 | — | — | 1 | 0,1 |
| Всего по району оледенения | 333 | 266,6 | 127 | 7,6 | 460 | 274,2 |

Древние ледники консервировали восточные склоны отрогов в большей степени, чем западные. Западные склоны, лишенные обильного количества снега, подвергались более активному воздействию линейной эрозии и поэтому к настоящему времени сильно расчленены и достигли значительной крутизны. Скульптурные ледниковые формы рельефа на них встречаются редко. Восточные склоны отрогов длительное время были закрыты ледниками и не подвергены активному влиянию физического выветривания и эрозии. Расчленение этих склонов шло в основном под влиянием экзарации. Они более пологи и изобилуют формами рельефа ледникового происхождения. Участие лавин в питании ледников носит локальный характер и зависит от орографии бассейна ледника.

Все ледники на рассматриваемой территории можно разделить на три группы: 1 — ледники, залегающие между горными хребтами (сложные и простые долинные, котловинные, висячие долинные, асимметричные долинные, карово-долинные); 2 — ледники, расположенные на склонах отдельных хребтов (шлейфовые, висячие каровые, каровые, асимметричные каровые, карово-висячие, висячие, присклоновые, кулуарные); 3 — ледники плоских вершин, занимающие сохранившиеся высоконодные участки древней денудационной поверхности.

По данным табл. 3 видно, что самая большая доля в общей площади оледенения принадлежит долинным ледникам. Резко выделяются своими размерами сложные долинные ледники. Их всего два: ледник Воецкова (№ 102) (рис. 3) и ледник 50 лет Казахстана (№ 81). Они составляют 0,4% общего количества ледников, но по площади занимают в сумме более 7% общей площади оледенения района. Средняя площадь ледников этого типа 9,6 км², а средняя длина — 7 км. Сложные долинные

Таблица 3

Количество и площадь ледников различных морфологических типов на территории района

| Типы ледников | Коли-чество | Отношение к общему количеству ледников района, % | Общая площадь, км ² | Отношение к общей площа-ди ледников района, % |
|---------------------------------------|-------------|--|--------------------------------|---|
| Ледники долин | | | | |
| Сложные долинные | 2 | 0,4 | 19,2 | 7,0 |
| Долинные | 41 | 8,9 | 82,7 | 30,3 |
| Котловинные | 1 | 0,2 | 2,9 | 1,1 |
| Висячие долинные | 2 | 0,4 | 4,3 | 1,6 |
| Асимметричные долинные | 1 | 0,2 | 2,6 | 1,0 |
| Карово-долинные | 43 | 8,9 | 37,9 | 13,9 |
| Итого | 90 | 19,0 | 149,6 | 54,9 |
| Ледники горных склонов | | | | |
| Шлейфовые | 18 | 3,9 | 30,1 | 11,0 |
| Висячие каровые | 7 | 1,7 | 8,6 | 3,1 |
| Каровые | 108 | 23,5 | 46,9 | 17,0 |
| Асимметричные каровые | 4 | 0,9 | 2,7 | 1,0 |
| Карово-висячие | 45 | 9,8 | 15,5 | 5,6 |
| Висячие | 180 | 39,1 | 17,7 | 6,2 |
| Присклоновые | 1 | 0,2 | 0,4 | 0,1 |
| Кулуарные | 1 | 0,2 | 0,2 | 0,1 |
| Итого | 364 | 79,3 | 122,1 | 44,1 |
| Ледники на денудационных поверхностях | | | | |
| Плоских вершин | 6 | 1,7 | 2,5 | 1,0 |
| Всего по району в целом | 460 | 100,0 | 274,2 | 100,0 |

ледники образуются из нескольких примерно равновеликих ледяных потоков, разделенных срединными моренами.

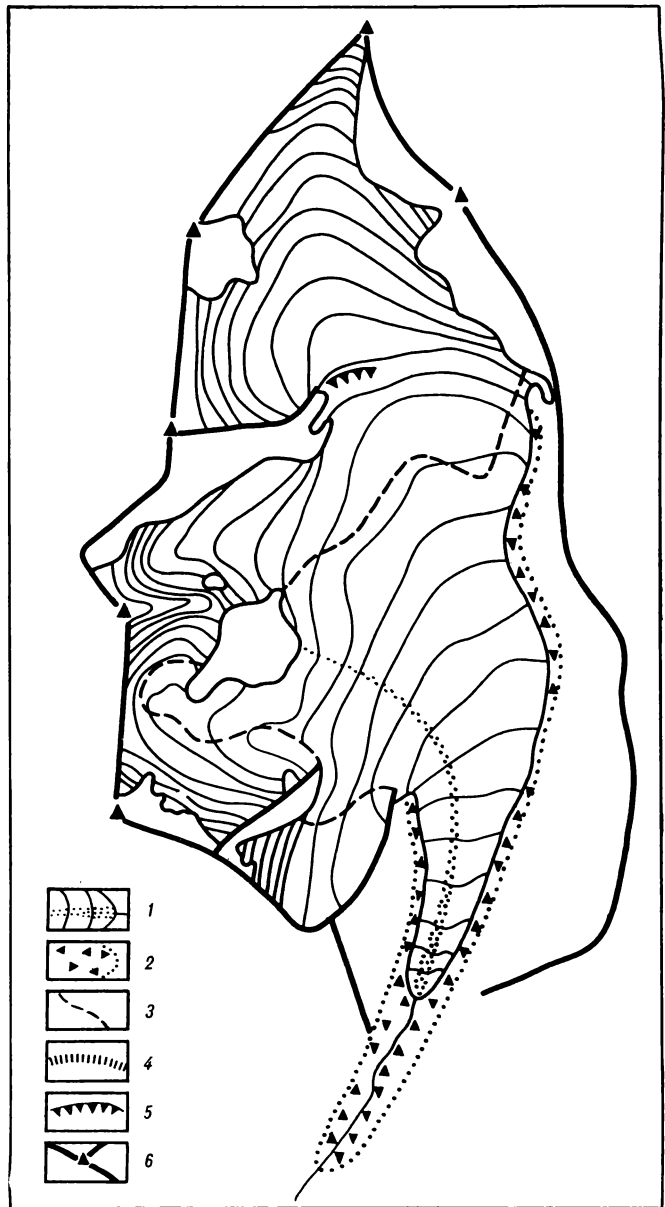


Рис. 3. Схема сложного долинного ледника Воййкова (№ 102), расположенного в бассейне р. Чижина.

1 — открытая часть ледника со срединной мореной, 2 — «мертвый» погребенный лед под боковыми и конечными моренами, 3 — фирновая линия, 4 — крутые перегибы поверхности ледника над ригелями, 5 — ледопады, 6 — хребты и вершины.

Более 30% площади оледенения района занято простыми долинными ледниками (рис. 4—7). Их насчитывается 41, что составляет почти 9% общего количества ледников. Средняя площадь долинных ледников несколько превышает 2 км², а средняя длина равна 2,9 км.

Значителен по размерам единственный в районе котловинный ледник (№ 318, бассейн р. Малого Усека). Его площадь 2,9 км², длина 2,3 км. Этот ледник заполняет днища двух слившихся между собой цирков и имеет широкий короткий язык, выходящий за пределы котловины.

Фирновые поля долинных и котловинных ледников отличаются, как правило, небольшими уклонами, что способствует накоплению снега. Поверхность языков ледников довольно спокойная и слабо

загрязненная. Их продольный профиль зависит от продольного профиля ложа. Обрывистых концов (за исключением тех, которые погружаются в воды приледниковых озер) у долинных и котловинных ледников не встречается, так как поверхностная абляция превышает привнос льда из верхних участков ледника.

Ледниковых висячих долин на описываемой территории всего два. Их средняя площадь 2 км², средняя длина 2,7 км. Это долинные ледники расположенные в висячих долинах. Языки таких ледников выступают за пределы своих долин — вместилищ, повисая на склоне устьевой ступени при выходе ее в главную долину бассейна.

Карово-долинные ледники распространены в районе довольно равномерно и составляют почти 9% общего количества ледников и около 14% общей площади оледенения. Средняя площадь этих ледников 0,9 км², средняя длина 1,9 км (рис. 8—10). Они размещаются обычно в верховьях узких боковых долин и занимают небольшие кары; языки их довольно пологи.

Асимметричные долинные ледники (рис. 11), как правило, располагаются в висячих долинах западной или восточной ориентации. Южные склоны этих долин лишены снега из-за интенсивного воздействия солнечной радиации, ледники получают питание только со склонов северной экспозиции.

Все виды ледников долин приурочены, как правило, к наиболее высоким районам гор описанного района. Средняя абсолютная высота участков водоразделов хребтов, с которых берут начало эти ледники, достигает 3860 м, а спускаются они до 3370 м. Положительная разность оледенения для ледников этих типов в среднем равна 250 м, отрицательная — 240 м, ледниковый коэффициент — 1,17.

Среди ледников горных склонов самые крупные ледники шлейфового типа (рис. 12). Они расположены или на северных склонах верховий главных долин, или в верховьях висячих долин, обращенных на северо-восток или северо-запад. Из-за недостаточного питания современные шлейфовые ледники не заполняют всю ширину долины. Спускаясь на дно долины с наиболее затененной стороны ее верховий, они образуют широкие и короткие языки вдоль подножия склона, иногда (в зависимости от устройства dna долины) разбивающиеся на несколько лопастей. Ширина шлейфовых ледников, как правило, больше длины, языки их обычно оконтурены неширокими валами конечных морен. Если ледник шлейфового типа расположен в долине, ориентированной на северо-восток или северо-запад, то его фронтальная морена по отношению к долине приобретает вид боковой, лежащей у противоположного борта долины. Это связано с тем, что шлейфовые ледники имеют два направления течения: вначале вниз по склону, а затем, достигнув его подножья, по дну долины в сторону ее основного уклона. В отличие от присклоновых ледников подножий (о которых будет сказано ниже) ледники шлейфового типа покрывают весь склон северной ориентации от гребня хребта до его подножия, независимо от глубины расчленения рельефа.

На территории описанного района насчитывается 18 ледников этого типа (менее 4% общего количества ледников). Их площадь в сумме составляет 11% общей площади оледенения района.

Больше всего ледников шлейфового типа встречается в бассейнах рек Джланды, Джильдайрык и на южном склоне хр. Тышкантай. Средняя площадь шлейфовых ледников $1,7 \text{ км}^2$, а средняя длина 2,3 км. Высота гор, с которых берут начало ледники этого типа, в среднем равна 3750 м, а оканчиваются они на высоте 3390 м. В этом интервале

$1,1 \text{ км}^2$, а средняя длина 2,0 км. Висячие каровые ледники распространены в бассейнах рек Улькен-Казан, Кичик-Казан и Малого Усека.

Каровые ледники составляют 23,5% общего количества ледников района и занимают 17% площади оледенения. Средняя площадь ледников этого типа $0,4 \text{ км}^2$, средняя длина 1,2 км. Каровые

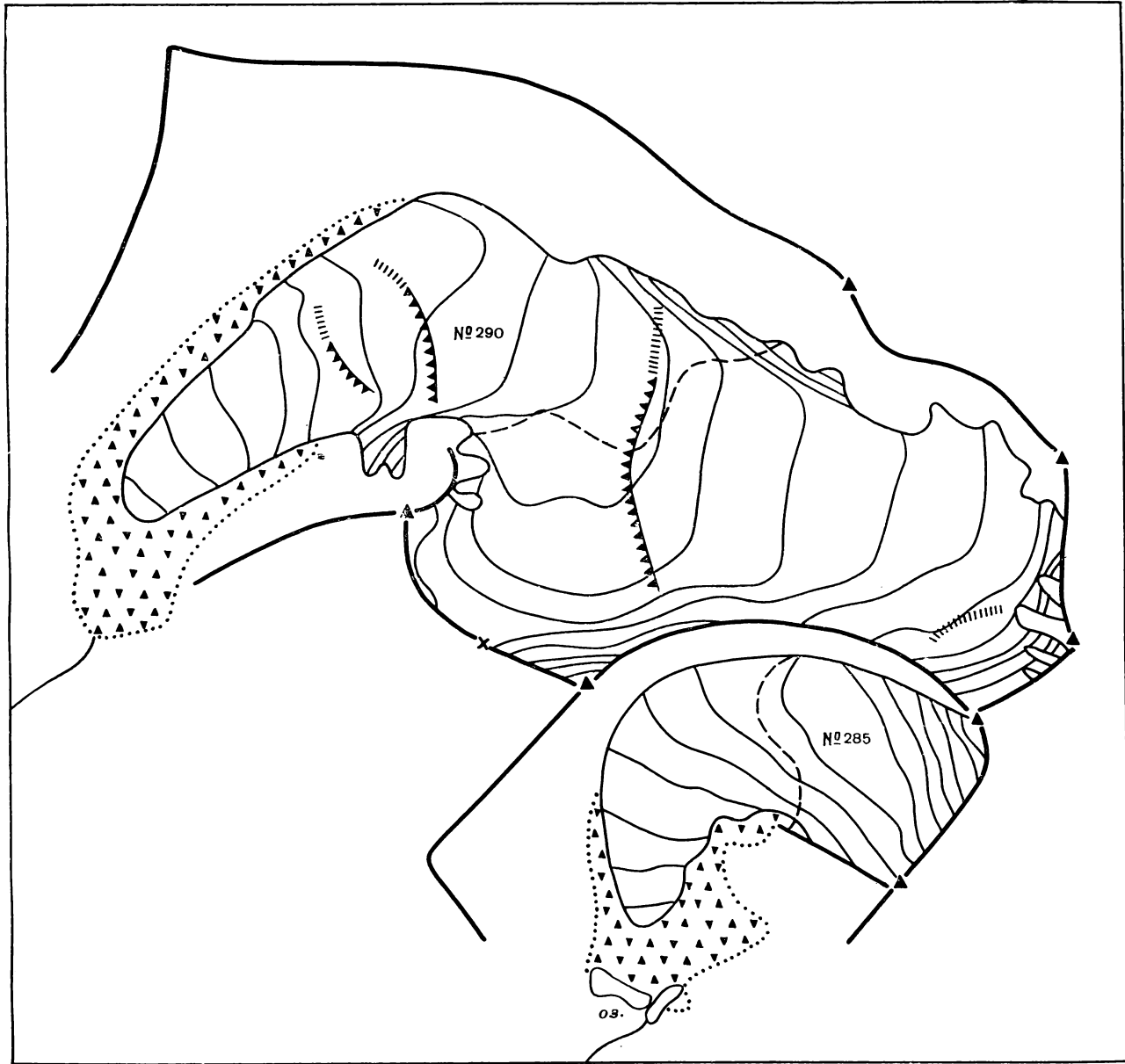


Рис. 4. Схема долинного ледника Гляциологов (№ 290) и карово-долинного ледника Аймуз (№ 285), расположенных в бассейне р. Малого Усека.

Усл. обозначения см. на рис. 3.

высоты 180 м приходится на положительную и столько же на отрицательную разность оледенения. Ледниковый коэффициент 1,21. Поверхность языков ледников этого типа, как правило, загрязнена слабо.

Висячие каровые ледники являются разновидностью типичных каровых ледников и отличаются от последних тем, что их языки, выступая за пределы кара, повисают на устьевых ступенях.

В районе находится семь ледников этого типа. Они занимают 3,1% общей площади оледенения. Это наиболее крупные ледники из всех разновидностей каровых ледников. Средняя их площадь

ледники занимают весь кар или его часть. На южном склоне Джунгарского Алатау каровые ледники в плане часто имеют форму спирали (рис. 13). Иногда они представляют подковообразные скопления льда у подножья стен кара или на дне его.

В карах, расположенных на восточных или западных склонах хребтов, встречаются асимметричные каровые ледники (рис. 14). В районе насчитывается четыре таких ледника. Их средняя площадь $0,7 \text{ км}^2$, а средняя длина 2,2 км.

Карово-висячие ледники занимают небольшие углубления на склоне — нивальные ниши, которые не имеют еще на продольном профиле участка

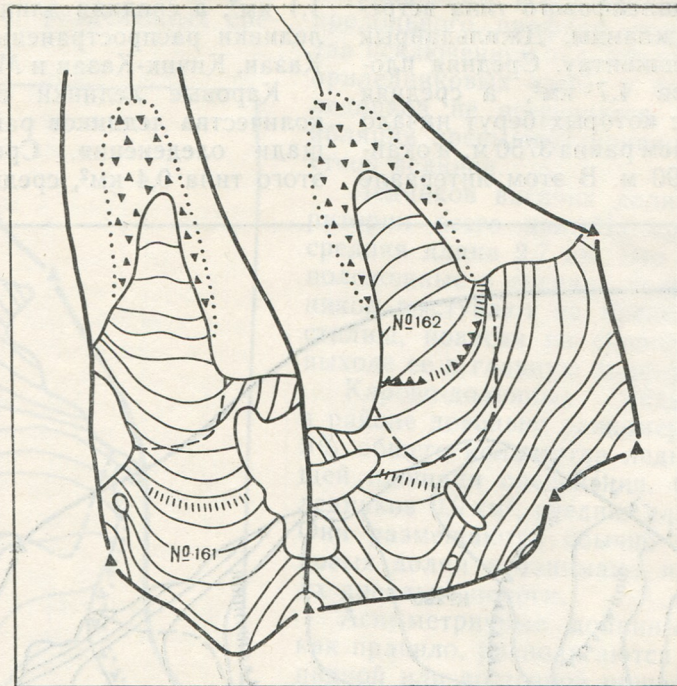


Рис. 5. Схема простых долинных ледников № 161 и 162, расположенных в бассейне р. Большого Усека.

Усл. обозначения см. на рис. 3.

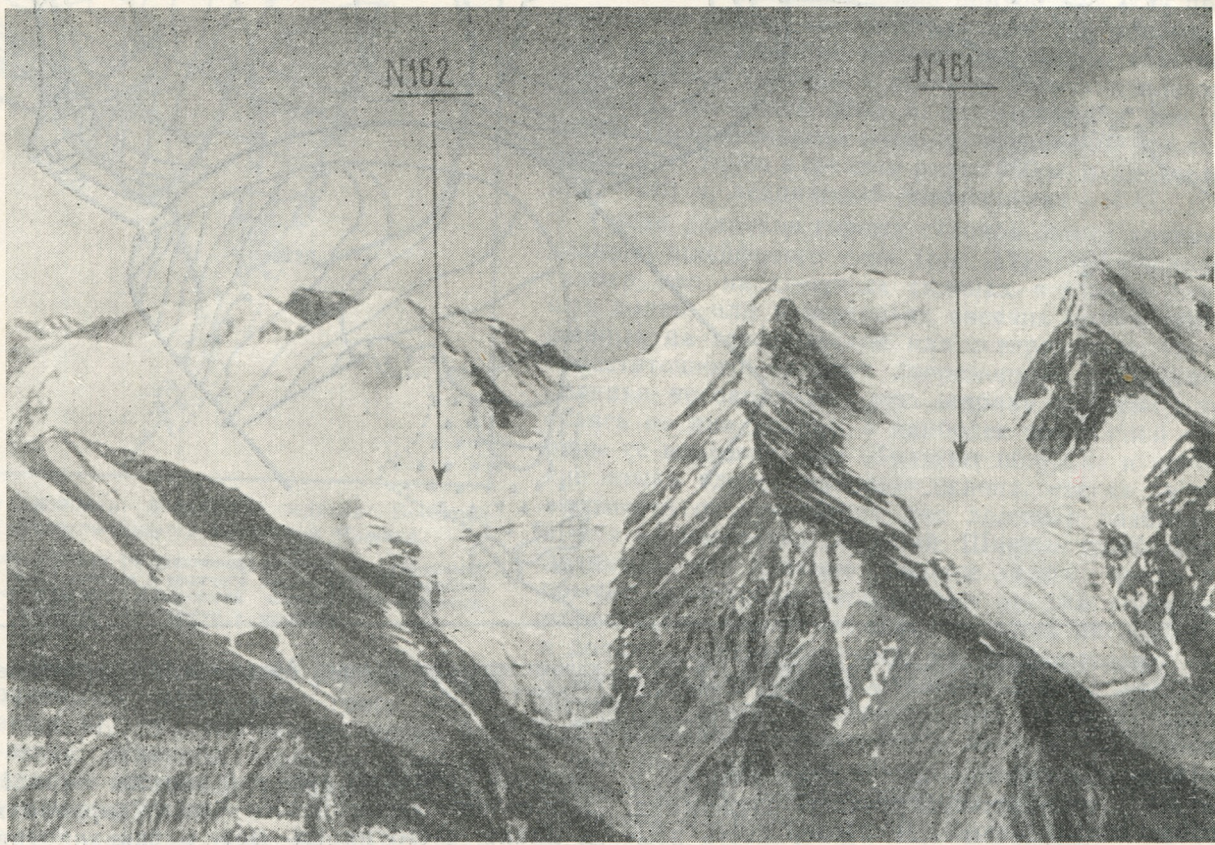


Рис. 6. Долинные ледники № 161 и 162. Бассейн р. Большого Усека.

с обратным уклоном ложа, характерным для каров (рис. 15). Такие ледники в области питания обладают вогнутым профилем и расширены; их концы оконтурены валами морен. На территории района находится 45 карово-висячих ледников. Общая площадь их составляет $15,5 \text{ км}^2$. Средняя площадь ледника $0,3 \text{ км}^2$, средняя длина 1 км. Средняя высота хребтов, с которых берут начало

все виды каровых ледников, равна 3740 м, оканчиваются они на высоте 3430 м. Вертикальный диапазон оледенения равен 310 м, из них 140 м составляют положительную и 170 м — отрицательную разность оледенения. Ледниковый коэффициент равен 1,27.

Наиболее распространены висячие ледники. Их число составляет более 39% общего количе-

ства ледников, но по площади они занимают всего 6,2% общей площади оледенения. Средняя площадь висячего ледника — наименьшая среди ледников всех выделенных типов. Она едва достигает $0,1 \text{ км}^2$. Висячие ледники не имеют ясно выраженных



Рис. 7. Долинный ледник № 170, каровый ледник № 171. Бассейн р. Большого Усека.

ных вместилищ и не достигают подножия склонов (см. рис. 10). Висячие ледники могут быть подразделены на:

висячие ледяные потоки, вытянутые вниз по склону, с набухшим каплевидным языком и крутыми, выступающими над склоном боковыми стенками;

висячие фирново-ледяные поля, имеющие приблизительно одинаковые продольные и поперечные размеры и постепенно утончающиеся края;

висячие ледники каров, располагающиеся на стенах больших древних каров и цирков;

висячие пригребневые ледники, вытянутые в ширину в виде полос в ветровой тени горных гребней.

Значительная часть висячих ледников размещается на восточных склонах отрогов и ориентирована на северо-восток, или на северных склонах каров. Эта особенность их размещения связана с неравномерностью поступления солнечной радиации на склоны различной ориентации и механическим перераспределением снега под воздействием западных ветров.

Средняя высота хребтов, с которых берут начало эти ледники, достигает 3710 м, а высота концов ледников — 3450 м. Положительная разность оледенения равна 110 м, отрицательная — 150 м; ледниковый коэффициент 1,16.

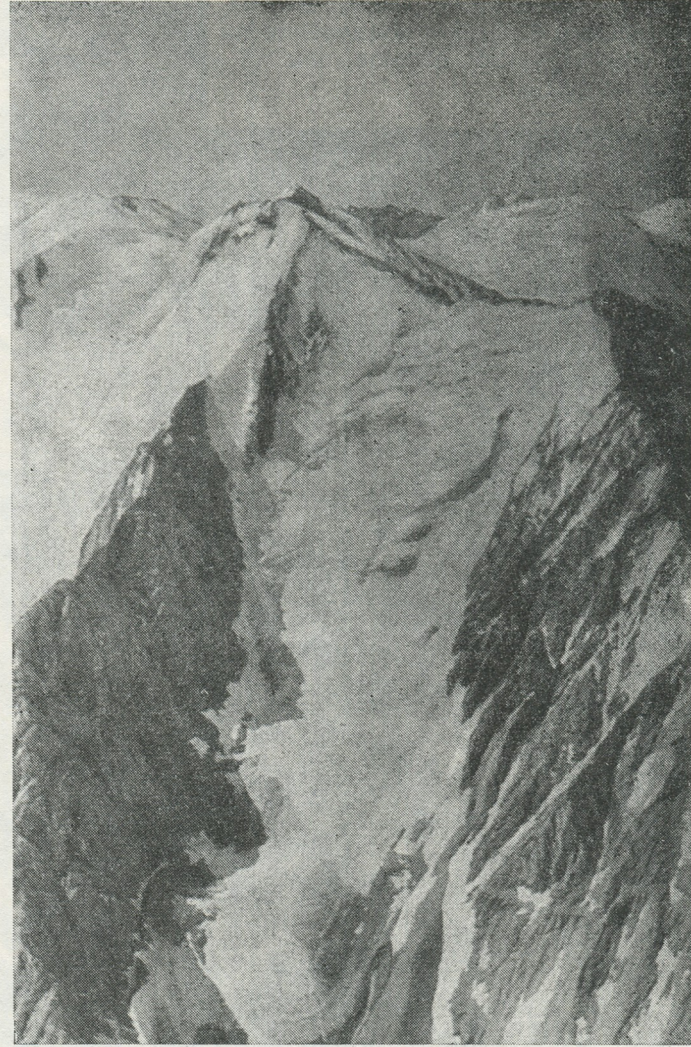


Рис. 8. Карово-долинный ледник № 167. Бассейн р. Большого Усека.

Некоторые висячие ледники целиком располагаются выше или ниже снеговой линии.

В высокогорной зоне хребта на сохранившихся небольших участках древней денудационной поверхности залегает шесть ледников плоских вершин, занимающих 2,5% общей площади оледенения района. Средняя площадь ледников плоских вершин $0,4 \text{ км}^2$, а средняя длина 0,8 км. Они расположены на высотах 3780—3900 м. Ледниковый коэффициент их равен 0,85.

Из вышеизложенного следует, что долинные ледники берут начало с хребтов с наибольшей абсолютной высотой, меньшая высота горного обрамления у ледников шлейфового, карового и наконец висячего типов. А средние абсолютные высоты низших точек открытых частей ледников располагаются в обратном порядке. Соответственно вертикальный диапазон оледенения уменьшается от долинных ледников к висячим в той же последовательности (табл. 4).

Положительная разность оледенения на южном склоне Джунгарского Алатау в целом равна или меньше отрицательной. В то же время на северном

склоне Джунгарского Алатау, в пределах бассейнов рек Биен и Аксу, положительная разность оледенения всегда (причем весьма значительно) преобладает над отрицательной.¹ Это объясняется тем, что высота фирновой линии на южном склоне хребта значительно выше, чем на северном. Вертикальный диапазон оледенения на северном склоне хребта также больше, чем на южном, в среднем на 100 м.



Рис. 9. Карово-долинный ледник Улькен-Казан (№ 4). Бассейн р. Хоргоса.

Ледниковые коэффициенты, подсчитанные как средние взвешенные по площади, наибольшие у каровых ледников, несколько меньше у ледников шлейфового типа. Каровые ледники являются наиболее характерной формой оледенения южного склона Джунгарского Алатау. Все их разновидности здесь составляют более 36% общего количества ледников района (тогда как на северном склоне их доля соответственно около 20%).

Наиболее крупные ледники района — долинные — имеют наименьший ледниковый коэффициент (1,17).

¹ П. А. Черкасов. Основные черты современного оледенения бассейнов рек Биен и Аксу хр. Джунгарский Алатау.— «Гляциологические исследования в Казахстане». Вып. 8. Тепловой и водный режим ледников Казахстана. Алма-Ата, «Наука», 1969.

Распределение площади современного оледенения по экспозициям. Размещение оледенения на территории района в первую очередь связано с экспозицией ледниковых бассейнов (табл. 5, рис. 16). На склонах гор, ориентированных на север (I и II четверть горизонта), сосредоточено 92% общего числа ледников и 88% общей площади оледенения. На склоны южной стороны горизонта (III и IV четверти) приходится всего соответственно 8 и 12%.

В то же время на склонах восточной стороны горизонта (II и IV четверти) количество ледников и площадь оледенения больше, чем на западной стороне горизонта (I и III четверти), что объясняется переносом снега на восточные склоны гор западными ветрами.

На склонах гор северной стороны горизонта площадь оледенения в 7,3 раза больше, чем на южной, а на восточной стороне горизонта в 1,6 раза больше, чем на западной.

Наименее распространены ледники на склонах юго-западной ориентации. Неблагоприятная экспозиция гор и перенос снега с западных склонов на восточные создают здесь самые худшие условия для существования ледников.

На склонах северной ориентации встречаются ледники всех типов, но преобладают по площади долинные и шлейфовые ледники. Для склонов южной стороны горизонта характерны ледники каровые, висячие и их разновидности.

Размещение ледников на склонах различной ориентации в отдельных речных бассейнах обусловлено особенностями орографии бассейнов.

Для бассейна р. Хоргоса (рис. 16 а) оледенение показано только в пределах территории Советского Союза и приурочено в основном к склонам северо-восточной ориентации.

На южном склоне хр. Тышкантау (рис. 16 б) 35,8% общей площади оледенения приходится на склоны южной ориентации. Здесь в бассейне р. Чижина расположен самый крупный во всем районе сложный долинный ледник Воейкова (13,6 км²), занимающий долину с небольшим уклоном к югу. Большая часть фирновых полей, питающих ледник, имеет северную экспозицию.

В бассейне р. Усека распределение количества и площади ледников по экспозициям в основном соответствует общим закономерностям, описанным выше. Незначительное преобладание площади оледенения на северо-западных склонах объясняется особенностями орографии бассейна, а именно, высокий хр. Тышкантау, несущий на себе большую часть оледенения, в пределах бассейна р. Большого Усека (см. рис. 25) имеет в качестве основной упомянутую ориентацию склона.

Крайне неравномерное распределение ледников на склонах гор описываемого района (как впрочем и всего Джунгарского Алатау) связано с тем, что здесь наблюдается резкая дифференциация в интенсивности поступления главного источника тепла — прямой солнечной радиации (под воздействием которой происходит в основном таяние ледников) на склоны разной крутизны и ориентации.¹

¹ П. А. Черкасов, К. Ш. Дилярова, Е. Н. Вильесов, Л. П. Конева. Тепловой баланс и абляция на поверхности ледников хр. Джунгарский Алатау.— В кн.: Успехи советской гляциологии (Материалы Третьего всесоюзного гляциологического симпозиума). Фрунзе, «Илим», 1968.

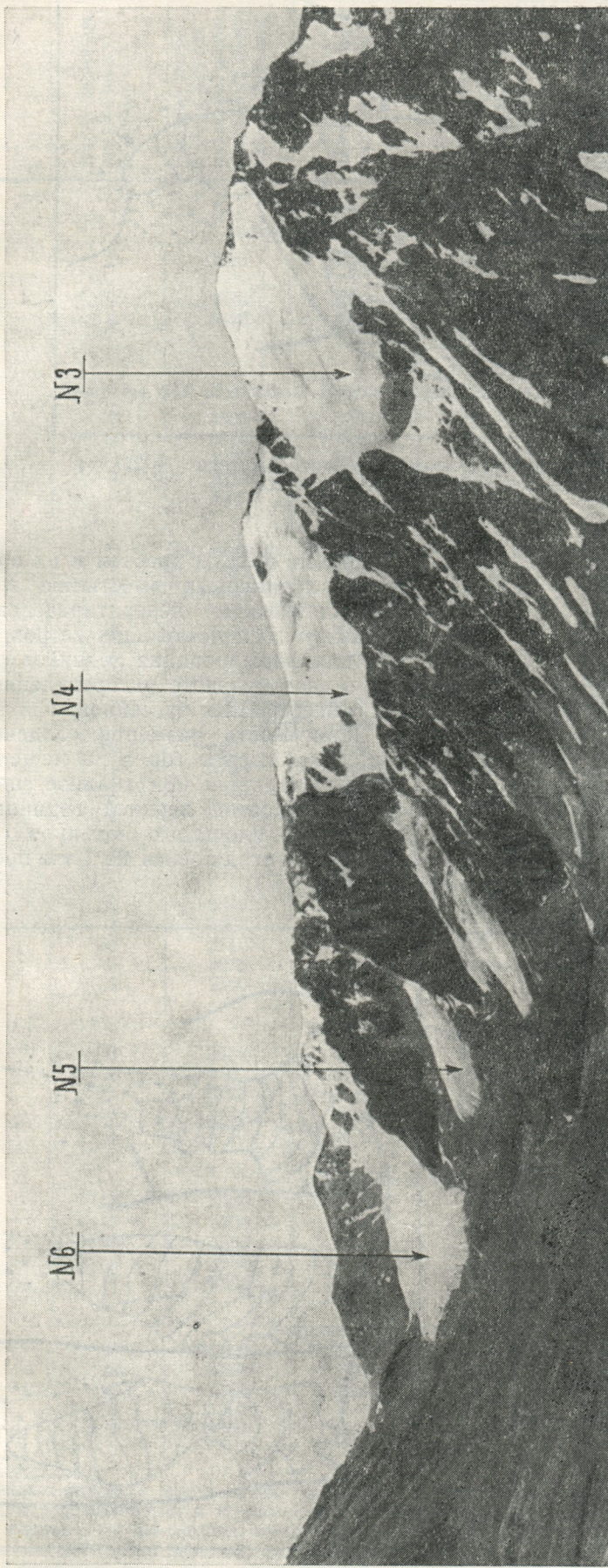


Рис. 10. Висячий ледник № 3, карово-долинный ледник Улькен-Казан (№ 4), карово-долинный ледник № 5, долинный ледник Николаева (№ 6). Бассейн р. Хорроха.

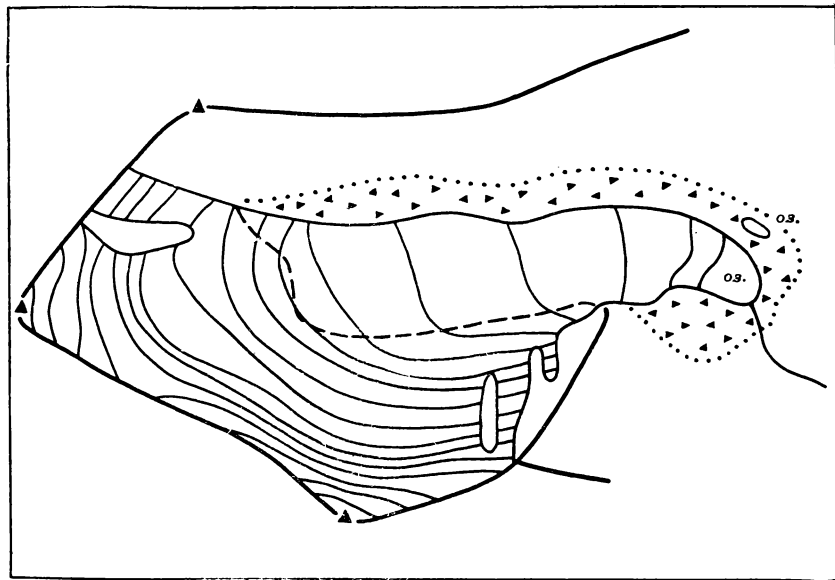


Рис. 11. Схема асимметричного долинного ледника Джланды (№ 22), расположенного в бассейне р. Хоргоса.
Усл. обозначения см. на рис. 3.

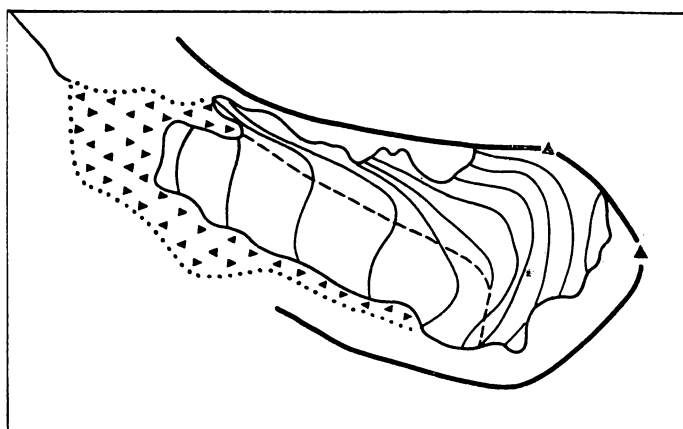


Рис. 12. Схема шлейфового ледника № 305, расположенного в бассейне р. Малого Усека.
Усл. обозначения см. на рис. 3.

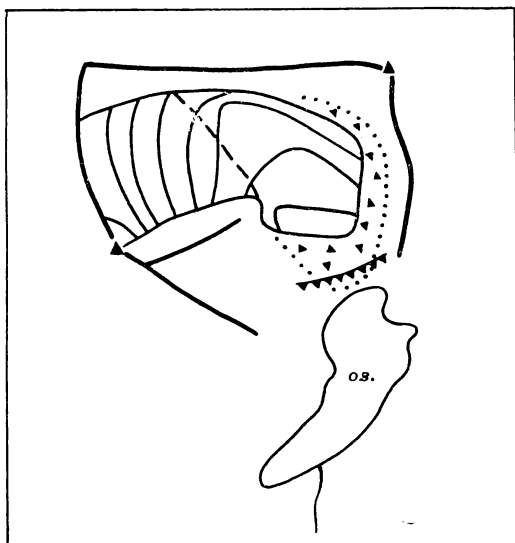


Рис. 13. Схема карового ледника Спираль (№ 244), расположенного в бассейне р. Среднего Усека.
Усл. обозначения см. на рис. 3.

Сочетание высоты хребтов и их орографии, морфологии ледниковых вместилищ и их экспозиции с механическим перераспределением снега под влиянием господствующих ветров, создает условия как для формирования ледников различных типов, так и своеобразного распределения их на территории описываемых бассейнов.

Зависимость размеров оледенения от высоты гор. Роль высоты гор в размещении ледников хорошо выявляется при анализе зависимости между средней высотой верхней границы фирновых полей (B) и площадью ледников (без погребенных частей), приходящейся на 1 км протяжения данной границы (P).

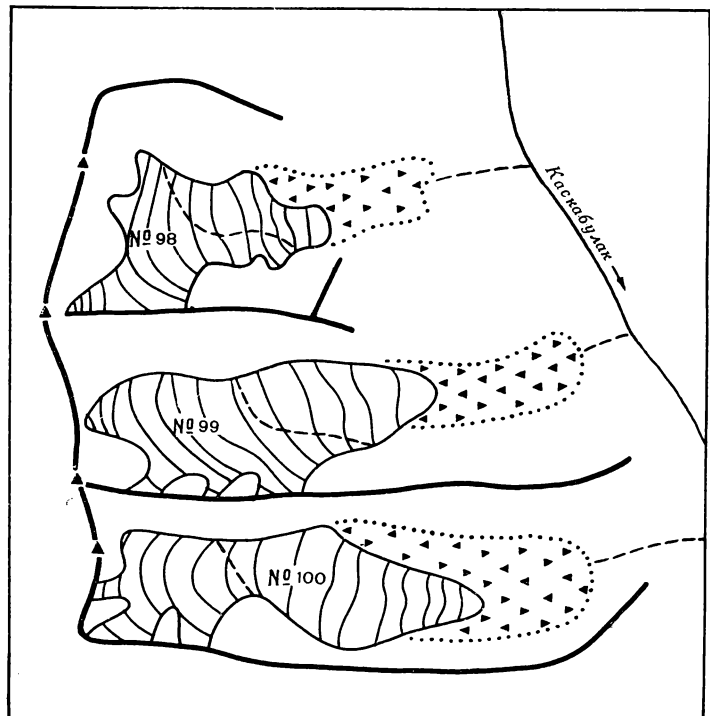


Рис. 14. Схема асимметричных каровых ледников № 98, 99, 100, расположенных в бассейне р. Хоргоса.
Усл. обозначения см. на рис. 3.

Таблица 4

Морфометрические показатели ледников

| Типы ледников ¹ | Число ледников, включенных в расчет | Бассейн р. Хоргоса | | | | | Ледниковый коэффициент ⁴ |
|--|-------------------------------------|--|--|--|---|---|-------------------------------------|
| | | Средняя абсолютная высота участков хребта, с которых берут начало ледники, м | Средняя абсолютная высота высших точек ледников, м | Средняя абсолютная высота низших точек открытых частей ледников, м | Положительная разность оледенения, ² м | Отрицательная разность оледенения, ³ м | |
| Бассейны рек Улькен-Казан, Кичик-Казан | | | | | | | |
| Долинные | 2 | 3820 | 3980 | 3520 | 160 | 140 | 300 |
| Шлейфовые | — | — | — | — | — | — | — |
| Каровые | 7 | 3880 | 3980 | 3520 | 190 | 170 | 360 |
| Висячие | 4 | 3840 | 3920 | 3610 | — | — | — |
| Плоских вершин | — | — | — | — | — | — | — |
| Бассейны рек Джланды, Джильдайрык, Зап. Сакоу, Вост. Сакоу | | | | | | | |
| Долинные | 7 | 3830 | 3960 | 3430 | 210 | 190 | 400 |
| Шлейфовые | 6 | 3810 | 3940 | 3420 | 200 | 190 | 390 |
| Каровые | 22 | 3770 | 3870 | 3500 | 120 | 150 | 270 |
| Висячие | 9 | 3620 | 3690 | 3380 | 50 | 190 | 240 |
| Плоских вершин | 2 | 3900 | 3930 | 3780 | 60 | 60 | 120 |
| Бассейны рек Карсу, Нойза-Чоко, Сарткиле, Каскабулак | | | | | | | |
| Долинные | 14 | 4030 | 4150 | 3410 | 290 | 330 | 620 |
| Шлейфовые | 3 | 3840 | 4070 | 3380 | 230 | 280 | 460 |
| Каровые | 17 | 3780 | 3880 | 3370 | 150 | 260 | 410 |
| Висячие | 6 | 3740 | 3770 | 3460 | 40 | 240 | 280 |
| Плоских вершин | — | — | — | — | — | — | — |
| Бассейны рек Южного склона хр. Тышкантау (реки Чижин, Тышкан, Бурхан) | | | | | | | |
| Долинные | 18 | 3860 | 3990 | 3330 | 260 | 270 | 530 |
| Шлейфовые | 4 | 3740 | 3930 | 3320 | 170 | 250 | 420 |
| Каровые | 27 | 3810 | 3900 | 3470 | 160 | 180 | 340 |
| Висячие | 3 | 3850 | 3970 | 3580 | 120 | 150 | 270 |
| Плоских вершин | — | — | — | — | — | — | — |
| Бассейн р. Большого Усека | | | | | | | |
| Долинные | 22 | 3810 | 3910 | 3350 | 230 | 230 | 460 |
| Шлейфовые | 3 | 3620 | 3760 | 3220 | 180 | 220 | 400 |
| Каровые | 30 | 3710 | 3750 | 3370 | 150 | 190 | 340 |
| Висячие | 9 | 3570 | 3620 | 3330 | 70 | 170 | 240 |
| Плоских вершин | 1 | 3590 | 3660 | 3520 | — | — | 70 |
| Бассейн р. Среднего Усека | | | | | | | |
| Долинные | 10 | 3870 | 4010 | 3400 | 250 | 220 | 470 |
| Шлейфовые | 2 | 3700 | 3790 | 3360 | 120 | 220 | 340 |
| Каровые | 27 | 3720 | 3780 | 3450 | 140 | 130 | 270 |
| Висячие | 15 | 3730 | 3800 | 3500 | 120 | 110 | 230 |
| Плоских вершин | 1 | 3730 | 3800 | 3600 | — | — | 90 |
| Бассейн р. Малого Усека | | | | | | | |
| Долинные | 15 | 3770 | 3870 | 3330 | 210 | 230 | 440 |
| Шлейфовые | 1 | 3700 | 3820 | 3380 | 160 | 160 | 320 |
| Каровые | 36 | 3680 | 3760 | 3410 | 130 | 140 | 270 |
| Висячие | 8 | 3780 | 3920 | 3460 | 160 | 160 | 320 |
| Плоских вершин | 1 | 3660 | 3690 | 3640 | — | — | 20 |
| В среднем для всех бассейнов | | | | | | | |
| Долинные | 88 | 3860 | 3970 | 3370 | 250 | 240 | 490 |
| Шлейфовые | 19 | 3750 | 3910 | 3390 | 180 | 180 | 360 |
| Каровые | 166 | 3740 | 3820 | 3430 | 140 | 170 | 310 |
| Висячие | 54 | 3710 | 3780 | 3450 | 110 | 150 | 260 |
| Плоских вершин | 5 | 3900 | 3930 | 3780 | 60 | 60 | 120 |

¹ Группа долинных ледников включает простые и сложные долинные ледники, котловинные, висячие долинные, асимметричные долинные, карово-долинные; к шлейфовым ледникам отнесены прислоновые; группа каровых ледников включает каровые, висячие каровые, карово-висячие, асимметричные каровые; к висячим отнесены кулуарные.

² Превышение высшей точки ледника над фирмовой линией.

³ Превышение фирмовой линии над концом ледника.

⁴ Отношение площади фирмового поля к площади языка, включая боковые и срединные морены.

Примечание. В расчет включены 332 ледника.

На рис. 17 видно, что минимальная высота хребтов, необходимая для существования современных долинных ледников, на южном склоне Джунгарского Алатау должна достигать 3600 м, шлейфовых — 3500 м, каровых — 3400 м и висячих — 3300 м.

У долинных ледников при средней высоте гор, с которой они берут свое начало (B) равной 3860 м, на 1 км протяжения верхней границы фирновых полей приходится в среднем 0,75 км² их площади, у шлейфовых ледников при $B=3750$ м $P=0,45$ км², у каровых при $B=3740$ м $P=0,34$ км², у висячих при $B=3710$ м $P=0,25$ км² их площади.

формирования ледников»¹ различных типов остаются почти одинаковыми: 0,0029 у долинных ледников, 0,0018 у шлейфовых, 0,0010 у каровых и 0,0006 у висячих.

Фирновая линия. При сравнении средней высоты фирмовой линии на ледниках различных типов южного склона Джунгарского Алатау (табл. 6) и северного склона хребта в пределах бассейнов рек Аксу и Биен² наблюдается более высокое положение фирмовой линии на южном склоне. Для всех типов ледников (исключая ледники плоских вершин) это превышение составляет в среднем 40—50 м. Причем наибольшая разница (70 м) отме-

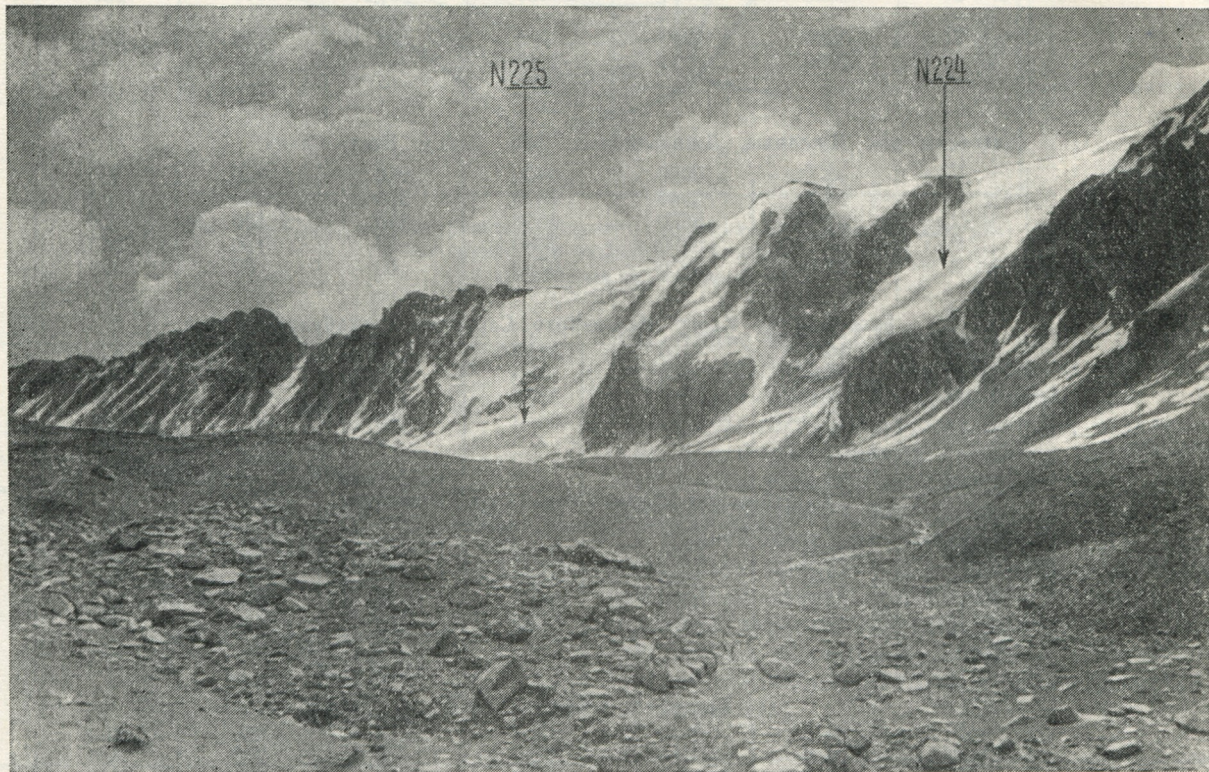


Рис. 15. Карово-висячие ледники № 224 и Большой Кабылский (№ 225). Бассейн р. Среднего Усека.

Абсолютная высота хребта, равная 3600—3700 м, является такой, при которой в одинаковой мере (при одной и той же величине $P=0,20 \div 0,30$ км²) могут существовать ледники всех выделенных типов.

В зависимости от орографических и морфологических условий накопления снега, выше этих отметок лучше всего развиваются долинные ледники, за ними следуют (находясь в худших орографических условиях) шлейфовые, а затем каровые и висячие ледники, на долю которых остаются только крутые склоны хребтов с весьма неблагоприятными условиями накопления снега.

Ниже указанной высоты соотношение условий существования выделенных типов ледников меняется в обратном направлении.

Высотные пределы существования ледников долинного типа на южном склоне Джунгарского Алатау лежат на 120 м выше, чем на северном склоне, шлейфовых ледников соответственно — на 70 м, каровых и висячих — на 50 м. Площадь оледенения, приходящаяся на 1 км протяжения верхней границы фирмовых полей у ледников всех выделенных типов на южном склоне меньше, чем на северном в среднем на 0,16 км², хотя «факторы

чается у ледников долинного типа (как у наиболее чувствительных к ориентации склонов, на которых они залегают), наименьшая (20 м) — у ледников карового типа.

В среднем по району наибольшая высота фирмовой линии наблюдается у долинных ледников (3610 м), у шлейфовых она опускается до 3570 м, а у каровых и висячих находится на уровне 3600 м.

У долинных, шлейфовых и каровых ледников северной экспозиции, имеющих в верховьях круто-поднимающиеся склоны, покрытые снегом и фирмом, фирмовая линия в большинстве случаев проходит где-то вблизи перехода с крутого склона тыловой стены цирка на его пологое дно независимо от абсолютной высоты, где этот переход осуществляется. Это связано с тем, что таяние снега на больших высотах примерно на 90% зависит от прямой солнечной радиации. Участки фирмовых полей, лежащие на крутых склонах тыловых стен цирков, получают намного меньше прямой

¹ М. В. Тронов. Вопросы горной гляциологии.— В кн.: Географический сборник, № 4. Томск, 1964.

² Каталог ледников СССР. Том 13. Центральный и Южный Казахстан. Вып. 2. Бассейн оз. Балхаш. Часть 6. Бассейны рек Биен, Аксу, Лепсы. Л., Гидрометеоиздат, 1970.

Таблица 5

Распределение ледников южного склона Джунгарского Алатау по экспозициям

| Характеристика | C | СВ | B | ЮВ | Ю | ЮЗ | З | СЗ | Общее количество ледников и площадь оледенения бассейна |
|--|-------------------|-------------------|-------------------|------------------|-------------------|------------------|------------------|-------------------|---|
| Бассейн р. Хоргоса | | | | | | | | | |
| Реки Улькен-Казан, Кичик-Казан | | | | | | | | | |
| Количество ледников | 5 — 25 | 4 — 20 | 3 — 15 | — — — | — — — | — — — | 4 — 20 | 4 — 20 | 20 — 100 |
| Площадь ледников | 3,4 — 29,9 | 1,1 — 10,0 | 1,5 — 13,0 | — — — | — — — | — — — | 0,2 — 2,0 | 5,1 — 45,1 | 11,3 — 100 |
| Реки Джланды, Джильдайрык, Зап. Сакоу, Вост. Сакоу | | | | | | | | | |
| Количество ледников | 18 — 32,1 | 17 — 30,4 | 8 — 14,3 | 1 — 1,8 | 3 — 5,3 | — — — | 1 — 1,8 | 8 — 14,3 | 56 — 100 |
| Площадь ледников | 7,6 — 18,7 | 12,6 — 31,2 | 12,7 — 31,2 | 1,3 — 3,3 | 1,1 — 2,8 | — — — | 1,2 — 3,1 | 3,9 — 9,7 | 40,4 — 100 |
| Реки Карсу, Нойза-Чоко, Сарткипе, Каскабулак | | | | | | | | | |
| Количество ледников | 18 — 28,6 | 24 — 38,1 | 8 — 12,7 | 7 — 11,1 | — — — | — — — | — — — | 6 — 9,5 | 63 — 100 |
| Площадь ледников | 11,7 — 24,2 | 17,8 — 36,8 | 6,2 — 12,8 | 8,0 — 15,9 | — — — | — — — | — — — | 5,0 — 10,3 | 48,7 — 100 |
| Всего по бассейну р. Хоргоса | | | | | | | | | |
| Количество ледников | 41 — 29,5 | 45 — 32,4 | 19 — 13,7 | 8 — 5,8 | 3 — 2,1 | — — — | 5 — 3,6 | 18 — 12,9 | 139 — 100 |
| Площадь ледников | 22,7 — 22,6 | 31,5 — 31,5 | 20,4 — 20,3 | 9,3 — 9,0 | 1,1 — 1,1 | — — — | 1,4 — 1,5 | 14,0 — 14,0 | 100,4 — 100 |
| Бассейны рек южного склона хр. Тышкантау | | | | | | | | | |
| (реки Чижин, Тышкан, Бурхан) | | | | | | | | | |
| Количество ледников | 6 — 8,7 | 6 — 8,7 | 8 — 11,6 | 8 — 11,6 | 7 — 10,1 | 5 — 7,2 | 15 — 21,8 | 14 — 20,3 | 69 — 100 |
| Площадь ледников | 5,7 — 11,3 | 1,4 — 2,8 | 3,6 — 7,2 | 6,4 — 12,8 | 18,2 — 35,8 | 3,4 — 6,7 | 5,3 — 10,6 | 6,4 — 12,8 | 50,4 — 100 |
| Бассейн р. Усека | | | | | | | | | |
| р. Большой Усек | | | | | | | | | |
| Количество ледников | 32 — 36,4 | 18 — 20,5 | 9 — 10,2 | 2 — 2,3 | 3 — 3,4 | 1 — 1,1 | 3 — 3,4 | 20 — 22,7 | 88 — 100 |
| Площадь ледников | 15,9 — 35,5 | 9,2 — 20,3 | 6,5 — 14,6 | 0,9 — 2,1 | 0,1 — 0,3 | <0,1 — 0,1 | 1,3 — 3,0 | 11,0 — 24,1 | 44,9 — 100 |
| р. Средний Усек | | | | | | | | | |
| Количество ледников | 20 — 23,5 | 26 — 30,6 | 15 — 17,6 | 4 — 4,7 | 7 — 8,2 | 2 — 2,4 | 1 — 1,2 | 10 — 11,8 | 85 — 100 |
| Площадь ледников | 7,4 — 23,0 | 10,4 — 32,0 | 5,7 — 17,5 | 0,8 — 2,4 | 0,7 — 2,1 | 0,4 — 1,3 | 0,2 — 0,6 | 6,8 — 21,1 | 32,4 — 100 |
| р. Малый Усек | | | | | | | | | |
| Количество ледников | 28 — 35,4 | 13 — 16,5 | 10 — 12,6 | 4 — 5,1 | 3 — 3,8 | 2 — 2,5 | 7 — 8,9 | 12 — 15,2 | 79 — 100 |
| Площадь ледников | 12,3 — 26,3 | 7,3 — 16,0 | 4,0 — 8,8 | 3,1 — 6,7 | 0,7 — 1,6 | 0,2 — 0,5 | 8,2 — 17,9 | 10,2 — 22,3 | 46,0 — 100 |

| Характеристика | С | СВ | В | ЮВ | Ю | ЮЗ | З | СЗ | Общее количество ледников и площадь оледенения бассейна |
|----------------------------|--------------|--------------|--------------|-------------|-------------|------------|-------------|--------------|---|
| Всего по бассейну р. Усека | | | | | | | | | |
| Количество ледников | 80 31,7 | 57 22,6 | 34 13,5 | 10 4,0 | 13 5,2 | 9 3,6 | 7 2,8 | 42 16,6 | 252 100 |
| Площадь ледников | 35,6 28,8 | 26,9 21,7 | 16,3 13,2 | 4,8 3,9 | 1,5 1,2 | 0,6 0,5 | 9,7 8,0 | 28,0 22,7 | 123,4 100 |
| Всего по району оледенения | | | | | | | | | |
| Количество ледников | 127 27,6 | 108 23,5 | 61 13,3 | 26 5,6 | 23 5,0 | 10 2,2 | 31 6,7 | 74 16,1 | 460 100 |
| Площадь ледников | 64,0 23,3 | 59,8 21,8 | 40,3 14,7 | 20,5 7,4 | 20,8 7,6 | 4,0 1,5 | 16,4 6,1 | 48,4 17,6 | 274,2 100 |

Примечания: 1. В числителе — количество ледников или их общая площадь, приходящаяся на данную экспозицию, в знаменателе — доля ледников от их общего количества или общей площади, выраженная в %.
 2. В расчет включены 460 ледников.

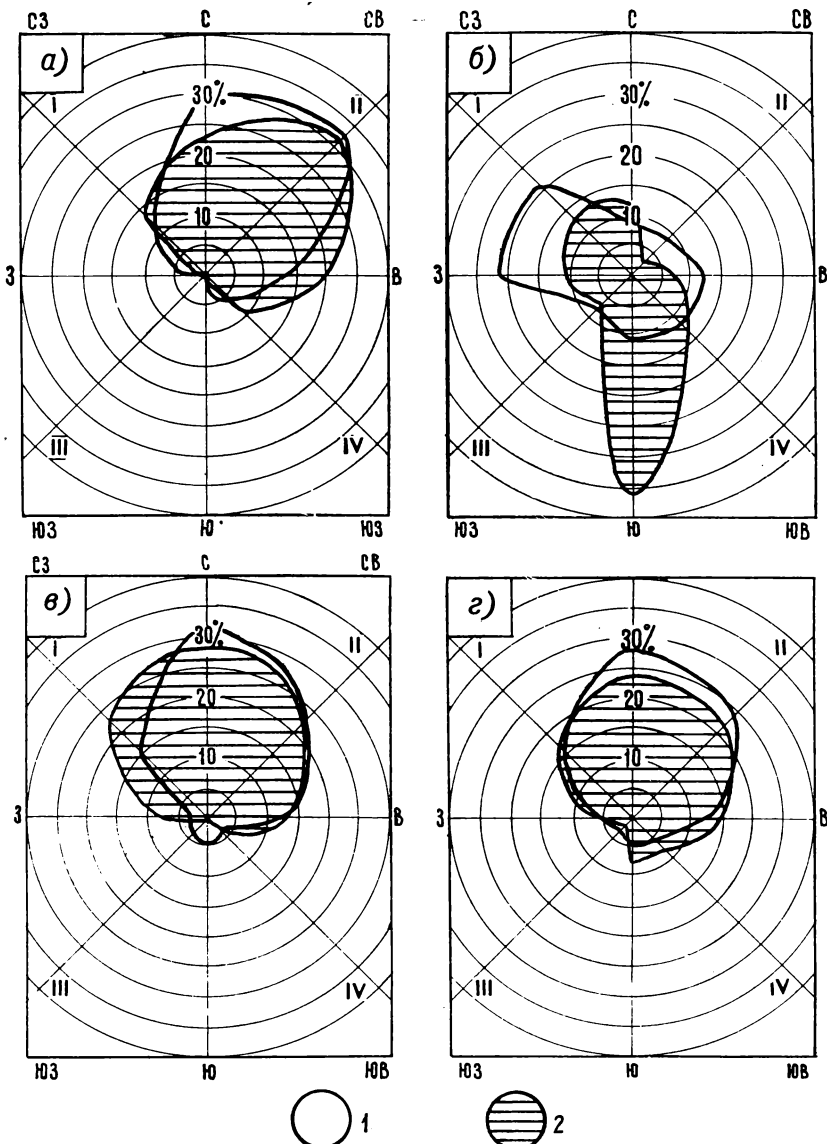


Рис. 16. Распределение количества (1) и площадей (2) ледниковых бассейнов рек Хоргоса (а), Чижина, Тышкана, Бурхана (б), Усека (в) и в среднем для района (г) по экспозициям, % общего количества ледников и общей площади оледенения бассейна или района в целом.

солнечной радиации, чем пологая часть ледника, поэтому снег на них сохраняется в течение всего периода аблации.

Абсолютная высота фирновой линии на ледниках тесно связана с экспозицией склонов, на которых они располагаются (табл. 7, рис. 18). Так, например, на ледниках северной экспозиции фирновая линия находится в среднем на высоте 3540 м. В целом по району разница в абсолютных высотах фирмовой линии на ледниках северной и южной ориентации достигает 190 м.

В результате перевевания снега с западных склонов гор на восточные и концентрации его на ледниках северо-восточной и восточной экспозиции

на этих ледниках фирмовая линия проходит соответственно на 80 и 10 м ниже, чем на ледниках, обращенных на северо-запад и запад.

Распределение ледников в зависимости от рельефа их бассейнов. В среднем по району ледники занимают 63% площади ледниковых бассейнов (табл. 8). Ледники, лежащие на склонах северных румбов, более полно «используют» площадь своих бассейнов, чем ледники других экспозиций. Так, ледники, ориентированные на юг, занимают всего 27% площади своих бассейнов.

Степень заполнения ледникового бассейна ледником у ледников разных типов неодинакова (табл. 9). Самое большое несоответствие между

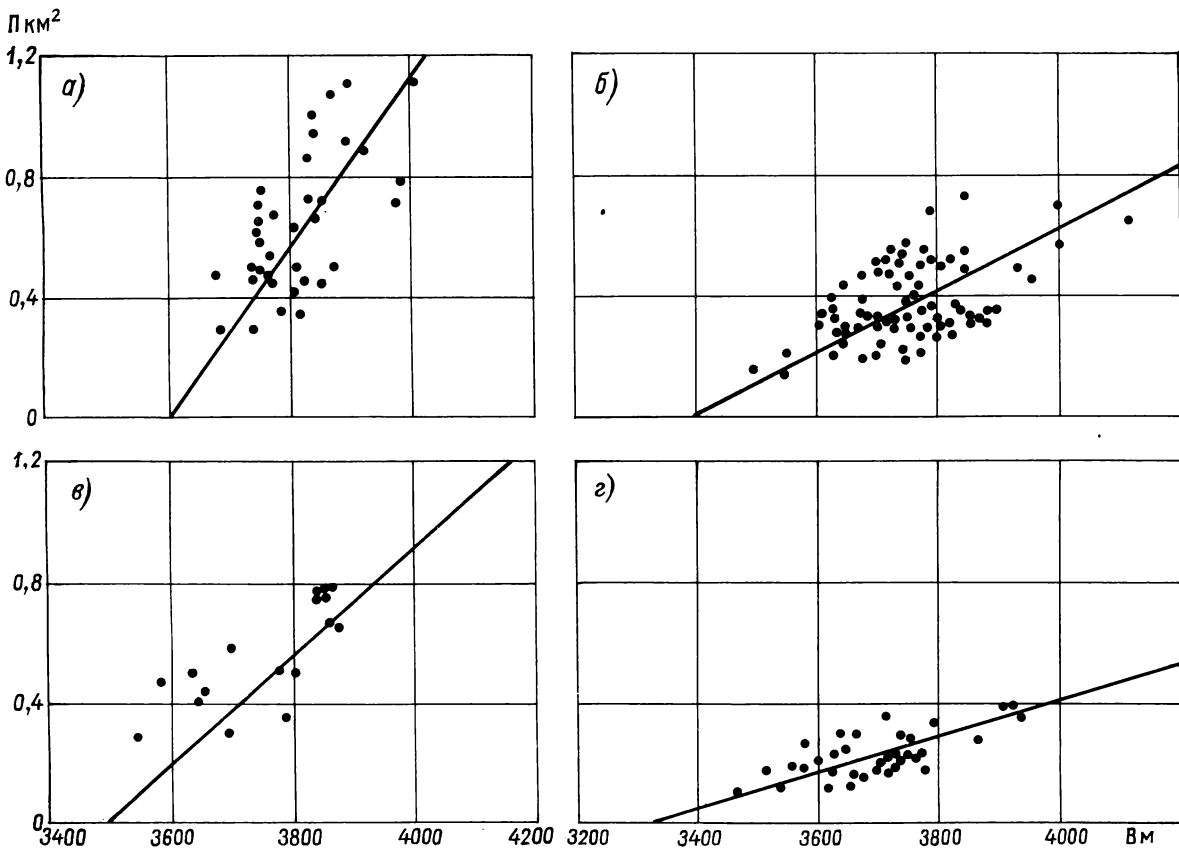


Рис. 17. Связь между средней высотой верхней границы фирмовых полей B и площадью ледников, приходящейся на 1 км протяжения данной границы P , в бассейнах рек Хоргоса, Чижина, Тышканы, Бурхана и Усека для долинных (а), шлейфовых (б), каровых (в) и висячих (г) ледников.

Таблица 6

Высота фирмовой линии на ледниках различных типов, м над ур. м

| Типы ледников | Бассейн реки | | | | | | | | Количество ледников, включенных в расчет | | |
|----------------|---------------------------|---|---|-----------------------|--------------|--------------|------------|--------------------|--|--|--|
| | Хоргос | | | Усек | | | | | | | |
| | Улькен-Казан, Кичик-Казан | Джеланды, Джиль-Дайрык, Зап. Сакоу, Вост. Сакоу | Карсу, Нойза—Чоко, Сарткиле, Каскабулак | Чижин, Тышкан, Бурхан | Большой Усек | Средний Усек | Малый Усек | Средняя взвешенная | | | |
| Долинные | 3660 | 3620 | 3740 | 3600 | 3580 | 3620 | 3560 | 3610 | 88 | | |
| Шлейфовые | — | 3610 | 3610 | 3570 | 3440 | 3580 | 3540 | 3570 | 18 | | |
| Каровые | 3690 | 3650 | 3620 | 3650 | 3560 | 3580 | 3550 | 3600 | 149 | | |
| Висячие | 3670 | 3570 | 3700 | 3730 | 3500 | 3610 | 3630 | 3600 | 29 | | |
| Плоских вершин | — | 3840 | — | — | — | — | — | 3840 | 2 | | |
| Всего | | | | | | | | | 286 | | |

Таблица 7

Абсолютная высота фирновой линии (м) на ледниках разной экспозиции

| Бассейн реки | С | СВ | В | ЮВ | Ю | ЮЗ | З | СЗ |
|---|------------|------------|------------|------------|-----------|-----------|------------|------------|
| Бассейн р. Хоргоса | | | | | | | | |
| Ульген-Казан, Кичик-Казан | 3650 3 | 3720 2 | 3740 2 | — | — | — | — | 3360 3 |
| Джланды, Джиль- дайрык, Зап. Са- коу, Вост. Сакоу | 3560 12 | 3640 14 | 3670 6 | 3630 1 | 3880 1 | — | 3740 1 | 3680 7 |
| Карсу, Нойза-Чо- ко, Сарткине, Каскабулак | 3680 8 | 3560 14 | 3710 5 | 3890 5 | — | — | — | 3690 4 |
| Хоргос (в целом) | 3610 23 | 3610 30 | 3700 13 | 3850 6 | 3880 1 | — | 3740 1 | 3680 14 |
| Бассейны рек южного склона хр. Тышкантау | | | | | | | | |
| Чижин, Тышкан, Бурхан | 3490 5 | 3650 3 | 3600 7 | 3620 6 | 3740 4 | 3680 5 | 3670 7 | 3610 12 |
| Бассейн р. Усека | | | | | | | | |
| Большой Усек | 3520 22 | 3560 11 | 3590 6 | 3750 1 | — | — | 3600 2 | 3590 13 |
| Средний Усек | 3530 9 | 3570 13 | 3690 7 | 3670 3 | 3710 1 | 3770 1 | 3600 1 | 3560 7 |
| Малый Усек | 3510 15 | 3540 12 | 3560 6 | 3640 3 | 3670 2 | — | 3640 5 | 3590 9 |
| Усек (в целом) | 3520 46 | 3560 36 | 3620 19 | 3670 7 | 3680 3 | 3770 1 | 3630 8 | 3580 29 |
| В среднем по рай- ону | 3540 74 | 3580 69 | 3640 39 | 3710 19 | 3740 8 | 3700 6 | 3650 16 | 3610 55 |

Примечание. В числителе — абсолютная высота фирновой линии, в знаменателе — число ледников, вошедших в расчет. Всего в расчет включено 286 ледников.

размерами ледников и площадью их бассейнов наблюдается у каровых ледников. В их бассейнах 41% площади приходится на склоны, лишенные льда. Иное положение у шлейфовых ледников. Располагаясь на склонах хребтов или вершин, они в большинстве случаев почти лишены бокового скального обрамления и занимают в среднем 74% площади своих бассейнов.

Для морфометрической характеристики ледников различных типов были вычислены (в процентах относительно общей площади ледников) такие компоненты поверхности ледника, как площади фирмовых полей, площади языков, свободных от моренного покрова, площади языков под боковыми и срединными моренами, площади льда, погребенного под конечными моренами. Каждый из этих компонентов характеризуется особыми свойствами и отличается от других своей ролью в гидрологическом режиме ледника. Общая водоносность ледников исследованных бассейнов зависит от соотношения элементов их площади и их высотного положения. У всех типов ледников площади фирмовых полей больше площадей открытых частей языков примерно на 7% (табл. 9). Относительная доля погребенных частей ледников в их общей площади по мере уменьшения размеров ледников увеличивается: на долинных ледниках она составляет 9%, на висячих — 43,1%. Наличие погребенного льда у ледников висячего типа на южном склоне

Джунгарского Алатау связано с тем, что во время наступления ледников в стадию фернау их концы во многих случаях достигали полого дна долин. После чего при переходе ледников в стационарное состояние они были погребены под обломочным материалом.¹ Теперь же, во многих случаях, оторвавшись от своих погребенных частей, чистые концы ледников этого типа поднялись на склоны хребтов.

Для разных типов ледников на долю льда, погребенного под боковыми моренами, приходится в среднем 34% всей погребенной части ледника, под фронтальными моренами — 63%, а на долю срединных морен — 3%.

По данным табл. 10 и рис. 19, иллюстрирующих характер распределения площади оледенения по высотным зонам, видно, что от абсолютной высоты гор и ориентации склонов зависит вертикальное распространение ледников в том или ином бассейне и высотное положение максимальной площади ледников.

Так, в наиболее высоко поднятом участке опи-
сываемого района — северном склоне хр. Тышкан-

¹ Во всех выпусках тома 13 Каталога ледников СССР авторы включали в площадь ледников участки льда, погребенные под боковыми и конечными моренами, образованными во время последнего наступления ледников (стадия фернау). — (Прим. ред.)

тау (бассейны рек Карсу, Нойза-Чоко), где средняя высота гор, несущих на себе ледники, достигает 3870 м, граница, разделяющая площадь оледенения пополам, располагается на высоте 3750 м, 90% площади оледенения находится в пределах высотного интервала 740 м (3380—4120 м). Максимум площади оледенения приходится на высоты 3720—3800 м. В пределах бассейна р. Боль-

ному склону (бассейн р. Аксу)¹ показывает, что при равной высоте хребтов, с которых берут свое начало ледники (соответственно 3760 и 3770 м), граница, разделяющая площадь оледенения пополам, на южном склоне находится на 90 м выше, чем на северном (соответственно 3700 м и 3610 м). Максимальная площадь льда (в расчете на высотный интервал, равный 80 м) на южном склоне

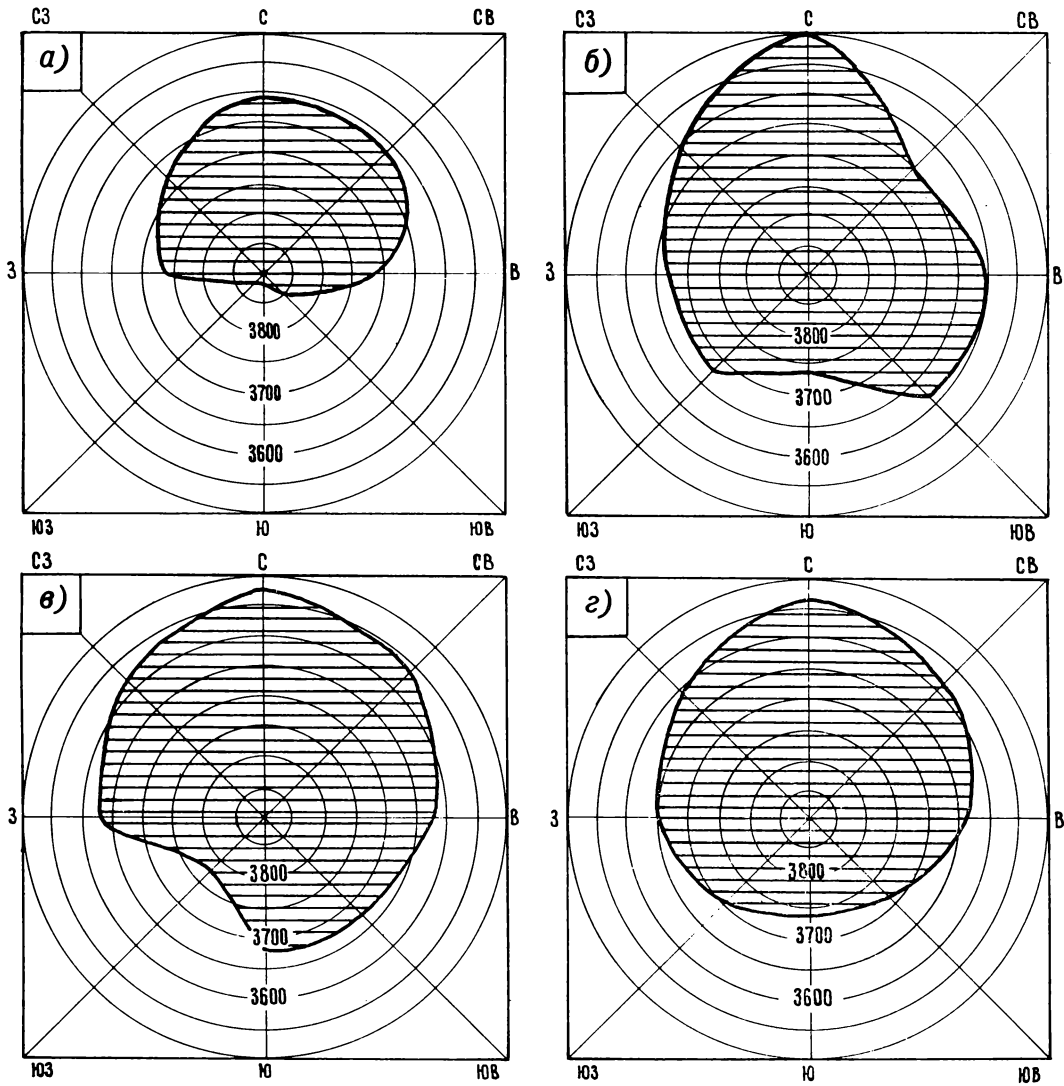


Рис. 18. Зависимость высотного положения фирновой линии в м от экспозиции ледников в бассейнах рек Хоргоса, (а), Чижина, Тышканы, Бурхана (б), Усека (в) и в среднем для района (г).

шего Усека, где средняя высота хребтов, с которых берут начало ледники, равна всего 3720 м, граница разделения площади оледенения пополам расположена на высоте 3620 м, 90% площади оледенения бассейна размещается в интервале относительной высоты 560 м на абсолютных высотах от 3370 до 3930 м, а наибольшая площадь оледенения в 80-метровом высотном интервале приходится на высоты 3480—3560 м. С увеличением высоты гор увеличивается абсолютная высота зоны максимального развития оледенения и относительная величина высотного распространения оледенения в целом.

Сравнение данных о распределении оледенения по высотным зонам на южном склоне Джунгарского Алатау (бассейны рек Джланды, Джильдайрык, Зап. Сакоу) с подобными данными по север-

хребта находится в зоне 3600—3680 м, а на северном — 3560—3640 м.

Вертикальное протяжение пояса развития оледенения на южном склоне в среднем составляет 500 м, а на северном — 560 м. Из изложенного видно, что высотные интервалы оледенения на южном склоне Джунгарского Алатау сдвинуты вверх по сравнению с таковыми же на северном склоне.

Во всех случаях максимальные площади льда находятся вблизи перехода ледников с крутых ты-

¹ П. А. Черкасов. Основные черты современного оледенения бассейнов рек Биен и Аксу хр. Джунгарский Алатау.— «Гляциологические исследования в Казахстане». Вып. 8. Тепловой и водный режим ледников Казахстана. Алма-Ата, «Наука», 1969.

ловых стен цирков на более пологое дно. Следовательно, рельеф ледниковых бассейнов сказывается на высотном расположении ледников.

Существование современного оледенения в целом и каждого типа ледников в отдельности на

определенном высотном уровне в Джунгарском Алатау в большей степени зависит от глубоко расчлененного рельефа гор и в меньшей степени — от климата.

Таблица 8

Степень оледенения (%) в ледниковых бассейнах в зависимости от экспозиции

| C | СВ | В | ЮВ | Ю | ЮЗ | З | СЗ | Среднее для всех экспозиций |
|---|----|---|----|---|----|---|----|-----------------------------|
|---|----|---|----|---|----|---|----|-----------------------------|

Бассейн р. Хоргоса
Реки Улькен-Казан, Кичик-Казан

| | | | | | | | | |
|----------------|----------------|----------------|---|---|---|---|----------------|-----------------|
| $\frac{83}{3}$ | $\frac{48}{4}$ | $\frac{59}{2}$ | — | — | — | — | $\frac{62}{4}$ | $\frac{65}{13}$ |
|----------------|----------------|----------------|---|---|---|---|----------------|-----------------|

Реки Джланды, Джильдайрык, Зап. Сакоу, Вост. Сакоу

| | | | | | | | | |
|-----------------|-----------------|----------------|----------------|---|---|----------------|----------------|-----------------|
| $\frac{69}{15}$ | $\frac{79}{14}$ | $\frac{75}{7}$ | $\frac{75}{1}$ | — | — | $\frac{84}{1}$ | $\frac{79}{7}$ | $\frac{76}{45}$ |
|-----------------|-----------------|----------------|----------------|---|---|----------------|----------------|-----------------|

Реки Карсу, Нойза-Чоко, Сарткипе, Каскабулак

| | | | | | | | | |
|-----------------|-----------------|----------------|----------------|---|---|---|----------------|-----------------|
| $\frac{58}{11}$ | $\frac{69}{15}$ | $\frac{70}{5}$ | $\frac{70}{5}$ | — | — | — | $\frac{74}{4}$ | $\frac{67}{40}$ |
|-----------------|-----------------|----------------|----------------|---|---|---|----------------|-----------------|

**Бассейны рек южного склона хр. Тышкантау
(реки Чижин, Тышкан, Бурхан)**

| | | | | | | | | |
|----------------|----------------|----------------|----------------|----------------|----------------|----------------|-----------------|-----------------|
| $\frac{63}{5}$ | $\frac{55}{3}$ | $\frac{57}{7}$ | $\frac{59}{7}$ | $\frac{21}{4}$ | $\frac{51}{5}$ | $\frac{60}{9}$ | $\frac{62}{12}$ | $\frac{63}{52}$ |
|----------------|----------------|----------------|----------------|----------------|----------------|----------------|-----------------|-----------------|

Бассейн р. Большого Усека

| | | | | | | | | |
|-----------------|-----------------|----------------|----------------|---|----------------|---|-----------------|-----------------|
| $\frac{63}{27}$ | $\frac{74}{13}$ | $\frac{51}{7}$ | $\frac{69}{1}$ | — | $\frac{49}{2}$ | — | $\frac{53}{16}$ | $\frac{61}{66}$ |
|-----------------|-----------------|----------------|----------------|---|----------------|---|-----------------|-----------------|

Бассейн р. Среднего Усека

| | | | | | | | | |
|-----------------|-----------------|-----------------|----------------|----------------|----------------|----------------|----------------|-----------------|
| $\frac{74}{14}$ | $\frac{64}{15}$ | $\frac{72}{10}$ | $\frac{71}{3}$ | $\frac{54}{3}$ | $\frac{53}{1}$ | $\frac{41}{1}$ | $\frac{63}{1}$ | $\frac{67}{53}$ |
|-----------------|-----------------|-----------------|----------------|----------------|----------------|----------------|----------------|-----------------|

Бассейн р. Малого Усека

| | | | | | | | | |
|-----------------|-----------------|----------------|----------------|----------------|----------------|----------------|----------------|-----------------|
| $\frac{64}{17}$ | $\frac{63}{12}$ | $\frac{57}{6}$ | $\frac{52}{4}$ | $\frac{48}{2}$ | $\frac{29}{2}$ | $\frac{61}{6}$ | $\frac{71}{9}$ | $\frac{62}{58}$ |
|-----------------|-----------------|----------------|----------------|----------------|----------------|----------------|----------------|-----------------|

В среднем для всех бассейнов

| | | | | | | | | |
|-----------------|-----------------|-----------------|-----------------|----------------|-----------------|-----------------|-----------------|------------------|
| $\frac{65}{92}$ | $\frac{69}{76}$ | $\frac{67}{44}$ | $\frac{63}{21}$ | $\frac{27}{9}$ | $\frac{49}{10}$ | $\frac{62}{17}$ | $\frac{64}{58}$ | $\frac{63}{327}$ |
|-----------------|-----------------|-----------------|-----------------|----------------|-----------------|-----------------|-----------------|------------------|

Примечания: 1. В числителе — степень оледенения, в знаменателе — число ледников, вошедших в расчет.

2. Степень оледенения — отношение площади ледников к площади занимаемых ими бассейнов и выражается в процентах.

3. За нижнюю границу ледниковых бассейнов принимается линия, касательная к концу погребенной части ледника.

4. В таблицу вошли ледники площадью 0,1 км² и более, за исключением ледников плоских вершин (всего 327 ледников).

Отношение отдельных частей ледников различных типов к их общей площади и площади ледников к площади их бассейнов, %

| Типы ледников | Количество ледников, вошедших в расчет | Отношение к общей площади ледников | | | Отношение площа-ди ледников к площа-ди их бассейнов |
|---------------|--|------------------------------------|-----------------------|---------------------------|---|
| | | Фирновые поля | Открытые части языков | Погребен-ные части языков | |

Бассейн р. Хоргоса
Реки Улькен-Казан, Кичик-Казан

| | | | | | |
|-----------|---|------|------|------|----|
| Долинные | 2 | 32,9 | 55,3 | 11,8 | 64 |
| Шлейфовые | — | — | — | — | — |
| Каровые | 7 | 44,0 | 34,0 | 22,0 | 69 |
| Висячие | 4 | 38,3 | 9,6 | 52,1 | 40 |

Реки Джланды, Джильдайрык, Зап. Сакоу, Вост. Сакоу

| | | | | | |
|-----------|----|------|------|------|----|
| Долинные | 7 | 49,9 | 42,9 | 7,2 | 79 |
| Шлейфовые | 6 | 48,6 | 33,7 | 17,7 | 80 |
| Каровые | 22 | 50,9 | 30,9 | 18,2 | 69 |
| Висячие | 9 | 34,0 | 29,2 | 36,8 | 73 |

Реки Карсу, Нойза-Чоко, Сарткипе, Каскабулак

| | | | | | |
|-----------|----|------|------|------|----|
| Долинные | 14 | 53,0 | 38,6 | 8,4 | 68 |
| Шлейфовые | 3 | 42,9 | 33,3 | 23,8 | 74 |
| Каровые | 17 | 41,5 | 31,6 | 26,9 | 60 |
| Висячие | 6 | 31,9 | 23,8 | 44,3 | 65 |

Бассейны рек Чижина, Тышканы, Бурхана

| | | | | | |
|-----------|----|------|------|------|----|
| Долинные | 18 | 50,6 | 41,9 | 7,5 | 65 |
| Шлейфовые | 4 | 36,6 | 37,7 | 25,7 | 70 |
| Каровые | 26 | 42,8 | 36,5 | 20,7 | 52 |
| Висячие | 3 | 20,7 | 36,2 | 43,1 | 52 |

Бассейн р. Большого Усека

| | | | | | |
|-----------|----|------|------|------|----|
| Долинные | 22 | 46,3 | 43,1 | 10,6 | 64 |
| Шлейфовые | 3 | 36,5 | 37,0 | 26,5 | 67 |
| Каровые | 30 | 40,5 | 31,2 | 28,3 | 56 |
| Висячие | 9 | 25,1 | 21,5 | 53,4 | 50 |

Бассейн р. Среднего Усека

| | | | | | |
|-----------|----|------|------|------|----|
| Долинные | 10 | 43,6 | 47,6 | 8,8 | 72 |
| Шлейфовые | 2 | 38,7 | 32,4 | 28,9 | 73 |
| Каровые | 27 | 41,7 | 33,6 | 24,7 | 62 |
| Висячие | 15 | 25,1 | 23,2 | 51,7 | 71 |

Бассейн р. Малого Усека

| | | | | | |
|-----------|----|------|------|------|----|
| Долинные | 15 | 49,3 | 42,2 | 8,5 | 67 |
| Шлейфовые | 1 | 35,3 | 39,0 | 25,7 | 70 |
| Каровые | 36 | 36,8 | 35,3 | 27,9 | 51 |
| Висячие | 7 | 42,9 | 42,0 | 15,1 | 67 |

В среднем для всех бассейнов района

| | | | | | |
|-----------|-----|------|------|------|----|
| Долинные | 88 | 49,0 | 42,0 | 9,0 | 68 |
| Шлейфовые | 19 | 42,1 | 34,8 | 23,1 | 74 |
| Каровые | 165 | 42,3 | 33,3 | 24,4 | 59 |
| Висячие | 53 | 30,6 | 26,3 | 43,1 | 61 |

Примечание. В расчет включены 325 ледников.

Таблица 10

Распределение площади оледенения по высотным зонам (км^2 и % общей площади оледенения)

| Единица измерения | Высотная зона, м | | | | | | | | | | | | | | | |
|--|------------------|------------|------------|--------------|--------------|--------------|--------------|--------------|--------------|--------------|--------------|--------------|--------------|--------------|-------------|--------------|
| | 4300—4280 | 4280—4200 | 4200—4120 | 4120—4040 | 4040—3960 | 3960—3880 | 3880—3800 | 3800—3720 | 3720—3640 | 3640—3560 | 3560—3480 | 3480—3400 | 3400—3320 | 3320—3240 | 3240—3160 | 3160—3080 |
| Бассейн р. Хоргоса | | | | | | | | | | | | | | | | |
| Реки Улькен-Казан, Кичик-Казан | | | | | | | | | | | | | | | | |
| км ² | -- | -- | 0,1 0,1 | 0,1 0,2 | 0,2 0,4 | 0,5 0,9 | 1,1 2,0 | 1,6 3,6 | 1,8 5,4 | 2,2 7,6 | 1,3 8,9 | 0,2 9,1 | 0,1 9,2 | -- | -- | -- |
| % | -- | -- | 0,1 0,1 | 0,4 0,5 | 2,4 2,9 | 5,5 8,4 | 12,1 20,5 | 18,5 39,0 | 20,1 59,1 | 23,3 82,4 | 14,8 97,2 | 2,4 99,6 | 0,4 100,0 | -- | -- | -- |
| Реки Джланды, Джильдайрык, Зап. Сакоу, Вост. Сакоу | | | | | | | | | | | | | | | | |
| км ² | -- | -- | 0,1 0,1 | 0,6 0,7 | 2,3 3,0 | 4,1 7,1 | 6,1 13,2 | 6,0 19,2 | 6,6 25,8 | 6,4 32,2 | 2,1 34,3 | 1,0 35,3 | 0,1 35,4 | -- | -- | -- |
| % | -- | -- | 0,2 0,2 | 1,6 1,8 | 6,3 8,1 | 11,5 19,6 | 17,3 36,9 | 17,0 53,9 | 18,8 72,7 | 18,1 90,8 | 6,1 96,9 | 2,9 99,8 | 0,2 100,0 | -- | -- | -- |
| Реки Карсу, Ноиза-Чоко (северный склон хр. Тышкантая) | | | | | | | | | | | | | | | | |
| км ² | 0,1 0,1 | 0,2 0,3 | 0,7 1,0 | 1,2 2,2 | 2,0 4,2 | 2,8 7,0 | 3,0 10,0 | 3,5 13,5 | 3,2 16,7 | 3,4 20,1 | 2,8 22,9 | 1,9 24,8 | 1,5 26,3 | 0,6 26,9 | 0,3 27,2 | 0,2 27,4 |
| % | 0,1 0,1 | 0,7 0,8 | 2,6 3,4 | 4,2 7,6 | 7,4 15,0 | 10,3 25,3 | 10,8 36,1 | 12,7 48,8 | 11,5 60,3 | 12,6 72,9 | 10,1 83,0 | 7,1 90,1 | 5,6 95,7 | 2,3 93,0 | 1,2 99,2 | 0,8 100,0 |
| Реки Сарткипе, Каскабулак (юго-восточный склон хр. Тышкантая) | | | | | | | | | | | | | | | | |
| км ² | -- | 0,1 0,1 | 0,4 0,5 | 1,2 1,7 | 1,7 3,4 | 1,5 4,9 | 1,0 5,9 | 1,2 7,1 | 0,9 8,0 | 0,9 8,9 | 0,9 9,8 | 0,6 10,4 | 0,5 10,9 | 0,3 11,2 | 0,2 11,4 | 0,1 11,5 |
| % | -- | 1,0 1,0 | 3,7 4,7 | 10,2 14,9 | 15,1 30,0 | 12,9 42,9 | 8,7 51,6 | 10,5 62,1 | 8,1 70,2 | 7,5 77,7 | 7,8 85,5 | 5,7 91,2 | 4,4 95,6 | 2,5 98,1 | 1,3 99,4 | 0,6 100,0 |
| Бассейны рек Чижина, Тышканы, Бурхана (южный склон хр. Тышкантая) | | | | | | | | | | | | | | | | |
| км ² | -- | 0,2 0,2 | 0,4 0,6 | 0,8 1,4 | 1,7 3,1 | 2,8 5,9 | 3,8 9,7 | 5,6 15,3 | 6,3 21,6 | 7,3 28,9 | 6,3 35,2 | 3,9 39,1 | 2,3 41,4 | 0,9 42,3 | 0,3 42,6 | 0,1 42,7 |
| % | -- | 0,5 0,5 | 1,0 1,5 | 1,8 3,3 | 4,1 7,4 | 6,3 13,7 | 8,9 22,6 | 13,1 35,7 | 14,7 50,4 | 17,2 67,6 | 14,9 82,5 | 9,0 91,5 | 5,2 96,7 | 2,2 98,9 | 0,8 99,7 | 0,3 100,0 |
| Бассейн р. Усека р. Большой Усек | | | | | | | | | | | | | | | | |
| км ² | -- | -- | 0,1 0,1 | 0,2 0,9 | 0,6 2,2 | 1,3 4,6 | 2,4 8,9 | 4,3 14,1 | 5,2 20,3 | 6,2 27,0 | 6,7 31,4 | 4,4 35,1 | 3,7 36,6 | 1,5 36,9 | 0,3 37,0 | 0,1 37,1 |
| % | -- | -- | 0,1 0,1 | 0,4 0,5 | 1,4 1,9 | 3,5 5,4 | 6,4 11,8 | 11,8 23,6 | 14,3 37,9 | 16,9 54,8 | 18,3 73,1 | 12,0 85,1 | 10,0 95,1 | 3,8 98,9 | 0,9 99,8 | 0,2 100,0 |
| р. Средний Усек | | | | | | | | | | | | | | | | |
| км ² | -- | -- | 0,1 0,1 | 0,3 0,4 | 0,7 1,1 | 2,1 3,2 | 3,9 7,1 | 4,4 11,5 | 5,2 16,7 | 5,1 21,8 | 2,9 24,7 | 1,6 26,3 | 0,4 36,7 | 0,1 36,8 | -- | -- |
| % | -- | -- | 0,3 0,3 | 1,1 1,4 | 2,7 4,1 | 7,9 12,0 | 14,4 26,4 | 16,5 42,9 | 19,4 62,3 | 19,3 81,6 | 10,6 92,2 | 6,2 98,4 | 1,4 99,8 | 0,2 100,0 | -- | -- |
| р. Малый Усек | | | | | | | | | | | | | | | | |
| км ² | -- | -- | 0,1 0,1 | 0,3 0,4 | 0,6 1,0 | 1,4 2,4 | 4,4 6,8 | 6,9 13,7 | 7,8 21,5 | 7,3 28,8 | 4,8 33,6 | 3,6 27,2 | 1,0 38,2 | -- | -- | -- |
| % | -- | -- | 0,2 0,2 | 0,8 1,0 | 1,4 2,4 | 3,7 6,1 | 11,7 17,8 | 18,0 35,8 | 20,3 56,1 | 18,9 75,0 | 12,8 87,8 | 9,4 97,2 | 2,8 100,0 | -- | -- | -- |

Примечания: 1. В числителе — площадь зоны, в знаменателе — нарастающий итог.
 2. В таблице приводятся данные по всем 460 ледникам района.
 3. В расчет включены площади ледников без погребенных частей.

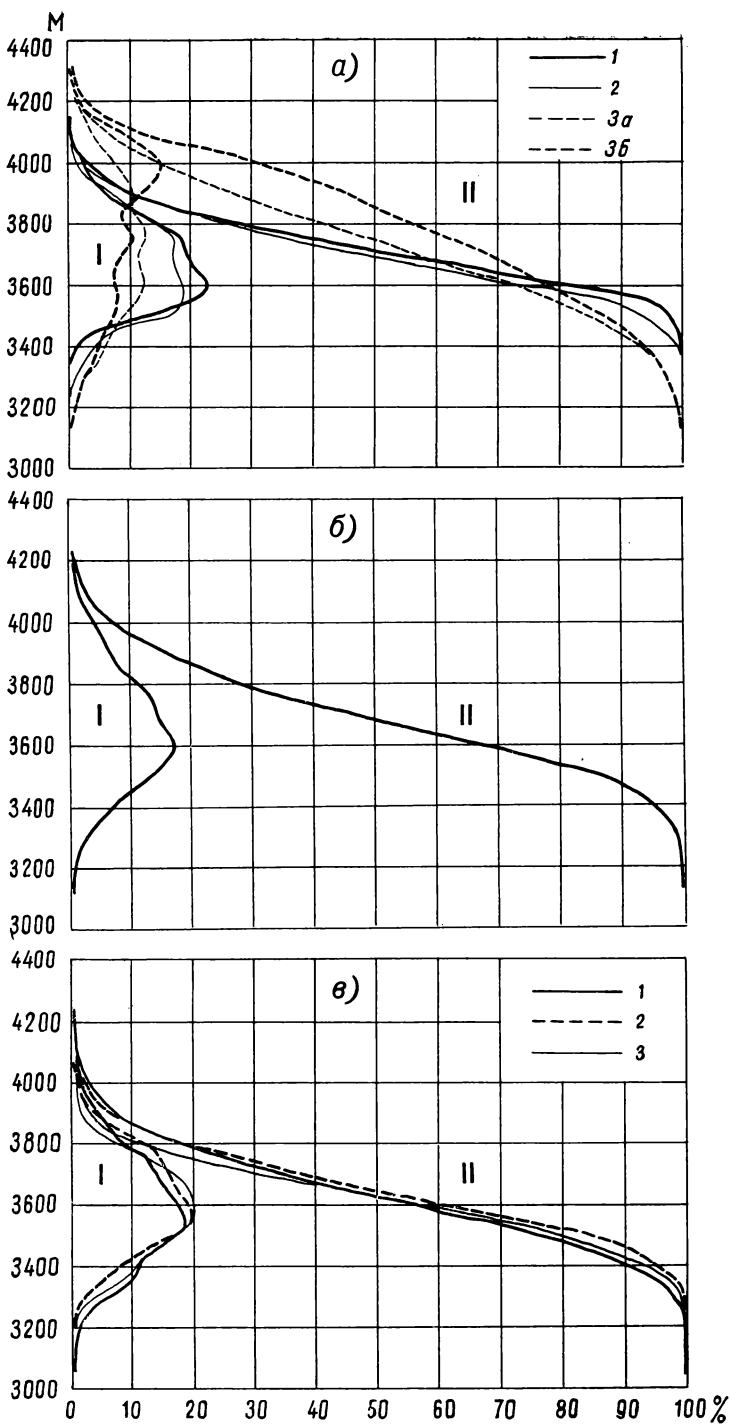


Рис. 19. Дифференциальные (I) и интегральные (II) кривые распределения общей площади ледниковых по высотным зонам.

а — бассейн р. Хоргоса. Реки Кичик-Казан, верховья р. Улькен-Казан (1), Джиланды, Джильдайрык, Зап. Сакоу, Вост. Сакоу (2), Карсуз, Нойзачко на северном склоне хр. Тышкантау (3а), Сарткыне, Каскабулак на юго-восточном склоне хр. Тышкантау (3б);
б — южный склон хр. Тышкантау в бассейнах рек Чижина, Тышканы, Бурхана; в — бассейн р. Усека. Реки Большой Усек (1), Средний Усек (2), Малый Усек (3).

КЛИМАТИЧЕСКИЕ И МЕТЕОРОЛОГИЧЕСКИЕ УСЛОВИЯ СУЩЕСТВОВАНИЯ ЛЕДНИКОВ

Циркуляция атмосферы. Хребет Джунгарский Алатау входит в сферу влияния арктических, полярных и тропических воздушных масс, которые в силу того, что этот хребет занимает почти центральное положение на территории Евразийского

материка, подвергаются на пути к нему значительной трансформации.

Арктические воздушные массы приходят с севера и северо-запада (из районов Баренцова и Карского морей); их повторяемость довольно мала. Чаще они приходят в первой половине зимнего периода. Вторжения этих воздушных масс сопровождаются падением температуры.

Наибольшее влияние на формирование климата Джунгарского Алатау оказывают воздушные массы, образующиеся над Сибирью и Казахстаном, Туранской низменностью, а также над Европой и Атлантическим океаном.

Тропические воздушные массы состоят из тропического турецкого воздуха (в летнее время трансформированного из воздуха умеренных широт над сильно нагретой Туранской низменностью) и тропического иранского воздуха. Последний формируется над территорией Ирана и Афганистана. В летнее время он захватывает западную и южную часть Джунгарского Алатау. Повторяемость этих воздушных масс в исследуемом районе невелика.

В холодную половину года юго-восток Казахстана находится в зоне преобладания антициклональных полей, повторяемость которых достигает 60—70%. Это либо отрог сибирского максимума, распространяющийся через Центральный Казахстан на запад, либо антициклоны, связанные с вторжениями холодных арктических и полярных масс из северных широт. При прохождении циклонов, движущихся по югу Казахстана (обычно из районов Южного Каспия к оз. Балхаш и далее на восток), создается неустойчивая погода: потепление с выпадением осадков сменяется вторжениями арктических или полярных воздушных масс. Они вызывают понижение температуры, но на южном склоне Джунгарского Алатау не такое сильное, как на северном, так как хребет служит мощным барьером, сдерживающим проникновение холодных масс воздуха на его южный склон. За холодное полугодие проходит в среднем примерно 40 подобных вторжений. Весной преобладает циклональный тип погоды.

Летом в результате сильного нагревания окружающих пустынь и проникновения с юга тропического воздуха устанавливается ясная малооблачная теплая и сухая погода в термических депрессиях. Антициклональное поле наблюдается реже (вероятность примерно 40—50% с периодом в одни сутки против 3—5 суток зимой). В это время развивается азорский максимум, по периферии которого приходят влажные воздушные массы с запада.

Поздней осенью начинает оказывать свое влияние формирующийся сибирский антициклон, учащающиеся вторжения арктических масс воздуха с севера, но наблюдаются и выходы циклонов с юга Каспия.

Предгорная зона южного склона Джунгарского Алатау в летнее время при высоких температурах приземного слоя воздуха и достаточно высоком увлажнении почвы водами многочисленных рек по своим микроклиматическим условиям приближается к сухим субтропикам.

Наряду с описанной выше циркуляцией атмосферы, немаловажную роль в формировании погоды играет местная горно-долинная циркуляция. Горно-долинные ветры вызывают или заметно уси-

ливают образование горной конвективной облачности, которая в послеполуденные часы легко развивается до стадии ливневой с выпадением интенсивных осадков. Летом, в период антициклональной погоды, днем ветер дует вверх по долине, ночью — вниз по долине, со стороны осевого хребта.

Различия в абсолютных высотах горного рельефа и его морфологии обусловливают большое разнообразие климатических условий. С возрастанием высоты местности, во-первых, понижается температура воздуха, что отражается на продолжительности сезонов года на различных высотах, во-вторых увеличивается годовое количество выпадающих осадков. Летом зона максимума осадков лежит на высоте 3400—3600 м, а зимой — на высоте 1500—2000 м.

Метеорологические условия высокогорной зоны. До настоящего времени на территории Джунгарского Алатау нет ни одной постоянной высокогорной метеорологической станции, по материалам которой можно было бы судить о характере климатических условий приледникового и ледникового поясов гор.

Ближайшими к рассматриваемому району оледенения являются метеостанции Панфилов и Каныролен и метеопосты Баскунчи и Сарыбастау (см. рис. 28 и табл. II), данные которых могут характеризовать климат только нижней части хребта.

На основании вышеизложенной оценки различий существования ледников на южном и северном склонах Джунгарского Алатау при одинаковых величинах факторов их формирования, можно предположить, что режим жизнедеятельности ледников на южном склоне хребта примерно такой же, как и на северном, но совершается он на больших абсолютных высотах. Отсюда ход метеоэлементов, известный для средней высоты залегания ледников на северном склоне хребта, равной 3550 м, может быть в первом приближении распространен на его южный склон для средней абсолютной высоты залегания ледников, равной 3630 м.

Состояние отдельных элементов климата высокогорной зоны хребта для теплого времени года (периода абляции) дается по материалам гляциологических экспедиций сектора физической географии АН КазССР 1965 и 1966 гг. на северном склоне Джунгарского Алатау, в бассейне р. Аксу, ближайшем к описываемому району оледенения, где проводились метеорологические, актинометрические и градиентные наблюдения. Для холодного времени года (период аккумуляции) эти характеристики даны на основании корреляции с данными метеостанции Алма-Ата, а также метеорологических станций и постов, расположенных у подножия и в пределах низкогорной зоны гор Джунгарского Алатау.

Метеорологические условия в период аккумуляции. Период аккумуляции на ледниковых языках длится с середины сентября до начала июля (около девяти месяцев), в фирновой области он увеличивается до 10 месяцев в году и более. Средняя многолетняя температура воздуха за период аккумуляции в пределах указанной высоты ледникового пояса в описываемом районе равна -7 , -9°C . Наиболее холодный месяц январь (-13 , -14°C). Устойчивый переход средних суточных температур воздуха через нуль происходит в конце мая.

Средняя годовая температура воздуха высокогорной зоны Джунгарского Алатау отрицательная и составляет по многолетним данным -5 , -7°C .

Относительная влажность воздуха в утренние и дневные часы достигает 61—62%, а к вечеру поднимается до 66%. Упругость водяного пара составляет в среднем 2,0 мб, а недостаток насыщения равен $-1,6$ мб.

Максимум упругости водяного пара приходится на апрель—май (3—3,5 мб), минимум — на январь—февраль (1—1,5 мб). Общая облачность равна в среднем 5—5,5 баллам. Наибольшей она бывает в апреле и мае (7—10 баллов; на эти месяцы приходится и наибольшее количество дней с осадками), наименьшей — в октябре. Преобладает облачность — верхнего и среднего ярусов, нижняя облачность наблюдается редко.

Расчеты общего количества осадков, выпадающих в высокогорной зоне за гидрологический год, получены на основании данных суммарных осадкомеров, реек на фирновых полях, по суммам положительных температур воздуха в теплое время года и градиенту таяния снега на 1°C тепла на уровне фирновой линии. Эти расчеты показывают, что от года к году количество выпадающих осадков изменяется в довольно широких пределах (от 770 до 1020 мм). В работе П. Ф. Лаврентьева и др. (табл. V/22) указывается что в зоне распространения ледников в среднем выпадает 1000—1100 мм, причем «увеличение осадков прослеживается до высоты 3200—3400 м, вертикальный градиент при этом уменьшается от 93 мм в зоне высот 400—600 м до 3—5 мм на 100 м высоты на высоте 3200—3400 м... Можно предположить, что рост осадков прекратится на высоте 3400—3600 м». Около 50% общей суммы осадков выпадает за период аккумуляции. Максимум осадков в этот период года приходится на апрель—май (75—110 мм/месяц), минимум — на декабрь—январь (25—50 мм/месяц).

Первые снегопады начинаются во второй половине августа, но устойчивый снежный покров образуется в конце сентября — начале октября. У концов ледников снежный покров ставит в середине июня, но на крутых участках склонов, ориентированных на север, порой сохраняется в течение всего лета.

В период аккумуляции фактическая продолжительность солнечного сияния составляет 25—30% астрономически возможной. Вследствие значительной облачности доля прямой радиации в суммарной составляет в среднем 40—50%, остальная часть приходится на рассеянную радиацию. Величина альбедо поверхности ледников колеблется в пределах 65—85%. В целом радиационный баланс ледниковой зоны в период аккумуляции отрицательный.

Метеорологические условия в период абляции. Продолжительность периода абляции льда достигает 3—3,5 месяца — с конца мая — начала июня до середины сентября. Средняя многолетняя температура воздуха в этот период составляет 2 — 4°C . От года к году она может изменяться на 4 — 5°C . В течение дня (с 7 до 17 ч, когда происходит таяние льда) средние значения температуры воздуха колеблются от 3 до 5°C . В любом месяце теплого периода года бывают дни

Таблица 11

Основной ход изменения метеоэлементов в приледниковой зоне воздуха в дневное время суток (с 6 до 18 ч) в среднем за летние периоды 1965, 1966 гг. на леднике Картайгон (северный склон Джунгарского Алатау)

| Высота над поверхностью ледника, м | Температура воздуха, °С | Упругость водяного пара, мб | Относительная влажность, % | Недостаток насыщения, мб | Скорость ветра, м/с |
|------------------------------------|-------------------------|-----------------------------|----------------------------|--------------------------|---------------------|
| Язык ледника (высота 3400 м) | | | | | |
| 2,0 | 4,3 | 5,6 | 68 | 2,7 | 1,8 |
| 0,1 | 2,9 | 5,8 | 77 | 1,7 | 1,1 |
| Разность | +1,4 | -0,2 | -9 | +1,0 | +0,7 |
| Фирновое поле (высота 3500 м) | | | | | |
| 2,0 | 4,2 | 5,3 | 64 | 2,9 | 1,6 |
| 0,1 | 2,9 | 5,7 | 76 | 1,8 | 1,3 |
| Разность | +1,3 | -0,4 | -12 | +1,1 | +0,3 |

На языках ледников с утра и до 15 ч, а на фирновых полях до 13 ч происходит преимущественно процесс испарения влаги с их поверхности, а позже — конденсация.

Как видно из табл. 11, в приледниковом слое воздуха относительная влажность с высотой уменьшается, а недостаток насыщения растет, причем на языках ледников градиент этих метеоэлементов меньше, чем на фирновых полях. Причиной этому является уменьшение скорости ветра и ослабление процессов турбулентного перемешивания (судя по градиенту скоростей, табл. 11) в верхних зонах ледников по сравнению с языками.

Радиационный и тепловой баланс ледников. При условии безоблачного неба в течение периода абляции возможная продолжительность солнечного сияния уменьшается от 10—12 до 7—8 ч. Отношение действительной продолжительности солнечного сияния к возможной в летнее время для широты Джунгарского Алатау (с учетом закрытости горизонта из-за расчленения рельефа, а также облачности) достигает 57—75 %.

Для периода абляции в полуденное время при ясной погоде интенсивность поступления прямой солнечной радиации на поверхность, перпендикулярную к солнечным лучам S , достигает в среднем 1,63 кал/(см²·мин), а на горизонтальную поверхность S' — 1,38 кал/(см²·мин). За день величина S' по сравнению с величиной S оказывается на 35—40 % меньше.

Облака уменьшают приход прямой солнечной радиации. В полуденное время при облаках верхнего яруса интенсивность S' равняется 1,25 кал/(см²·мин), при облаках среднего яруса — 0,40 кал/(см²·мин).

Возможные дневные суммы прямой солнечной радиации S' при безоблачном небе и полной открытости горизонта за период абляции на широте Джунгарского Алатау должны составлять в среднем около 580 кал/см². Действительные суммы за это время при безоблачной погоде равны примерно 540 кал/см². Таким образом, за счет затененности горами ледники «недополучают» 40 кал/(см²·день). Действительные величины S' (с учетом закрытости горизонта горами и облачности) для периода абляции 1965 г. достигали в среднем 320 кал/(см²·день), а в 1966 г. — 300 кал/(см²·день).

Интенсивность рассеянной радиации D при неизменном состоянии прозрачности атмосферы и

с отрицательными средними суточными температурами воздуха порядка -1 , -2°C , иногда достигающими -5 и даже -10°C . За весь период абляции таких дней бывает от 10 до 30 %. В условиях антициклонального типа погоды амплитуда колебаний температуры воздуха в течение дня достигает 3 — 4°C , а в условиях циклонального типа погоды она составляет -2 , $-2,5^{\circ}\text{C}$. Максимальные температуры, связанные с мощными вторжениями теплых воздушных масс из прилегающих пустынных территорий, достигают 13 — 15°C .

Нулевая изотерма самого теплого месяца — июля проходит примерно на высоте 3700—3900 м.

Упругость водяного пара в период абляции в приледниковой зоне достигает в среднем 6,4 мб, на языках ледников — 5,7 мб, на уровне фирновых полей — 5,3 мб. В течение дня (с 6 до 15 ч) она постепенно возрастает (над фирмовыми полями в среднем с 5,0 до 6,6 мб), а затем до 19 ч или немного понижается (до 6,2 мб), или держится на том же уровне. Относительная влажность воздуха в ледниковой зоне с высотой растет. В приледниковой зоне ее среднее значение равно 67 %, на языках ледников — 68 %, а в фирмовой зоне — 72 %. Как правило, с 6 до 9—10 ч утра относительная влажность воздуха понижается на 5—7 %, затем (до 18 ч) растет в среднем до 78 %. До полудня ее рост обеспечивается повышением абсолютной влажности, а после полудня — понижением температуры воздуха. Позже 18 ч в связи с уменьшением упругости водяного пара относительная влажность уменьшается.

Ветер в долинах в большинстве случаев обусловлен горно-долинной циркуляцией. За период абляции повторяемость ветров, дующих с ледников (вниз по долинам), достигает 55 % случаев, а вверх по долинам — 45 %. Средняя скорость ветра в ледниковой зоне в летнее время не велика — менее 2 м/с, максимальная скорость ветра в среднем не превышает 3 м/с, хотя иногда в связи с циклональными вторжениями или грозами она на короткое время возрастает до 7—8 м/с. От утра к вечеру скорость ветра над поверхностью ледника постепенно уменьшается.

В ледниковой зоне в период абляции преобладает кучевая и высококучевая облачность, образующаяся в результате местной конвекции. Часто (40—50 % абляционного периода) повторяются формы перистых облаков. Они связаны чаще всего с прохождением фронтов.

Общая облачность в пределах ледниковой зоны увеличивается по направлению от языков к фирмовым полям. Так, доля ясных дней в течение абляционного периода в приледниковой зоне, на языках ледников и на фирмовых полях составляет соответственно 18, 15 и 7 %, а доля пасмурных дней — соответственно 39, 42 и 50 %. Средняя общая облачность над ледниковой зоной в летнее время колеблется в пределах 5—7 баллов.

В период абляции самыми обильными по осадкам месяцами являются май и июнь, а наиболее сухими — август и сентябрь. В ледниковой зоне за этот период выпадает до 120—210 мм осадков, из них 65 % связаны с циклональным и 35 % — с антициклональным режимами погоды.

Летом в дневное время в двухметровом приледниковом слое воздуха всегда наблюдается температурная инверсия (табл. 11).

подстилающей поверхности с увеличением высоты солнца возрастает. В утренние и вечерние часы значение D составляет 0,05—0,09 кал/(см²·мин). В безоблачные дни максимума (0,17 кал/см²·мин) D достигает около 11 ч утра, затем она начинает уменьшаться. Доля рассеянной радиации по отношению к прямой в те же дни составляет 12—14%.

С уменьшением прозрачности воздуха при неизменном альбедо и безоблачном небе интенсивность рассеянной радиации увеличивается.

Кроме того, рассеянная солнечная радиация зависит от альбедо A_k подстилающей поверхности:

| Характер подстилающей поверхности | $A_k\%$ | D кал/(см ² × мин) |
|--------------------------------------|---------|---------------------------------|
| Загрязненный снег | 53 | 0,12 |
| Снег, выпавший за день до наблюдения | 80 | 0,15 |
| Свежевыпавший снег | 89 | 0,18 |

С увеличением облачности до определенного предела интенсивность рассеянной радиации возрастает.

Облака верхнего яруса (и в некоторых случаях среднего яруса) пропускают определенное количество солнечной радиации. Облака нижнего яруса совершенно не прозрачны для прямой солнечной радиации, и в связи с этим величина D при пасмурной погоде уменьшается.

В дни с антициклональным типом погоды величина D достигает не более 60 кал/см², что составляет 10% суммарной солнечной радиации, а в дни с фронтальной и конвективной облачностью сумма D возрастает до 290 кал/см², или 53% суммарной радиации. В дни со сплошной облачностью нижнего яруса дождевых форм дневные суммы D достигают не более 90 кал/см². За период абляции 1965 г. среднее значение D составляло 100 кал/см² в день, а в 1966 г.—140 кал/(см²·день).

В безоблачную погоду дневной ход интенсивности суммарной радиации $S'+D$ зависит от высоты солнца над горизонтом. Для абляционного периода в полуденное время в среднем $S'+D$ достигает 1,53 кал/см²·мин.

С увеличением альбедо подстилающей поверхности интенсивность $S'+D$ возрастает. В полуденные часы в безоблачную погоду при A_k , равном 60% (загрязненный снег), величина $S'+D$ достигает 1,35 кал/(см²·мин), при A_k , равном 68% (снег, выпавший за день до наблюдения), она возрастает до 1,40 кал/(см²·мин), а при A_k , равном 87% (свежевыпавший снег), достигает 1,49 кал/(см²·мин).

На приход суммарной радиации оказывает влияние не только количество, но и формы облаков. В полуденное время при полной закрытости неба облаками верхнего яруса интенсивность $S'+D$ достигает 1,30 кал/(см²·мин), при облачности среднего яруса—0,73 кал/(см²·мин), а при облачности нижнего яруса—0,55 кал/(см²·мин). Облачность нижнего яруса уменьшает поток $S'+D$ значительно, чем облака среднего и верхнего ярусов.

При условии полной открытости горизонта и безоблачном небе за период абляции в исследуемом районе возможное поступление суммарной радиации $S'+D$ должно достигать в среднем 670 кал/(см²·день). В то время как при учете за-

крытии горизонта и безоблачном небе она равна в среднем 630 кал/(см²·день). Таким образом, только за счет закрытия горизонта горами недобор тепла в утренние и вечерние часы достигает 6%.

Дневные суммы $S'+D$ за период наблюдений изменялись в пределах от 70—100 до 670 кал/(см²·день). Летом 1965 г. дневные суммы $S'+D$ достигали 420 кал/см², а летом 1966 г.—440 кал/см².

Интенсивность отраженной радиации R_k зависит от суммарной радиации, состояния деятельной поверхности, высоты солнца над горизонтом и облачности.

При безоблачной погоде в полуденное время на фирновых полях ледников для абляционного периода величина R_k достигала в среднем 0,67 кал/(см²·мин), при облачности 5 баллов—0,43 кал/(см²·мин), при облачности 10 баллов—0,27 кал/(см²·мин). На языках ледников в зависимости от облачности интенсивность R_k равнялась соответственно 0,50, 0,30 и 0,15 кал/(см²·мин). Для периодов абляции 1965 и 1966 гг. R_k фирновых полей ледников достигало 210 кал/(см²·день), а языков ледников—150 кал/(см²·день).

Летом альбедо фирновых полей изменяется от 40 до 90%, а языков ледников—от 15 до 86%. Такая большая амплитуда колебания коэффициента отраженной радиации (особенно на языках ледников) связана с тем, что за абляционный период ледники неоднократно покрываются свежевыпавшим снегом.

Независимо от состояния деятельной поверхности от утра к полудню ее альбедо уменьшается для свежевыпавшего снега от 80 до 72%, старого влажного снега от 56 до 46%, загрязненного влажного снега от 43 до 35%, загрязненного пористого льда с водой от 22 до 15%.

Одним из важных факторов, влияющих на величину альбедо, является облачность. При безоблачном небе полуденные величины альбедо на фирновом поле находятся в пределах 37—63%, в пасмурные дни—в пределах 43—70%. Альбедо поверхности языков ледников варьирует от 16 до 75% в ясную погоду и от 23 до 85% в пасмурную.

Максимальные значения альбедо приходятся на дни с фронтальным типом погоды, наименьшие—на дни с антициклональным типом погоды. Альбедо поверхности ледников постепенно уменьшается от весны к осени.

Поток поглощенной радиации Q_p в полуденное время на языках ледников при безоблачной погоде для абляционного периода достигает 1,27 кал/(см²·мин), а на фирновых полях 0,92 кал/(см²·мин). Величина Q_p по мере увеличения облачности уменьшается. При A_k , равном 50%, и облачности 0—3 балла интенсивность Q_p достигает 0,60—0,75 кал/(см²·мин), при облачности 4—7 баллов—0,40—0,49 кал/(см²·мин), а при облачности 8—10 баллов—0,31—0,37 кал/(см²·мин). Средние суммы поглощенной радиации на фирновых полях ледников равны 220 кал/(см²·день), а на языках ледников—280 кал/(см²·день).

Самые большие суммы Q_p приходятся на дни с антициклональным типом погоды [580 кал/(см²·день) на языке ледника и 350 кал/(см²·день) на фирновом поле].

Наименьшие потоки поглощенной радиации наблюдаются на фирновых полях в дни с фронтальными типами погоды.

На величину эффективного излучения $E_{\text{эфф}}$ оказывают влияние облачность, температура излучающей поверхности и воздуха, абсолютная влажность воздуха и стратификация атмосферы. Значение $E_{\text{эфф}}$ деятельной поверхности ледников в безоблачную погоду равно в среднем $0,13 \text{ кал}/(\text{см}^2 \cdot \text{мин})$, в пасмурную погоду (облачность 8—10 баллов) — $0,05$ — $0,02 \text{ кал}/(\text{см}^2 \cdot \text{мин})$. Кроме того, величина $E_{\text{эфф}}$ зависит и от высоты нижней границы облаков — по мере ее опускания $E_{\text{эфф}}$ приближается к нулю. Так, при облачности 10 баллов среднего яруса значение $E_{\text{эфф}}$ достигает $0,04$ — $0,05 \text{ кал}/(\text{см}^2 \cdot \text{мин})$, а при облаках нижнего яруса — $0,01$ — $0,02 \text{ кал}/(\text{см}^2 \cdot \text{мин})$.

За период аблации 1965 и 1966 гг. дневные величины $E_{\text{эфф}}$ на фирновых полях ледников достигали $50 \text{ кал}/\text{см}^2$, а на языках ледников — $40 \text{ кал}/\text{см}^2$. Дневные суммы $E_{\text{эфф}}$ при любом типе погоды всегда больше на фирновых полях ледников, чем на их языках.

Радиационный баланс B поверхности ледников зависит от взаимодействия ряда факторов, влияющих на режим его составляющих. Главные из них продолжительность солнечного сияния, условия облачности и прозрачности атмосферы, стратификация атмосферы, характер и состояние подстилающей поверхности.

В ночное время радиационный баланс, как правило, отрицателен и находится в пределах — $0,02$ — $0,10 \text{ кал}/(\text{см}^2 \cdot \text{мин})$. При высоте солнца около 20° радиационный баланс становится положительным. В безоблачную погоду с увеличением высоты солнца значения B растут, достигая максимума в полуденное время.

На величину B большое влияние оказывает состояние деятельной поверхности. В полуденное время при безоблачном небе в зависимости от состояния подстилающей поверхности величины B достигают следующих значений:

| Характер подстилающей поверхности | $A_{\text{к}}\%$ | $B \text{ кал}/(\text{см}^2 \times \text{мин})$ |
|-----------------------------------|------------------|---|
| Свежевыпавший снег | 75—80 | 0,45 |
| Чистый старый снег | 70—75 | 0,60 |
| Загрязненный лед, покрытый водой | 20—25 | 0,70 |

В дневное время появление облачности ведет к уменьшению величин радиационного баланса, если они были положительными. Так, при сохранении одинаковых величин альбедо на фирновых

полях ледников в полдень при безоблачной погоде значения B достигают $0,56 \text{ кал}/(\text{см}^2 \cdot \text{мин})$, при облаках верхнего яруса они поникаются до $0,43 \text{ кал}/(\text{см}^2 \cdot \text{мин})$, а при сплошной облачности нижнего яруса падают до $0,17 \text{ кал}/(\text{см}^2 \cdot \text{мин})$. На языках ледников в аналогичных условиях величины B равняются соответственно $0,69$, $0,54$ и $0,26 \text{ кал}/(\text{см}^2 \cdot \text{мин})$.

Самые большие значения радиационного баланса фирновых полей ледников приходятся на дни с антициклональным типом погоды [среднее значение $210 \text{ кал}/(\text{см}^2 \cdot \text{день})$, а крайние — 80 и $340 \text{ кал}/(\text{см}^2 \cdot \text{день})$]. В дни с конвективным типом погоды значение B достигает в среднем $160 \text{ кал}/(\text{см}^2 \cdot \text{день})$ (пределы колебаний 70 — $250 \text{ кал}/(\text{см}^2 \cdot \text{день})$). В дни с фронтальным типом погоды величины B в среднем держатся на уровне $150 \text{ кал}/(\text{см}^2 \cdot \text{день})$, а крайние их значения составляют 70 — $220 \text{ кал}/(\text{см}^2 \cdot \text{день})$. За аблационные периоды в годы наблюдений на фирновых полях ледников радиационный баланс достигал в среднем $170 \text{ кал}/(\text{см}^2 \cdot \text{день})$, а на языках ледников — $240 \text{ кал}/(\text{см}^2 \cdot \text{день})$. Дневные суммы B фирновых полей значительно меньше аналогичных сумм языков ледников.

В зоне современного оледенения Джунгарского Алатау основное влияние на таяние ледников оказывает солнечная радиация. При облачности в 4 балла ее доля достигает 74% , а при облачности в 6—7 баллов — 57% . Роль второго члена теплового баланса — потока турбулентного тепла из воздуха и тепла конденсации водяных паров зависит от превосходящих его по своим абсолютным значениям колебаний радиационного баланса. При этом по мере увеличения общей облачности соотношение составных частей теплового баланса меняется в сторону относительного усиления действия турбулентного тепла из воздуха на таяние ледников. Так, при облачности в 4 балла удельный вес турбулентного тепла в среднем равняется 26% , а при облачности в 7 баллов он возрастает до 43% .

На южном склоне Джунгарского Алатау роль радиационного тепла в аблации ледников должна по сравнению с турбулентным потоком быть в среднем на 7 — 10% больше, чем на северном.

* * *

Вопросы, касающиеся свойств и особенностей строения ледников, а также баланса их массы здесь не рассматриваются, так как наблюдения за этими видами режима ледников на южном склоне хребта не проводились. Получить общие сведения по этим вопросам можно в Каталоге ледников СССР, том 13, вып. 2, части 6 и 7.

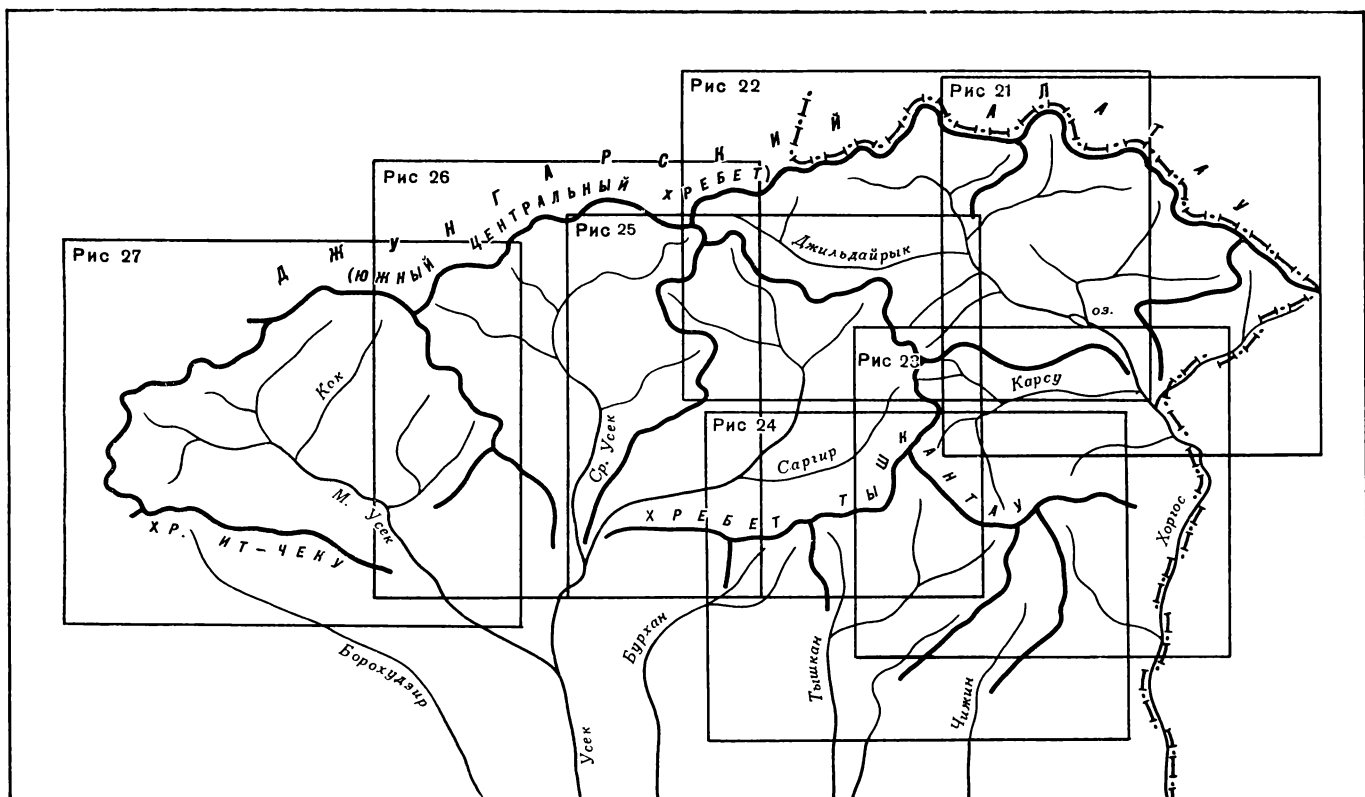


Рис. 20. Схема расположения бассейнов главных рек района.

В рамках — территории бассейнов, в пределах которых размещаются ледники, показанные на рис. 21—27.

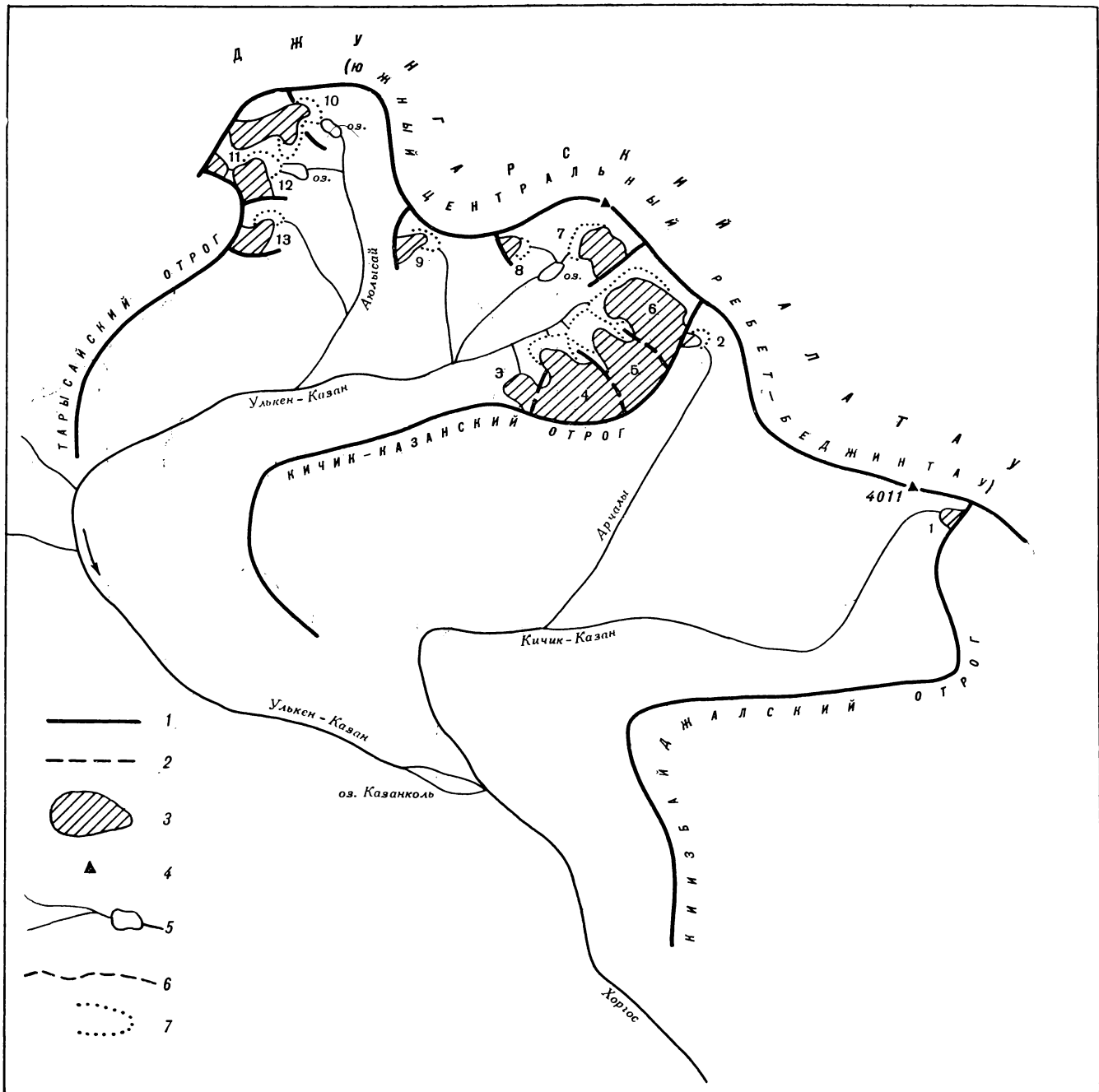


Рис. 21. Схема расположения ледников в бассейне р. Кичик-Казан и в верховье р. Улькен-Казан, образующих р. Хоргос.
 1 — водоразделы, 2 — ледоразделы, 3 — ледники и их номера по табл. I, 4 — вершины, 5 — реки и озера, 6 — подземный сток, 7 — нижняя граница «мертвого» погребенного льда.

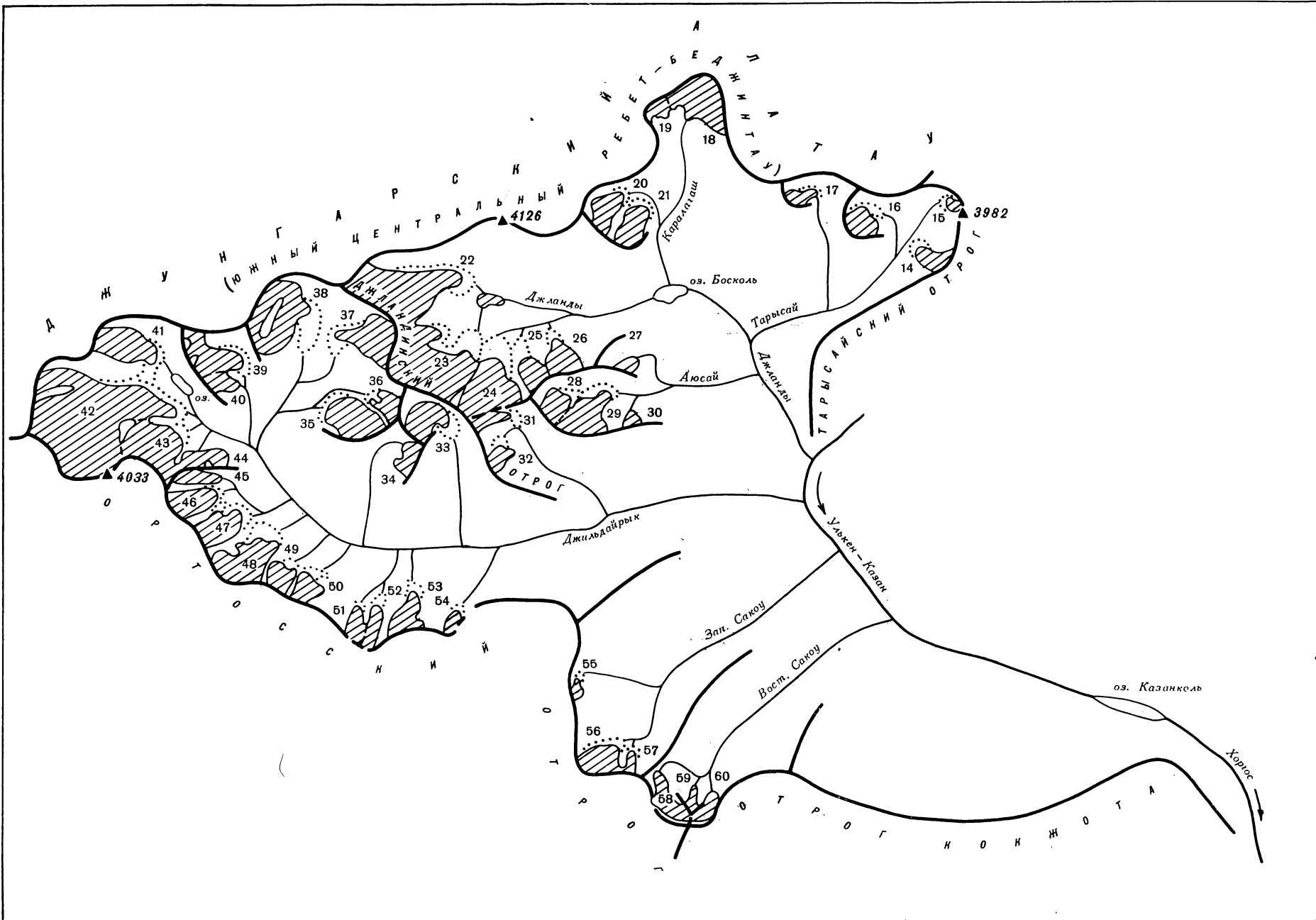


Рис. 22. Схема расположения ледников в бассейнах рек Джланда, Джильдайрык, Зап. Сакоу, Вост. Сакоу.—правых притоков р. Улькен-Казан.
Усл. обозначения см. на рис. 21.

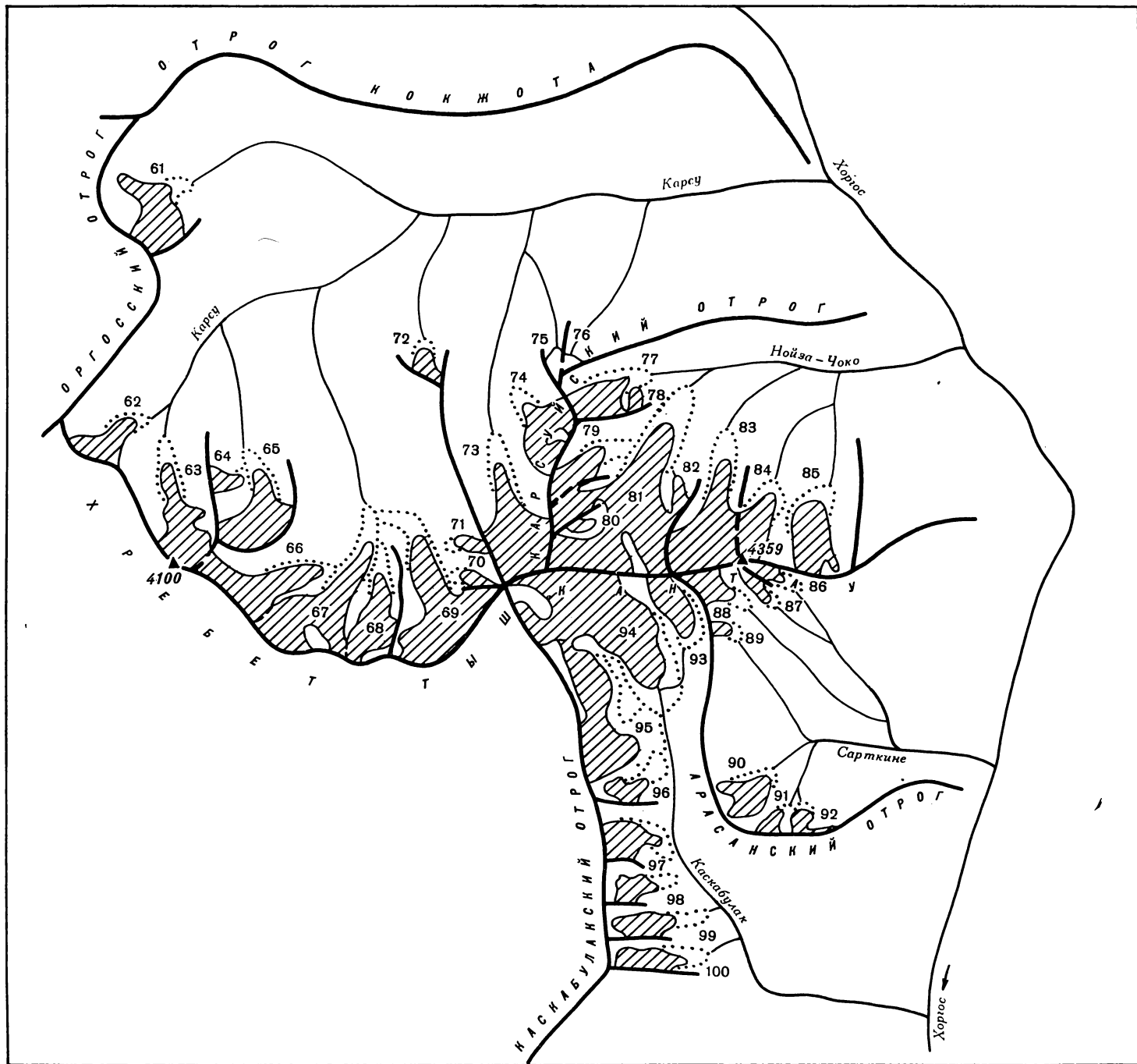


Рис. 23. Схема расположения ледников в бассейнах рек Карсу, Нойза-Чоко, Сарткине, и Каскабулак — правых притоков р. Хоргоса.

Усл. обозначения см. на рис. 21.



Рис. 24. Схема расположения ледников в бассейнах рек Чижина, Тышканы и Бурхана на южном склоне хр. Тышкантая.

Усл. обозначения см. на рис. 21.

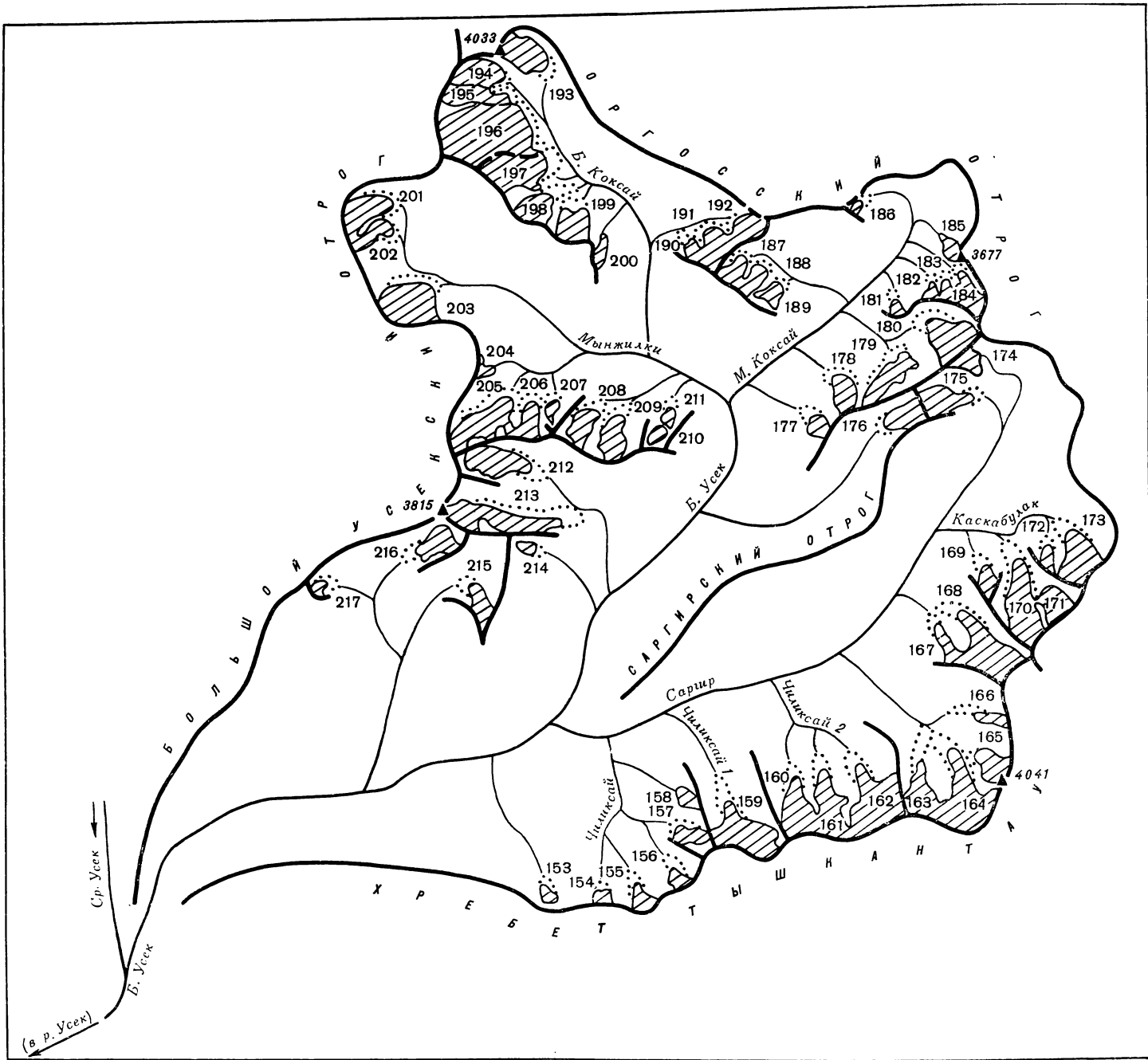


Рис. 25. Схема расположения ледников в бассейне р. Большого Усека.
Усл. обозначения см. на рис. 21.



Рис. 26. Схема расположения ледников в бассейне р. Среднего Усека.

Усл. обозначения см. на рис. 21.

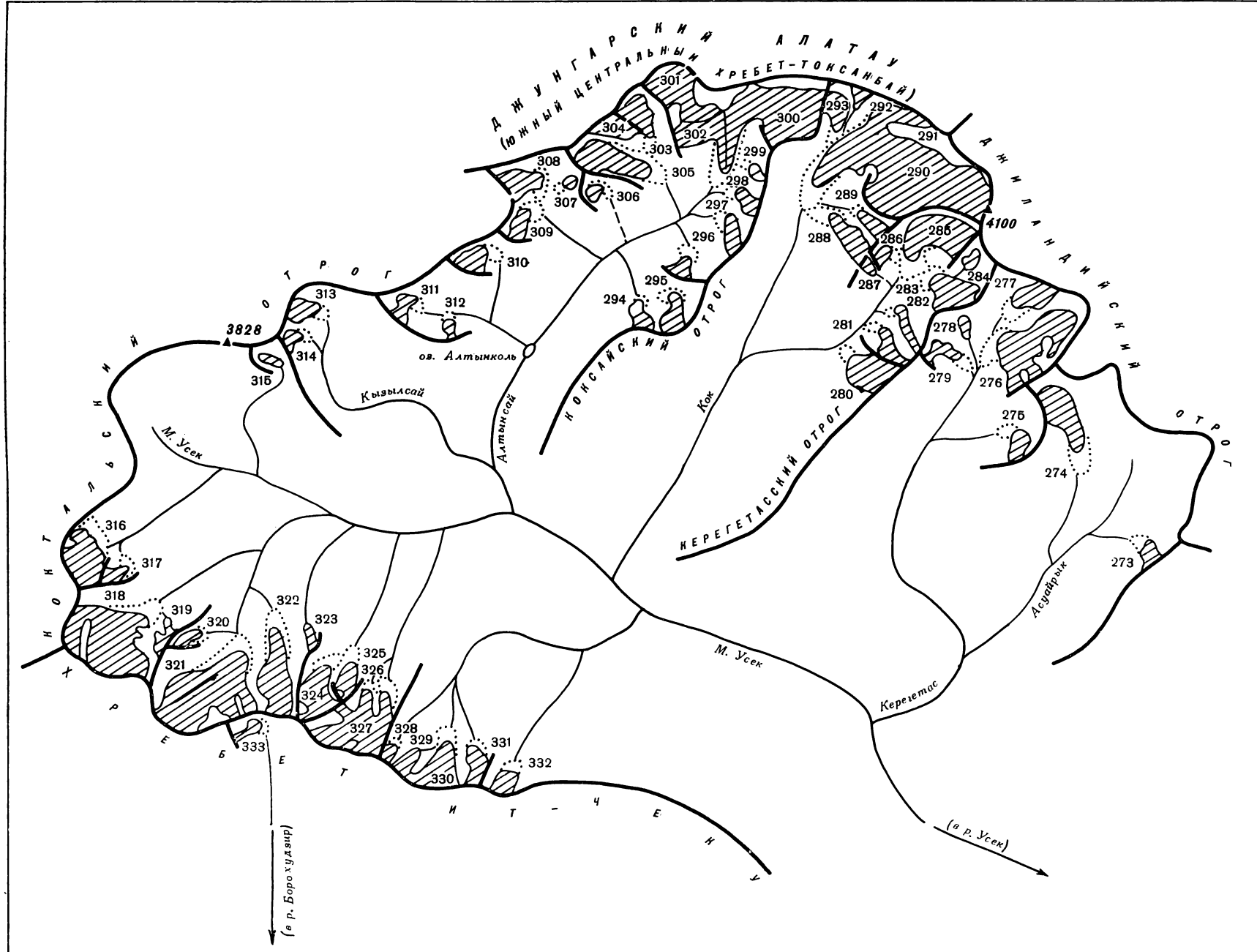


Рис. 27. Схема расположения ледников в бассейне р. Малого Усека.
Усл. обозначения см. на рис. 21.

ОСНОВНЫЕ ТАБЛИЦЫ
КАТАЛОГА ЛЕДНИКОВ

ОСНОВНЫЕ СВЕДЕНИЯ

| № по схеме | Название | Название реки, вытекающей из ледника | Морфологический тип | Общая экспозиция | Наибольшая длина, км | | Площадь, км ² | |
|------------|----------|--------------------------------------|---------------------|------------------|----------------------|----------------------------|--------------------------|----------------------------|
| | | | | | Всего ледника | В том числе открытой части | Всего ледника | В том числе открытой части |
| 1 | 2 | 3 | 4 | 5 | 6 | 7 | 8 | 9 |

Бассейн р. Кичик-Казан

Южный склон Джунгарского Алатау (Южного Центрального хребта — Беджинтау).

| | | | | | | | | |
|-----------|-----|--------------------|------|----|------------|------------|------------|------------|
| 1* | № 1 | пр. р. Кичик-Казан | вис. | CЗ | 0,6 0,8 | 0,5 0,7 | 0,1 0,1 | 0,1 0,1 |
| 2* | № 2 | Арчалы | вис. | СВ | | | | |
| 2 ледника | | | | | | | 0,2 | 0,2 |

Кроме того, в бассейне р. Кичик-Казан имеется 1 ледник размером менее 0,1 км², площадью 0,1 км²

Итого 3 ледника

| | | | | | | 0,3 | 0,3 |

Бассейн верховьев р. Улькен-Казан

Южный склон Джунгарского Алатау (Южного Центрального хребта — Беджинтау), западный

| | | | | | | | | |
|-----|-------------|---------------------|-----------|----|-----|-----|------|-----|
| 3* | № 3 | пр. р. Улькен-Казан | вис. | C | 0,8 | 0,8 | 0,4 | 0,4 |
| 4* | № 4 | пр. р. Улькен-Казан | кар.-дол. | C | 2,6 | 2,2 | 2,2 | 1,9 |
| 5* | № 5 | пр. р. Улькен-Казан | кар.-дол. | CЗ | 2,6 | 2,1 | 1,9 | 1,4 |
| 6* | Николаева | Улькен-Казан | дол. | CЗ | 3,0 | 2,4 | 2,2 | 1,8 |
| 7 | № 7 | пр. р. Улькен-Казан | кар.-вис. | CЗ | 1,6 | 1,4 | 0,8 | 0,6 |
| 8* | № 8 | пр. р. Улькен-Казан | кар.-вис. | B | 0,8 | 0,6 | 0,2 | 0,2 |
| 9 | № 9 | пр. р. Улькен-Казан | кар.-вис. | СВ | 1,2 | 0,9 | 0,4 | 0,3 |
| 10* | Двухязычный | Аюлысай | вис.-кар. | B | 2,4 | 2,0 | 1,2 | 0,9 |
| 11* | № 11 | пр. р. Аюлысай | вис. | CB | 0,4 | 0,4 | 0,1 | 0,1 |
| 12 | Аюлы | пр. р. Аюлысай | кар.-дол. | C | 1,4 | 1,2 | 0,7 | 0,5 |
| 13 | Зандровый | пр. р. Аюлысай | кар. | CB | 1,3 | 1,0 | 0,5 | 0,4 |
| | 11 ледников | | | | | | 10,6 | 8,5 |

Кроме того, в бассейне р. Улькен-Казан имеется 6 ледников размерами менее 0,1 км² каждый, общей площадью 0,4 км²

Итого 17 ледников

| | | | | | | 11,0 | 8,9 |

Бассейн р. Джланды (реки Улькен-

Южный склон Джунгарского Алатау (Южного Центрального хребта — Беджинтау), западный

| | | | | | | | | |
|-----|-------------|----------------|------------|----|-----|-----|------|------|
| 14 | № 14 | пр. р. Тарысай | кар.-вис. | CЗ | 1,3 | 1,1 | 0,4 | 0,3 |
| 15* | № 15 | пр. р. Тарысай | кар.-вис. | CЗ | 0,6 | 0,5 | 0,2 | 0,2 |
| 16 | Тарысай | Тарысай | кар.-вис. | C | 1,4 | 1,0 | 0,6 | 0,5 |
| 17* | № 17 | пр. р. Тарысай | кар.-вис. | СВ | 1,0 | 0,8 | 0,3 | 0,3 |
| 18 | Карагаш | Карагаш | пл. верш. | Ю | 1,4 | 1,4 | 1,0 | 1,0 |
| 19* | № 19 | пр. р. Карагаш | пл. верш. | Ю | 0,3 | 0,3 | 0,1 | 0,1 |
| 20 | № 20 | пр. р. Карагаш | кар. | CB | 1,3 | 1,1 | 0,7 | 0,6 |
| 21 | № 21 | пр. р. Карагаш | кар.-вис. | C | 1,3 | 1,1 | 0,7 | 0,6 |
| 22 | Джланды | Джланды | асимм.дол. | B | 3,4 | 3,0 | 2,6 | 2,2 |
| 23* | Боскольский | пр. р. Джланды | шлф. | CB | 2,9 | 2,3 | 3,1 | 2,6 |
| 24* | № 24 | пр. р. Джланды | шлф. | C | 2,2 | 1,7 | 1,9 | 1,5 |
| 25 | № 25 | пр. р. Джланды | кар.-вис. | CЗ | 1,6 | 1,0 | 0,7 | 0,4 |
| 26 | № 26 | пр. р. Джланды | кар.-вис. | C | 1,3 | 1,0 | 0,6 | 0,5 |
| 27 | № 27 | пр. р. Аюсай | вис. | CB | 0,5 | 0,5 | 0,2 | 0,2 |
| 28* | № 28 | пр. р. Аюсай | кар.-вис. | CB | 1,2 | 0,8 | 0,4 | 0,3 |
| 29* | Аюсайский | Аюсай | кар.-дол. | CB | 1,5 | 1,4 | 1,2 | 1,0 |
| 30* | № 30 | пр. р. Аюсай | вис. | C | 0,6 | 0,6 | 0,1 | 0,1 |
| | 17 ледников | | | | | | 14,8 | 13,3 |

Кроме того, в бассейне р. Джланды имеется 3 ледника размерами менее 0,1 км² каждый, общей площадью 0,2 км²

Итого 20 ледников

| | | | | | | 15,0 | 13,5 |

О ЛЕДНИКАХ

| Высота, м | | | Фирновая линия | | Площадь области аблации, км ² | | Ссылки на последующие таблицы (иллюстрации) № таблиц и иллюстраций | | |
|-------------------------------|--|----------------------|----------------|---------------------------|--|----------------------------|---|----|----|
| найменшей точки конца ледника | найменшей точки открытой части ледника | высшей точки ледника | высота, м | способ определения и дата | общая | в том числе открытой части | | | |
| 10 | 11 | 12 | 13 | 14 | 15 | 16 | Объем льда, км ³ | 17 | 18 |

(реки Хоргос, Или, оз. Балхаш)

западный склон Кизбайджалского отрога, восточный склон Кичик-Казанского отрога

| | | | | | | | | |
|--------------|--------------|--------------|---|---|-----|-----|--|--|
| 3580 3600 | 3580 3630 | 3820 4020 | — | — | 0,1 | 0,1 | | II/1, 2, 13; IV/15, 16 II/1, 2, 13; IV/15, 16 |
|--------------|--------------|--------------|---|---|-----|-----|--|--|

(реки Хоргос, Или, оз. Балхаш)

склон Кичик-Казанского отрога, восточный склон Тарысайского отрога

| | | | | | | | | |
|--------------|--------------|--------------|--------------|--|------------|------------|------|---|
| 3500 3310 | 3500 3360 | 3900 3900 | 3670 3590 | | 0,1 1,0 | 0,1 0,7 | 0,07 | II/1, 2, 13; IV/15, 16 II/1, 2, 13; IV/13, 15, 16; |
| 3400 | 3450 | 3960 | 3610 | | 1,1 | 0,6 | 0,04 | II/1, 2, 13; IV/13, 15, 16; V/17, 26 |
| 3470 | 3490 | 4010 | 3630 | | 1,4 | 1,0 | 0,06 | II/1, 2, 13; IV/13, 15, 16; V/17, 26 |
| 3490 | 3540 | 4090 | 3730 | | 0,5 | 0,3 | | II/1, 2, 13; IV/15, 16 |
| 3580 | 3670 | 3890 | 3770 | | 0,1 | 0,1 | | II/1, 2, 13; IV/15, 16 |
| 3460 | 3560 | 3930 | 3740 | | 0,2 | 0,1 | | II/1, 2, 13; IV/15, 16 |
| 3440 | 3500 | 4192 | 3710 | | 0,8 | 0,5 | | II/1, 2, 13; IV/15, 16 |
| 3720 | 3720 | 3940 | — | | — | — | | II/1, 2, 13; IV/15, 16 |
| 3440 | 3550 | 3982 | 3690 | | 0,5 | 0,3 | | II/1, 2, 13; IV/15, 16 |
| 3500 | 3540 | 3945 | 3710 | | 0,3 | 0,2 | | II/1, 2, 13; IV/15, 16 |

Казан, Хоргос, Или, оз. Балхаш)

склон Тарысайского отрога, восточный склон Джландинского отрога

| | | | | | | | | |
|--|--|--|--|--|---|---|------|--|
| 3440 3600 3540 3600 3790 3840 3640 3480 3380 3400 3470 3320 3300 3270 3540 3520 3340 3390 | 3480 3700 3550 3650 3960 3900 4010 3820 3420 4090 4100 3840 3957 3850 3780 3860 3820 3390 | 3940 3982 3970 4030 3880 — 3780 3600 1,2 1,4 1,1 0,4 0,3 0,1 0,2 0,6 0,1 | 3620 3780 3700 3760 3880 — 3780 3600 1,2 1,4 1,1 0,4 0,3 0,1 0,2 0,6 0,1 | | 0,2 0,1 0,2 0,1 0,6 0,1 0,3 0,3 1,2 1,4 1,1 0,4 0,3 0,1 0,2 0,6 0,1 | 0,1 0,1 0,1 0,1 0,6 0,1 0,2 0,2 0,8 0,9 0,7 0,1 0,2 0,1 0,1 0,4 0,1 | 0,09 | II/1, 2, 13 II/1, 2, 13; IV/13; V/17, 26 II/1, 2, 13; IV/13; V/17, 26 |
|--|--|--|--|--|---|---|------|--|

| № по схеме | Название | Название реки, вытекающей из ледника | Морфологический тип | Общая экспозиция | Наибольшая длина, км | | Площадь, км ² | |
|------------|----------|--------------------------------------|---------------------|------------------|----------------------|----------------------------|--------------------------|----------------------------|
| | | | | | Всего ледника | В том числе открытой части | Всего ледника | В том числе открытой части |
| 1 | 2 | 3 | 4 | 5 | 6 | 7 | 8 | 9 |

Бассейн р. Джильдайрык (реки Улькен-Южный склон Джунгарского Алатау (Южного Центрального хребта — Беджинтау),

| | | | | | | | | |
|------------|-------------|--------------------|-----------|----|-----|-----|------|------|
| 31* | № 31 | пр. р. Джильдайрык | пл.верш. | B | 1,5 | 1,0 | 0,3 | 0,2 |
| 32* | № 32 | пр. р. Джильдайрык | кар.-вис. | СВ | 1,0 | 0,8 | 0,3 | 0,3 |
| 33 | № 33 | пр. р. Джильдайрык | кар.-дол. | СВ | 1,9 | 1,6 | 1,0 | 0,8 |
| 34 | № 34 | пр. р. Джильдайрык | кар. | С3 | 0,6 | 0,6 | 0,4 | 0,4 |
| 35 | № 35 | пр. р. Джильдайрык | шлф. | С3 | 1,7 | 1,6 | 1,2 | 1,1 |
| 36* | № 36 | пр. р. Джильдайрык | кар.-вис. | С3 | 1,1 | 1,0 | 0,5 | 0,5 |
| 37 | № 37 | пр. р. Джильдайрык | дол. | 3 | 2,5 | 2,0 | 1,2 | 1,0 |
| 38 | № 38 | пр. р. Джильдайрык | шлф. | B | 2,4 | 1,4 | 2,1 | 1,5 |
| 39* | № 39 | пр. р. Джильдайрык | кар. | B | 1,6 | 1,4 | 0,8 | 0,6 |
| 40* | № 40 | пр. р. Джильдайрык | вис. | B | 0,9 | 0,9 | 0,3 | 0,3 |
| 41 | № 41 | пр. р. Джильдайрык | кар.-дол. | ЮВ | 2,4 | 1,9 | 1,3 | 1,1 |
| 42* | Аркашева | Джильдайрык | дол. | B | 4,4 | 4,1 | 6,0 | 5,5 |
| 43* | Джильдайрык | пр. р. Джильдайрык | шлф. | СВ | 1,8 | 1,6 | 1,5 | 1,3 |
| 44* | № 44 | пр. р. Джильдайрык | вис. | C | 0,6 | 0,6 | 0,5 | 0,5 |
| 45 | № 45 | пр. р. Джильдайрык | кар. | B | 1,2 | 1,2 | 0,3 | 0,3 |
| 46 | № 46 | пр. р. Джильдайрык | кар. | СВ | 1,4 | 1,2 | 0,7 | 0,6 |
| 47 | № 47 | пр. р. Джильдайрык | кар. | СВ | 1,4 | 1,3 | 1,0 | 0,8 |
| 48 | № 48 | пр. р. Джильдайрык | кар.-дол. | СВ | 2,2 | 1,8 | 1,3 | 0,9 |
| 49 | № 49 | пр. р. Джильдайрык | кар. | СВ | 1,0 | 0,6 | 0,5 | 0,4 |
| 50 | № 50 | пр. р. Джильдайрык | кар. | C | 0,9 | 0,7 | 0,5 | 0,4 |
| 51* | № 51 | пр. р. Джильдайрык | кар.-вис. | C | 1,0 | 0,9 | 0,3 | 0,3 |
| 52* | № 52 | пр. р. Джильдайрык | кар. | C | 1,4 | 1,2 | 0,5 | 0,4 |
| 53 | № 53 | пр. р. Джильдайрык | кар. | C | 1,5 | 1,2 | 0,6 | 0,5 |
| 54* | № 54 | пр. р. Джильдайрык | вис. | C | 0,7 | 0,6 | 0,2 | 0,2 |
| 24 ледника | | | | | | | 23,3 | 19,9 |

Кроме того в бассейне р. Джильдайрык имеется 4 ледника размерами менее 0,1 км² каждый, общей площадью 0,2 км²

Итого 28 ледников | | | | | | 23,5 | 20,1 |

Бассейн р. Зап. Сакоу (реки Улькен-Северо-восточный склон

| | | | | | | | | |
|-----------|-------|-------------------|------|---|-----|-----|-----|-----|
| 55* | № 55 | пр. р. Зап. Сакоу | вис. | C | 0,6 | 0,5 | 0,1 | 0,1 |
| 56 | Сакоу | Зап. Сакоу | шлф. | C | 1,1 | 1,0 | 0,7 | 0,6 |
| 57* | № 57 | пр. р. Зап. Сакоу | вис. | C | 0,7 | 0,6 | 0,1 | 0,1 |
| 3 ледника | | | | | | | 0,9 | 0,8 |

Кроме того, в бассейне р. Зап. Сакоу имеется 2 ледника размерами менее 0,1 км² каждый, общей площадью 0,1 км²

Итого 5 ледников | | | | | | 1,0 | 0,9 |

Бассейн р. Вост. Сакоу (реки Улькен-Северо-восточный склон Хоргосского

| | | | | | | | | |
|-----------|------|--------------------|------|----|-----|-----|-----|-----|
| 58* | № 58 | Вост. Сакоу | кар. | С3 | 1,5 | 1,5 | 0,5 | 0,5 |
| 59 | № 59 | пр. р. Вост. Сакоу | вис. | C | 0,8 | 0,8 | 0,2 | 0,2 |
| 60* | № 60 | пр. р. Вост. Сакоу | вис. | СВ | 1,0 | 1,0 | 0,2 | 0,2 |
| 3 ледника | | | | | | | 0,9 | 0,9 |

Бассейн р. Карсу (реки Восточный склон Хоргосского отрога, северный склон хр.

| | | | | | | | | |
|-----|------------|--------------|------|----|-----|-----|-----|-----|
| 61 | Кокжота | пр. р. Карсу | шлф. | СВ | 1,8 | 1,4 | 1,3 | 1,1 |
| 62 | № 62 | пр. р. Карсу | кар. | СВ | 1,6 | 1,3 | 0,8 | 0,6 |
| 63* | Каруский | Карсу | дол. | C | 3,0 | 2,4 | 1,6 | 1,4 |
| 64* | № 64 | пр. р. Карсу | кар. | B | 0,8 | 0,7 | 0,3 | 0,3 |
| 65 | № 65 | пр. р. Карсу | дол. | C | 2,3 | 1,8 | 1,6 | 1,3 |
| 66* | Амангельды | пр. р. Карсу | шлф. | B | 3,2 | 2,8 | 1,6 | 1,4 |
| 67 | Аузазова | пр. р. Карсу | дол. | СВ | 4,4 | 3,6 | 2,6 | 2,1 |
| 68* | № 68 | пр. р. Карсу | дол. | C | 2,8 | 2,1 | 1,2 | 1,0 |
| 69 | Хоргосский | пр. р. Карсу | дол. | С3 | 4,2 | 3,1 | 3,0 | 2,5 |
| 70* | № 70 | пр. р. Карсу | кар. | С3 | 1,2 | 1,0 | 0,3 | 0,2 |
| 71* | № 71 | пр. р. Карсу | кар. | С3 | 1,0 | 0,8 | 0,2 | 0,2 |
| 72 | № 72 | пр. р. Карсу | вис. | C | 1,0 | 0,8 | 0,4 | 0,3 |

| Высота, м | | | | | Фирновая линия | | Площадь области аблации, км ² | Ссылки на последующие таблицы (иллюстрации) № таблиц и иллюстраций |
|----------------------------|-------------------------------------|----------------------|-----------|---------------------------|----------------|----------------------------|--|---|
| низшей точки конца ледника | низшей точки открытой части ледника | высшей точки ледника | высота, м | способ определения и дата | общая | в том числе открытой части | Объем льда, км ³ | |
| 10 | 11 | 12 | 13 | 14 | 15 | 16 | 17 | 18 |

Казан, Хоргос, Или, оз. Балхаш)

западный склон Джландинского отрога, северо-восточный склон Хоргосского отрога

| | | | | | | | | |
|------|------|------|------|---|-----|-----|------|---|
| 3560 | 3700 | 3928 | 3790 | | 0,2 | 0,1 | | II/1, 2, 13 |
| 3600 | 3640 | 3880 | 3700 | | 0,1 | 0,1 | | II/1, 2, 13 |
| 3430 | 3470 | 3860 | 3600 | | 0,6 | 0,4 | | II/1, 2, 13 |
| 3800 | 3800 | 3966 | 3880 | | 0,1 | 0,1 | | II/1, 2, 13 |
| 3410 | 3460 | 3950 | 3610 | | 0,6 | 0,5 | | II/1, 2, 13 |
| 3580 | 3600 | 3860 | 3700 | | 0,2 | 0,2 | | II/1, 2, 13 |
| 3470 | 3540 | 4099 | 3740 | | 0,7 | 0,5 | | II/1, 2, 13 |
| 3400 | 3510 | 3960 | 3660 | | 1,2 | 0,6 | | II/1, 2, 13 |
| 3470 | 3500 | 3900 | 3660 | | 0,5 | 0,3 | | II/1, 2, 13 |
| 3470 | 3470 | 3830 | — | — | — | — | | II/1, 2, 13 |
| 3460 | 3500 | 3975 | 3630 | | 0,6 | 0,4 | | II/1, 2, 13 |
| 3260 | 3310 | 4010 | 3590 | | 2,9 | 2,4 | 0,35 | II/1, 2, 13; IV/10, 12, 13; V/5, 17, 26, 30 |
| 3300 | 3320 | 4020 | 3590 | | 0,7 | 0,5 | | II/1, 2, 13 |
| 3360 | 3360 | 3920 | 3620 | | 0,3 | 0,3 | | II/1, 2, 13 |
| 3540 | 3540 | 3922 | 3660 | | 0,1 | 0,1 | | II/1, 2, 13; IV/7, 31, 42 |
| 3510 | 3530 | 3820 | 3650 | | 0,3 | 0,2 | | II/1, 2, 13; IV/7, 31, 42 |
| 3340 | 3420 | 3870 | 3580 | | 0,5 | 0,3 | | II/1, 2, 13; IV/7, 31, 42 |
| 3330 | 3410 | 3850 | 3590 | | 0,8 | 0,4 | | II/1, 2, 13; IV/7, 31, 42 |
| 3420 | 3460 | 3765 | 3600 | | 0,2 | 0,1 | | II/1, 2, 13 |
| 3320 | 3390 | 3660 | 3540 | | 0,3 | 0,2 | | II/1, 2, 13 |
| 3400 | 3420 | 3700 | 3510 | | 0,1 | 0,1 | | II/1, 2, 13 |
| 3290 | 3360 | 3810 | 3520 | | 0,2 | 0,1 | | II/1, 2, 13 |
| 3170 | 3340 | 3820 | 3560 | | 0,3 | 0,2 | | II/1, 2, 13 |
| 3430 | 3450 | 3640 | 3510 | | 0,1 | 0,1 | | II/1, 2, 13 |

Казан, Хоргос, Или, оз. Балхаш)

Хоргосского отрога

| | | | | | | | | |
|------|------|------|------|---|-----|-----|--|------------------------|
| 3320 | 3380 | 3560 | — | — | 0,1 | 0,1 | | II/1, 2, 13 |
| 3200 | 3280 | 3740 | 3500 | — | 0,4 | 0,3 | | II/1, 2, 13; IV/9; V/2 |
| 3120 | 3180 | 3460 | — | — | 0,1 | 0,1 | | II/1, 2, 13; IV/9; V/2 |

Казан, Хоргос, Или, оз. Балхаш)

отрога, северный склон отрога Кокжота

| | | | | | | | | |
|------|------|------|------|--|-----|-----|--|------------------------|
| 3320 | 3320 | 3730 | 3500 | | 0,3 | 0,3 | | II/1, 2, 13; IV/9; V/2 |
| 3260 | 3260 | 3720 | 3480 | | 0,1 | 0,1 | | II/1, 2, 13 |
| 3400 | 3400 | 3740 | 3560 | | 0,1 | 0,1 | | II/1, 2, 13 |

Хоргос, Или, оз. Балхаш)

Тышкантай, западный склон Карсуского отрога

| | | | | | | | | |
|------|------|------|------|--|-----|-----|------|------------------------|
| 3120 | 3260 | 3970 | 3520 | | 0,7 | 0,5 | | II/1, 2, 13; IV/15, 16 |
| 3200 | 3280 | 4120 | 3620 | | 0,4 | 0,2 | | II/1, 2, 13; IV/15, 16 |
| 3035 | 3180 | 4100 | 3630 | | 0,6 | 0,4 | | II/1, 2, 13; IV/15, 16 |
| 3400 | 3520 | 4020 | 3740 | | 0,1 | 0,1 | | II/1, 2, 13; IV/15, 16 |
| 3260 | 3360 | 4100 | 3690 | | 0,7 | 0,4 | | II/1, 2, 13; IV/15, 16 |
| 3380 | 3470 | 4280 | 3660 | | 0,6 | 0,4 | | II/1, 2, 13; IV/15, 16 |
| 3065 | 3230 | 4280 | 3680 | | 1,2 | 0,7 | 0,08 | II/1, 2, 13; IV/15, 16 |
| 3200 | 3380 | 4030 | 3690 | | 0,6 | 0,4 | 0,03 | II/1, 2, 13; IV/15, 16 |
| 3080 | 3380 | 4240 | 3690 | | 1,5 | 1,0 | 0,11 | II/1, 2, 13; IV/15, 16 |
| 3550 | 3680 | 4240 | 3880 | | 0,2 | 0,1 | | II/1, 2, 13; IV/15, 16 |
| 3520 | 3590 | 4020 | 3770 | | 0,1 | 0,1 | | II/1, 2, 13; IV/15, 16 |
| 3440 | 3520 | 4010 | 3740 | | 0,2 | 0,1 | | II/1, 2, 13; IV/15, 16 |

| № по схеме | Название | Название реки, вытекающей из ледника | Морфологический тип | Общая экспозиция | Наибольшая длина, км | | Площадь, км ² | |
|-------------|------------|--------------------------------------|---------------------|------------------|----------------------|----------------------------|--------------------------|----------------------------|
| | | | | | Всего ледника | в том числе открытой части | Всего ледника | в том числе открытой части |
| 1 | 2 | 3 | 4 | 5 | 6 | 7 | 8 | 9 |
| 73 | Сейфуллина | пр. р. Карсу | дол. | C | 3,3 | 2,7 | 2,3 | 2,0 |
| 74 | № 74 | пр. р. Карсу | кар. | C3 | 2,0 | 1,6 | 1,4 | 1,2 |
| 75* | № 75 | пр. р. Карсу | вис. | C | 0,5 | 0,5 | 0,1 | 0,1 |
| 76* | № 76 | пр. р. Карсу | вис. | CB | 0,7 | 0,7 | 0,2 | 0,2 |
| 16 ледников | | | | | | | 18,9 | 15,9 |

Кроме того, в бассейне р. Карсу имеется 14 ледников размерами менее 0,1 км² каждый, общей площадью 0,8 км²

Итого 30 ледников

Бассейн р. Нойза-Чоко (реки

Восточный склон Карсуйского отрога,

| | | | | | | | | |
|------------|-------------------|-------------------|-----------|----|-----|-----|------|------|
| 77 | Нойза-Чоко | пр. р. Нойза-Чоко | кар. | CB | 2,0 | 1,6 | 1,1 | 0,9 |
| 78* | № 78 | пр. р. Нойза-Чоко | вис. | C | 0,6 | 0,6 | 0,1 | 0,1 |
| 79* | № 79 | пр. р. Нойза-Чоко | дол. | CB | 2,4 | 1,9 | 1,1 | 0,8 |
| 80* | № 80 | пр. р. Нойза-Чоко | вис. | CB | 0,7 | 0,7 | 0,2 | 0,2 |
| 81* | 50 лет Казахстана | Нойза-Чоко | сл.дол. | CB | 5,4 | 4,5 | 5,6 | 4,8 |
| 82* | № 82 | пр. р. Нойза-Чоко | вис. | C | 1,0 | 1,0 | 0,2 | 0,2 |
| 83* | Шаталова | пр. р. Нойза-Чоко | дол. | C | 3,5 | 2,8 | 2,2 | 1,7 |
| 84* | № 84 | пр. р. Нойза-Чоко | кар.-дол. | CB | 2,0 | 1,7 | 1,0 | 0,7 |
| 85 | Сторожевой | пр. р. Нойза-Чоко | дол. | C | 2,2 | 1,7 | 1,5 | 1,1 |
| 9 ледников | | | | | | | 13,0 | 10,5 |

Кроме того, в бассейне р. Нойза-Чоко имеется 3 ледника размерами менее 0,1 км² каждый, общей площадью 0,2 км²

Итого 12 ледников

В бассейне безымянного правого притока р. Хоргоса, расположенного южнее бассейна р. Нойза-Чоко, имеется

Бассейн р. Сарткипе (реки

Южный склон хр. Тышкантая, восточный и

| | | | | | | | | |
|------------|--------------|-----------------|-----------|----|-----|-----|-----|-----|
| 86 | № 86 | пр. р. Сарткипе | кар. | ЮВ | 1,3 | 1,0 | 0,4 | 0,3 |
| 87 | № 87 | пр. р. Сарткипе | кар. | ЮВ | 1,2 | 1,1 | 0,3 | 0,2 |
| 88 | Узкоморенный | пр. р. Сарткипе | кар.-дол. | ЮВ | 1,6 | 1,4 | 0,7 | 0,5 |
| 89* | № 89 | пр. р. Сарткипе | кар.-вис. | B | 0,7 | 0,5 | 0,2 | 0,2 |
| 90 | Сарткипе | Сарткипе | кар. | CB | 1,5 | 1,3 | 0,7 | 0,5 |
| 91* | № 91 | пр. р. Сарткипе | кар. | CB | 0,9 | 0,7 | 0,2 | 0,2 |
| 92* | № 92 | пр. р. Сарткипе | кар. | C | 0,7 | 0,4 | 0,2 | 0,2 |
| 7 ледников | | | | | | | 2,7 | 2,1 |

Кроме того, в бассейне р. Сарткипе имеется 2 ледника размерами менее 0,1 км² каждый, общей площадью 0,1 км²

Итого 9 ледников

Бассейн р. Каскабулак (реки

Южный склон хр. Тышкантая, восточ

| | | | | | | | | |
|------------|------------|-------------------|------------|----|-----|-----|------|-----|
| 93* | № 93 | пр. р. Каскабулак | кар.-дол. | ЮВ | 2,0 | 1,8 | 1,0 | 0,8 |
| 94* | Панфилова | Каскабулак | дол. | ЮВ | 4,9 | 4,3 | 5,3 | 4,2 |
| 95* | Каскабулак | пр. р. Каскабулак | шлф. | B | 1,9 | 1,3 | 3,1 | 2,0 |
| 96 | № 96 | пр. р. Каскабулак | кар. | CB | 1,7 | 1,0 | 0,6 | 0,3 |
| 97 | № 97 | пр. р. Каскабулак | кар. | B | 1,9 | 1,4 | 0,8 | 0,5 |
| 98 | № 98 | пр. р. Каскабулак | асимм.кар. | CB | 1,6 | 1,3 | 0,5 | 0,4 |
| 99 | № 99 | пр. р. Каскабулак | асимм.кар. | CB | 2,2 | 1,5 | 0,7 | 0,5 |
| 100 | № 100 | пр. р. Каскабулак | асимм.кар. | CB | 2,3 | 1,8 | 0,8 | 0,5 |
| 8 ледников | | | | | | | 12,8 | 9,2 |

Кроме того, в бассейне р. Каскабулак имеется 1 ледник размером менее 0,1 км² площадью 0,1 км²

Итого 9 ледников

Всего в бассейне р. Хоргоса 139 ледников общей площадью 100,4 км², в том числе 100 ледников с площадью 0,1 км²

| Высота, м | | | | Фирновая линия | | Площадь области аблации, км ² | | Ссылки на последующие таблицы (иллюстрации) № таблиц и иллюстраций |
|----------------------------|-------------------------------------|----------------------|-----------|---------------------------|-------|--|-----------------------------|---|
| Низшей точки конца ледника | Низшей точки открытой части ледника | высшей точки ледника | высота, м | способ определения и дата | общая | в том числе открытой части | Объем льда, км ³ | |
| 10 | 11 | 12 | 13 | 14 | 15 | 16 | 17 | 18 |
| 3070 | 3190 | 4250 | 3660 | | 1,0 | 0,7 | 0,08 | II/1, 2, 13; IV/15, 16 |
| 3000 | 3080 | 3860 | 3410 | | 0,6 | 0,4 | | II/1, 2, 13; IV/15, 16 |
| 3520 | 3520 | 3760 | — | | 0,1 | 0,1 | | II/1, 2, 13; IV/15, 16 |
| 3520 | 3520 | 3740 | 3650 | | 0,1 | 0,1 | | II/1, 2, 13; IV/15, 16 |

Хоргос, Или, оз. Балхаш)

северный склон хр. Тышкантая

| | | | | | | | | |
|------|------|------|------|--|-----|-----|------|------------------------|
| 3150 | 3280 | 3640 | 3450 | | 0,6 | 0,4 | | II/1, 2, 13; IV/15, 16 |
| 3240 | 3240 | 3440 | — | | 0,1 | 0,1 | | II/1, 2, 13; IV/15, 16 |
| 3280 | 3440 | 3980 | 3670 | | 0,7 | 0,4 | | II/1, 2, 13; IV/15, 16 |
| 3710 | 3710 | 3940 | — | | — | — | | II/1, 2, 13; IV/15, 16 |
| 2940 | 3100 | 4240 | 3690 | | 2,4 | 1,6 | 0,28 | II/1, 2, 13; IV/15, 16 |
| 3400 | 3400 | 3960 | 3700 | | 0,1 | 0,1 | | II/1, 2, 13; IV/15, 16 |
| 3070 | 3310 | 4359 | 3800 | | 1,1 | 0,6 | 0,06 | II/1, 2, 13; IV/15, 16 |
| 3360 | 3440 | 4359 | 3690 | | 0,6 | 0,3 | | II/1, 2, 13; IV/15, 16 |
| 3230 | 3340 | 3720 | 3520 | | 0,9 | 0,5 | 0,03 | II/1, 2, 13; IV/15, 16 |

3 ледника размерами менее 0,1 км² каждый, общей площадью 0,1 км²

Хоргос, Или, оз. Балхаш)

северный склон Арасанского отрога

| | | | | | | | | |
|------|------|------|------|--|-----|-----|--|-------------|
| 3550 | 3660 | 4359 | 3800 | | 0,2 | 0,1 | | II/1, 2, 13 |
| 3550 | 3620 | 4359 | 3800 | | 0,2 | 0,1 | | II/1, 2, 13 |
| 3720 | 3870 | 4300 | 3960 | | 0,4 | 0,2 | | II/1, 2, 13 |
| 3740 | 3820 | 4040 | 3910 | | 0,1 | 0,1 | | II/1, 2, 13 |
| 3000 | 3100 | 3860 | 3450 | | 0,4 | 0,2 | | II/1, 2, 13 |
| 3110 | 3180 | 3680 | 3410 | | 0,1 | 0,1 | | II/1, 2, 13 |
| 3000 | 3100 | 3360 | — | | 0,2 | 0,2 | | II/1, 2, 13 |

Хоргос, Или, оз. Балхаш)

ный склон Каскабулакского отрога

| | | | | | | | | |
|------|------|------|------|--|-----|-----|------|-------------|
| 3750 | 3780 | 4180 | 3960 | | 0,6 | 0,4 | | II/1, 2, 13 |
| 3570 | 3680 | 4200 | 3940 | | 2,5 | 1,4 | | II/1, 2, 13 |
| 3350 | 3390 | 3960 | 3660 | | 2,2 | 1,1 | | II/1, 2, 13 |
| 3270 | 3300 | 3630 | 3450 | | 0,5 | 0,2 | | II/1, 2, 13 |
| 3100 | 3280 | 3920 | 3570 | | 0,5 | 0,2 | | II/1, 2, 13 |
| 3120 | 3330 | 3940 | 3590 | | 0,3 | 0,2 | | II/1, 2, 13 |
| 3000 | 3280 | 3840 | 3500 | | 0,4 | 0,2 | | II/1, 2, 13 |
| 3000 | 3170 | 3780 | 3500 | | 0,6 | 0,3 | 0,23 | II/1, 2, 13 |

и более каждый, занимают 98,1 км² (из них 16,8 км² покрыто мореной) и 39 ледников с площадью менее 0,1 км² каждый занимают 2,3 км²

| № по схеме | Название | Название реки, вытекающей из ледника | Морфологический тип | Общая экспозиция | Наибольшая длина, км | | Площадь, км ² | |
|------------|----------|--------------------------------------|---------------------|------------------|----------------------|----------------------------|--------------------------|----------------------------|
| | | | | | Всего ледника | в том числе открытой части | Всего ледника | в том числе открытой части |
| 1 | 2 | 3 | 4 | 5 | 6 | 7 | 8 | 9 |

Бассейн р. Чижина (в ирригационные каналы)

Южный склон хр. Тышкантая, западный склон Каскабу

| | | | | | | | | |
|------------|-----------|---------------|------------|----|-----|-----|------|------|
| 101 | Кара-Чоку | пр. р. Чижина | кар.-дол. | C3 | 2,2 | 1,8 | 1,0 | 0,7 |
| 102* | Воейкова | Чижин | сл.дол. | Ю | 8,6 | 8,0 | 13,6 | 13,1 |
| 103 | № 103 | пр. р. Чижина | асимм.кар. | ЮВ | 2,6 | 2,1 | 0,7 | 0,5 |
| 104* | № 104 | пр. р. Чижина | кар. | В | 1,0 | 0,8 | 0,2 | 0,2 |
| 105* | № 105 | пр. р. Чижина | кар. | Ю | 1,0 | 0,6 | 0,2 | 0,2 |
| 106 | № 106 | пр. р. Чижина | кар.-дол. | ЮВ | 1,3 | 1,0 | 0,4 | 0,3 |
| 107 | № 107 | пр. р. Чижина | шлф. | СВ | 2,8 | 2,0 | 1,0 | 0,7 |
| 108 | Чижинский | пр. р. Чижина | шлф. | СВ | 2,8 | 2,2 | 1,2 | 0,9 |
| 109* | № 109 | пр. р. Чижина | кар. | ЮВ | 0,7 | 0,6 | 0,2 | 0,2 |
| 9 ледников | | | | | | | 18,5 | 16,8 |

Кроме того в бассейне р. Чижина имеется 3 ледника размером менее 0,1 км² каждый, общей площадью 0,2 км²

Итого 12 ледников

Всего в бассейне р. Чижина 12 ледников общей площадью 18,7 км², в том числе 9 ледников с площадью 0,1 км² и более

Бассейн р. Тышкана (в ирригационные каналы)

Южный склон хр. Тышкантая, западный склон Чижинск

| | | | | | | | | |
|-------------|----------------|----------------------|-----------|----|-----|-----|------|------|
| 110* | Нарынский | Нарын | кар. | ЮЗ | 1,5 | 1,1 | 0,5 | 0,4 |
| 111 | № 111 | пр. р. Тышкана | кар.-дол. | С | 1,2 | 1,0 | 0,3 | 0,2 |
| 112 | № 112 | пр. р. Тышкана | кар.-дол. | С | 1,6 | 1,1 | 0,7 | 0,5 |
| 113* | № 113 | пр. р. Тышкана | кар. | С3 | 0,9 | 0,6 | 0,2 | 0,2 |
| 114* | № 114 | пр. р. Тышканбас | дол. | С | 2,1 | 1,8 | 1,5 | 1,3 |
| 115 | Дмитриева | пр. р. Тышканбас | дол. | С | 4,0 | 2,6 | 2,8 | 2,1 |
| 116 | № 116 | пр. р. Тышканбас | шлф. | С3 | 3,2 | 2,1 | 1,6 | 1,3 |
| 117* | № 117 | пр. р. Тышканбас | вис. | 3 | 0,6 | 0,6 | 0,1 | 0,1 |
| 118* | № 118 | пр. р. Тышканбас | вис. | С3 | 1,3 | 0,7 | 0,3 | 0,2 |
| 119* | № 119 | пр. р. Тышканбас | кар.-вис. | С3 | 1,0 | 1,0 | 0,2 | 0,2 |
| 120 | № 120 | Тышканбас | кар.-дол. | 3 | 2,4 | 1,9 | 1,3 | 1,1 |
| 121* | № 121 | пр. р. Тышканбас | кар. | ЮЗ | 2,3 | 1,7 | 0,9 | 0,6 |
| 122 | № 122 | пр. р. Тышканбас | дол. | ЮЗ | 1,8 | 1,4 | 0,7 | 0,5 |
| 123* | № 123 | пр. р. Тышканбас | кар. | ЮЗ | 1,1 | 0,9 | 0,3 | 0,2 |
| 124* | № 124 | пр. р. Тышканбас | кар. | ЮВ | 1,6 | 0,8 | 0,3 | 0,2 |
| 125 | № 125 | пр. р. Тышканбас | дол. | Ю | 3,0 | 2,2 | 2,3 | 1,9 |
| 126* | № 126 | пр. р. Тышканбас | кар. | СВ | 1,0 | 0,8 | 0,3 | 0,2 |
| 127 | Маяк восточный | пр. р. Тышкана | дол. | Ю | 3,0 | 2,6 | 1,6 | 1,4 |
| 128 | № 128 | пр. р. Тышкана | кар. | 3 | 1,1 | 0,8 | 0,3 | 0,2 |
| 129* | № 129 | пр. р. Тышкана | кар. | С3 | 1,5 | 1,2 | 0,4 | 0,4 |
| 130 | № 130 | пр. р. Тышкана | кар.-дол. | 3 | 3,2 | 2,3 | 1,4 | 1,2 |
| 131* | № 131 | пр. р. Тышкана | кар.-вис. | 3 | 1,5 | 1,1 | 0,3 | 0,2 |
| 132* | № 132 | пр. р. Тышкана | кар.-вис. | 3 | 0,8 | 0,6 | 0,2 | 0,2 |
| 133 | Тышкан | Тышкан | дол. | ЮВ | 3,7 | 3,0 | 2,5 | 2,1 |
| 134* | № 134 | пр. р. Тышкана | вис.кар. | В | 1,0 | 1,0 | 0,8 | 0,8 |
| 135 | № 135 | пр. р. Тышкана | кар.-дол. | В | 2,2 | 1,5 | 0,6 | 0,4 |
| 136 | № 136 | пр. р. Тышкана | кар. | В | 1,6 | 1,2 | 0,4 | 0,3 |
| 137 | № 137 | пр. р. Тышкана | кар. | В | 1,4 | 1,1 | 0,4 | 0,3 |
| 138 | № 138 | пр. р. Тышкана | кар. | В | 1,6 | 1,0 | 0,5 | 0,3 |
| 139 | Маяк западный | пр. р. Куюды-Карасай | дол. | ЮЗ | 2,4 | 2,0 | 1,0 | 0,9 |
| 140* | № 140 | пр. р. Куюды-Карасай | кар. | С3 | 1,0 | 0,7 | 0,2 | 0,1 |
| 141* | № 141 | пр. р. Куюды-Карасай | кар. | С3 | 1,1 | 0,6 | 0,2 | 0,1 |
| 142 | № 142 | пр. р. Куюды-Карасай | кар.-дол. | С3 | 2,0 | 1,6 | 0,8 | 0,7 |
| 143* | № 143 | Куюды-Карасай | дол. | 3 | 2,2 | 2,0 | 1,2 | 1,2 |
| 144* | № 144 | пр. р. Куюды-Карасай | кар. | 3 | 0,7 | 0,5 | 0,1 | 0,1 |
| 145* | № 145 | пр. р. Куюды-Карасай | вис. | СВ | 0,8 | 0,6 | 0,2 | 0,2 |
| 146 | № 146 | пр. р. Куюды-Карасай | шлф. | В | 1,7 | 1,2 | 0,7 | 0,4 |
| 147 | № 147 | пр. р. Куюды-Карасай | кар.-дол. | СВ | 1,8 | 1,4 | 0,7 | 0,5 |
| 38 ледников | | | | | | | 28,8 | 23,2 |

Кроме того, в бассейне р. Тышкана имеется 11 ледников размерами менее 0,1 км² каждый, общей площадью 0,7 км²

Итого 49 ледников

Всего в бассейне р. Тышкана 49 ледников общей площадью 29,5 км², в том числе 38 ледников с площадью 0,1 км² и более

| Высота, м | | | Фирновая линия | | Площадь области аблации, км ² | | Объем льда, км ³ | Ссылки на последующие таблицы (иллюстрации) № таблиц и иллюстраций |
|-----------|----|----|----------------|----|--|----------------------------|-----------------------------|---|
| 10 | 11 | 12 | 13 | 14 | общая | в том числе открытой части | | |
| | | | | | | | | порядковые № сведений в таблицах |
| | | | | | | | | 18 |

и грунтовый сток в р. Или, оз. Балхаш)

лакского отрого, восточный склон Чижинского отрого

| | | | | | | | | |
|------|------|------|------|--|-----|-----|------|--|
| 2950 | 3110 | 3700 | 3390 | | 0,6 | 0,3 | 1,28 | II/3, 13 II/3, 13 II/3, 13 II/3, 13 II/3, 13 II/3, 13 II/3, 13 II/3, 13 II/3, 13 II/3, 13 |
| 2720 | 3070 | 4250 | 3580 | | 5,5 | 5,0 | | |
| 2960 | 3260 | 4160 | 3590 | | 0,5 | 0,3 | | |
| 3360 | 3460 | 3670 | 3580 | | 0,1 | 0,1 | | |
| 3550 | 3660 | 3890 | 3740 | | 0,1 | 0,1 | | |
| 3440 | 3510 | 3820 | 3620 | | 0,2 | 0,1 | | |
| 3200 | 3390 | 3970 | 3630 | | 0,7 | 0,4 | | |
| 3030 | 3240 | 3900 | 3540 | | 0,8 | 0,5 | | |
| 3500 | 3540 | 3860 | — | | — | — | | |

занимают 18,5 км² (из них 1,7 км² покрыто мореной) и 3 ледника с площадью менее 0,1 км² каждый занимают 0,2 км²

и грунтовый сток в р. Или, оз. Балхаш)

отрого, восточный склон Бурханского отрого

| | | | | | | | | |
|------|------|------|------|--|-----|-----|------|--|
| 3380 | 3500 | 3860 | 3620 | | 0,3 | 0,2 | 0,04 | II/4—6, 13 II/4—6, 13; IV/4; V/8 |
| 3120 | 3210 | 3635 | 3430 | | 0,2 | 0,1 | | |
| 3100 | 3180 | 3640 | 3410 | | 0,4 | 0,2 | 0,04 | II/4—6, 13; IV/4; V/8 |
| 3240 | 3280 | 3640 | 3390 | | 0,1 | 0,1 | | |
| 3230 | 3280 | 3840 | 3520 | | 0,8 | 0,6 | 0,04 | II/4—6, 13; IV/4; V/8 |
| 2940 | 3300 | 4160 | 3560 | | 1,8 | 1,1 | | |
| 3080 | 3320 | 4160 | 3560 | | 0,9 | 0,6 | 0,04 | II/4—6, 13; IV/4, 5; V/8, 19 II/4—6, 13; IV/4, 5; V/8, 19 |
| 3650 | 3650 | 3970 | — | | — | — | | |
| 3210 | 3440 | 3960 | 3680 | | 0,2 | 0,1 | 0,04 | II/4—6, 13; IV/4; V/8 |
| 3400 | 3400 | 4020 | 3730 | | 0,1 | 0,1 | | |
| 3220 | 3340 | 4020 | 3630 | | 0,6 | 0,4 | 0,04 | II/4—6, 13; IV/4; V/8 |
| 3380 | 3510 | 3940 | 3670 | | 0,4 | 0,1 | | |
| 3220 | 3550 | 3940 | 3690 | | 0,5 | 0,3 | 0,04 | II/4—6, 13; IV/4; V/8 |
| 3550 | 3590 | 4000 | 3770 | | 0,2 | 0,1 | | |
| 3420 | 3570 | 3900 | 3700 | | 0,2 | 0,1 | 0,04 | II/4—6, 13; IV/4; V/8 |
| 3260 | 3560 | 4280 | 3820 | | 1,3 | 0,9 | | |
| 3380 | 3500 | 3962 | 3670 | | 0,2 | 0,1 | 0,04 | II/4—6, 13; IV/4; V/8 |
| 3160 | 3360 | 4260 | 3810 | | 1,0 | 0,8 | | |
| 3160 | 3360 | 3940 | 3680 | | 0,2 | 0,1 | 0,04 | II/4—6, 13; IV/4; V/8 |
| 3320 | 3380 | 4200 | 3680 | | 0,2 | 0,2 | | |
| 3180 | 3400 | 4250 | 3710 | | 0,7 | 0,5 | 0,04 | II/4—6, 13; IV/4; V/8 |
| 3320 | 3460 | 4100 | 3660 | | 0,2 | 0,1 | | |
| 3550 | 3640 | 4000 | 3770 | | 0,1 | 0,1 | 0,04 | II/4—6, 13; IV/4; V/8 |
| 3230 | 3300 | 4220 | 3670 | | 1,2 | 0,8 | | |
| 3410 | 3410 | 4180 | 3750 | | 0,3 | 0,3 | 0,04 | II/4—6, 13; IV/4; V/8 |
| 3140 | 3330 | 3960 | 3580 | | 0,4 | 0,2 | | |
| 3080 | 3320 | 4040 | 3610 | | 0,3 | 0,2 | 0,04 | II/4—6, 13; IV/4; V/8 |
| 3100 | 3320 | 3810 | 3580 | | 0,2 | 0,1 | | |
| 3040 | 3320 | 3720 | 3540 | | 0,3 | 0,1 | 0,04 | II/4—6, 13; IV/4; V/8 |
| 3300 | 3440 | 4040 | 3660 | | 0,5 | 0,4 | | |
| 3240 | 3480 | 3950 | 3710 | | 0,1 | — | 0,04 | II/4—6, 13 |
| 3300 | 3560 | 3920 | 3750 | | 0,1 | — | | |
| 3220 | 3330 | 3980 | 3560 | | 0,3 | 0,2 | 0,04 | II/4—6, 13 |
| 3320 | 3340 | 4040 | 3650 | | 0,4 | 0,4 | | |
| 3680 | 3720 | 3970 | — | | — | — | 0,04 | II/4—6, 13 |
| 3600 | 3610 | 3980 | 3780 | | 0,1 | 0,1 | | |
| 3190 | 3340 | 3760 | 3550 | | 0,5 | 0,2 | 0,04 | II/4—6, 13 |
| 3190 | 3290 | 3800 | 3510 | | 0,4 | 0,2 | | |

занимают 28,8 км² (из них 5,6 км² покрыто мореной) и 11 ледников с площадью менее 0,1 км² каждый занимают 0,7 км²

| № по схеме | Название | Название реки, вытекающей из ледника | Морфологический тип | Общая экспозиция | Наибольшая длина, км | | Площадь, км ² | |
|------------|----------|--------------------------------------|---------------------|------------------|----------------------|----------------------------|--------------------------|----------------------------|
| | | | | | Всего ледника | в том числе открытой части | всего ледника | в том числе открытой части |
| 1 | 2 | 3 | 4 | 5 | 6 | 7 | 8 | 9 |

**Бассейн р. Бурхана (в ирригационные каналы
Южный склон хр. Тышкантай, запад**

| | | | | | | | | |
|------------|------------|-------------------------|------|----|-----|-----|-----|-----|
| 148 | Манджу | пр. р. Большого Бурхана | кар. | C3 | 1,1 | 0,9 | 0,8 | 0,6 |
| 149* | № 149 | пр. р. Большого Бурхана | кар. | 3 | 0,4 | 0,2 | 0,2 | 0,2 |
| 150 | № 150 | пр. р. Большого Бурхана | кар. | C3 | 0,8 | 0,6 | 0,3 | 0,2 |
| 151* | Бурханский | Большой Бурхан | кар. | C3 | 1,2 | 1,0 | 0,4 | 0,4 |
| 152 | № 152 | Малый Бурхан | кар. | C | 1,0 | 0,7 | 0,3 | 0,2 |
| 5 ледников | | | | | | | 2,0 | 1,6 |

Кроме того, в бассейне р. Бурхана имеется 3 ледника размерами менее 0,1 км² каждый, общей площадью 0,2 км²

Итого 8 ледников | | | | | | 2,2 | 1,8 |

Всего в бассейне р. Бурхана 8 ледников общкой площадью 2,2 км², в том числе 5 ледников с площадью 0,1 км² и более

Бассейн левого притока р. Большого Усека ниже устья

Северный склон

| | | | | | | | | |
|------|----------|-----------------------|------|---|-----|-----|-----|-----|
| 153* | № 153 | пр. р. Большого Усека | кар. | C | 0,8 | 0,6 | 0,2 | 0,1 |
| | 1 ледник | | | | | | 0,2 | 0,1 |

Бассейн р. Саргир (реки Большой

Северный склон хр. Тышкантай, западный склон Хоргос

| | | | | | | | | |
|------------|-------------|-------------------|-----------|----|-----|-----|------|------|
| 154* | № 154 | Чиликсай | кар. | C | 0,6 | 0,4 | 0,2 | 0,2 |
| 155 | № 155 | пр. р. Чиликсай | кар. | C | 1,2 | 0,9 | 0,4 | 0,3 |
| 156 | № 156 | пр. р. Чиликсай | кар. | C3 | 1,0 | 0,6 | 0,3 | 0,2 |
| 157* | № 157 | пр. р. Чиликсай | кар.-вис. | C3 | 0,6 | 0,6 | 0,4 | 0,3 |
| 158* | № 158 | пр. р. Чиликсай | вис. | C3 | 0,8 | 0,8 | 0,2 | 0,2 |
| 159 | Байсентовой | Чиликсай 1 | дол. | C3 | 2,5 | 1,8 | 1,3 | 1,1 |
| 160 | № 160 | пр. р. Чиликсай 2 | дол. | C | 2,0 | 1,6 | 1,0 | 0,8 |
| 161 | № 161 | пр. р. Чиликсай 2 | дол. | C | 2,3 | 1,9 | 1,0 | 0,9 |
| 162 | № 162 | Чиликсай 2 | дол. | C3 | 2,4 | 2,0 | 1,6 | 1,4 |
| 163 | № 163 | пр. р. Саргир | дол. | C | 2,4 | 1,6 | 1,1 | 0,8 |
| 164 | Саргир | пр. р. Саргир | дол. | C | 2,8 | 2,2 | 1,9 | 1,5 |
| 165* | № 165 | пр. р. Саргир | кар. | C3 | 1,2 | 1,0 | 0,5 | 0,5 |
| 166 | № 166 | пр. р. Саргир | кар. | C3 | 1,4 | 0,8 | 0,3 | 0,2 |
| 167 | № 167 | пр. р. Саргир | кар.-дол. | C3 | 1,8 | 1,5 | 0,5 | 0,4 |
| 168 | № 168 | пр. р. Саргир | дол. | C3 | 2,7 | 2,2 | 1,6 | 1,3 |
| 169 | № 169 | пр. р. Каскабулак | кар. | C | 1,2 | 1,0 | 0,4 | 0,3 |
| 170 | № 170 | пр. р. Каскабулак | дол. | C | 2,8 | 2,4 | 1,6 | 1,3 |
| 171* | № 171 | пр. р. Каскабулак | кар. | C3 | 1,3 | 1,3 | 0,5 | 0,5 |
| 172* | № 172 | пр. р. Каскабулак | кар. | C | 0,8 | 0,8 | 0,2 | 0,2 |
| 173 | № 173 | Каскабулак | кар.-дол. | C | 1,8 | 1,4 | 1,2 | 1,0 |
| 174 | № 174 | Саргир | вис. | CB | 0,6 | 0,6 | 0,2 | 0,2 |
| 175 | № 175 | пр. р. Саргир | кар.-дол. | B | 1,5 | 1,2 | 0,7 | 0,6 |
| 22 ледника | | | | | | | 17,1 | 14,2 |

Кроме того, в бассейне р. Саргир имеется 9 ледников размерами менее 0,1 км² каждый, общей площадью 0,5 км²

Итого 31 ледник | | | | | | 17,6 | 14,7 |

Бассейн левого притока р. Большого Усека между устьями рек Малый

Северо-западный склон

| | | | | | | | | |
|-----|----------|-----------------------|-----------|---|-----|-----|-----|-----|
| 176 | № 176 | пр. р. Большого Усека | кар.-дол. | 3 | 1,4 | 1,2 | 0,6 | 0,5 |
| | 1 ледник | | | | | | 0,6 | 0,5 |

| Высота, м | | | Фирновая линия | | Площадь области аблации, км ² | | Ссылки на последующие таблицы (иллюстрации) № таблиц и иллюстраций | |
|----------------------------|-------------------------------------|----------------------|----------------|---------------------------|--|----------------------------|---|----|
| нижней точки конца ледника | нижней точки открытой части ледника | высшей точки ледника | высота, м | способ определения и дата | общая | в том числе открытой части | | |
| 10 | 11 | 12 | 13 | 14 | 15 | 16 | 17 | 18 |

и грунтовый сток в р. Или, оз. Балхаш)

ный склон Бурханского отрого

| | | | | | | | | |
|------|------|------|------|--|-----|-----|--|---------------------------|
| 3300 | 3420 | 3820 | 3580 | | 0,5 | 0,3 | | II/7—10, 13 |
| 3470 | 3520 | 3740 | 3600 | | 0,1 | 0,1 | | II/7—10, 13 |
| 3400 | 3490 | 3740 | 3590 | | 0,2 | 0,1 | | II/7—10, 13 |
| 3430 | 3490 | 3970 | 3670 | | 0,2 | 0,2 | | II/7—10, 13; IV/6, 9; V/2 |
| 3320 | 3430 | 3640 | 3510 | | 0,2 | 0,1 | | II/7—10, 13; IV/9; V/2 |

занимают 2,0 км² (из них 0,4 км² покрыто мореной) и 3 ледника с площадью менее 0,1 км² каждый занимают 0,2 км²

р. Саргир (реки Большой Усек, Усек, Или, оз. Балхаш)

хр. Тышкантай

| | | | | | | | | |
|------|------|------|---|---|-----|-----|--|------------------|
| 3110 | 3180 | 3380 | — | — | 0,2 | 0,1 | | II/11—17, 19, 20 |
|------|------|------|---|---|-----|-----|--|------------------|

Усек, Усек, Или, оз. Балхаш)

ского отрого, юго-восточный склон Саргирского отрого

| | | | | | | | | |
|------|------|------|------|---|-----|-----|------|-------------------------------------|
| 3200 | 3280 | 3480 | — | — | 0,2 | 0,2 | | II/11—17, 19, 20; IV/9; V/2 |
| 3230 | 3320 | 3730 | 3500 | | 0,2 | 0,1 | | II/11—17, 19, 20; IV/9; V/2 |
| 3260 | 3360 | 3680 | 3530 | | 0,2 | 0,1 | | II/11—17, 19, 20; IV/9; V/2 |
| 3180 | 3230 | 3720 | — | | 0,4 | 0,3 | | II/11—17, 19, 20; IV/9; V/2 |
| 3210 | 3210 | 3620 | — | | 0,2 | 0,2 | | II/11—17, 19, 20; IV/9; V/2 |
| 2940 | 3240 | 3980 | 3550 | — | 0,6 | 0,4 | 0,03 | II/11—17, 19, 20; IV/6, 9; V/2 |
| 3150 | 3280 | 3940 | 3550 | | 0,5 | 0,3 | 0,02 | II/11—17, 19, 20; IV/9; V/2 |
| 3140 | 3280 | 3940 | 3560 | | 0,5 | 0,4 | 0,02 | II/11—17, 19, 20; IV/9; V/2 |
| 3200 | 3300 | 3980 | 3630 | | 0,7 | 0,5 | 0,04 | II/11—17, 19, 20; IV/9; V/2 |
| 3100 | 3390 | 4000 | 3670 | | 0,6 | 0,3 | 0,02 | II/11—17, 19, 20; IV/9; V/2 |
| 3130 | 3320 | 4020 | 3650 | | 1,0 | 0,6 | 0,05 | II/11—17, 19, 20; IV/9; V/2 |
| 3380 | 3510 | 4050 | 3740 | | 0,2 | 0,2 | | II/11—17, 19, 20; IV/9; V/2 |
| 3320 | 3680 | 4130 | 3820 | | 0,2 | 0,1 | | II/11—17, 19, 20; IV/9; V/2 |
| 3080 | 3200 | 4100 | 3640 | | 0,3 | 0,2 | | II/11—17, 19, 20; IV/9, 15, 16; V/2 |
| 3100 | 3320 | 4180 | 3680 | | 0,7 | 0,4 | 0,04 | II/11—17, 19, 20; IV/9, 15, 16; V/2 |
| 3240 | 3350 | 3860 | 3590 | | 0,2 | 0,1 | | II/11—17, 19, 20; IV/9, 15, 16; V/2 |
| 3120 | 3310 | 4220 | 3600 | | 1,0 | 0,7 | 0,04 | II/11—17, 19, 20; IV/9, 15, 16; V/2 |
| 3500 | 3500 | 3940 | 3660 | | 0,2 | 0,2 | | II/11—17, 19, 20; IV/9, 15, 16; V/2 |
| 3400 | 3460 | 3840 | 3610 | | 0,1 | 0,1 | | II/11—17, 19, 20; IV/9, 15, 16; V/2 |
| 3300 | 3410 | 3970 | 3620 | | 0,6 | 0,4 | 0,03 | II/11—17, 19, 20; IV/9, 15, 16; V/2 |
| 3450 | 3450 | 3740 | 3570 | | 0,1 | 0,1 | | II/11—17, 19, 20; IV/9; V/2 |
| 3240 | 3300 | 3790 | 3550 | | 0,4 | 0,3 | | II/11—17, 19, 20; IV/9; V/2 |

Коксай и Саргир (реки Большой Усек, Усек, Или, оз. Балхаш)

Саргирского отрого

| | | | | | | | | |
|------|------|------|------|--|-----|-----|--|------------------|
| 3360 | 3380 | 3790 | 3600 | | 0,4 | 0,3 | | II/11—17, 19, 20 |
|------|------|------|------|--|-----|-----|--|------------------|

| № по схеме 1 | Название 2 | Название реки, вытекающей из ледника 3 | Морфологиче- ский тип 4 | Общая экспозиция 5 | Наибольшая длина, км | | Площадь, км ² | |
|-----------------|---------------|--|-------------------------------|-----------------------|-------------------------|---------------------------------------|--------------------------|---------------------------------------|
| | | | | | Всего ледника 6 | в том числе открытой части 7 | Всего ледника 8 | в том числе открытой части 9 |
| 1 | 2 | 3 | 4 | 5 | 6 | 7 | 8 | 9 |

Бассейн р. Малый Коксай (реки Большой

Северо-западный склон Саргирского отрога,

| | | | | | | | | |
|------|-----------------------|---------------------|-----------|----|-----|-----|-----|-----|
| 177 | № 177 | пр. р. Малый Коксай | вис. | C3 | 1,0 | 0,7 | 0,3 | 0,2 |
| 178 | № 178 | пр. р. Малый Коксай | кар. | C | 1,2 | 1,1 | 0,6 | 0,5 |
| 179 | № 179 | пр. р. Малый Коксай | кар.-дол. | C3 | 1,7 | 1,4 | 0,8 | 0,6 |
| 180 | Малый Коксай- ский | пр. р. Малый Коксай | кар.-дол. | C3 | 1,6 | 1,4 | 1,1 | 0,9 |
| 181* | № 181 | пр. р. Малый Коксай | кар.-вис. | C | 0,6 | 0,5 | 0,2 | 0,2 |
| 182* | № 182 | пр. р. Малый Коксай | вис. | C | 0,6 | 0,5 | 0,2 | 0,2 |
| 183* | № 183 | пр. р. Малый Коксай | кар. | C | 0,9 | 0,8 | 0,2 | 0,2 |
| 184* | № 184 | пр. р. Малый Коксай | кар.-дол. | C | 1,3 | 1,1 | 0,4 | 0,4 |
| 185 | № 185 | пр. р. Малый Коксай | вис. | C | 0,9 | 0,9 | 0,2 | 0,2 |
| 186* | № 186 | Малый Коксай | вис. | CB | 0,6 | 0,5 | 0,1 | 0,1 |
| 187* | № 187 | пр. р. Малый Коксай | кар. | CB | 0,9 | 0,8 | 0,4 | 0,4 |
| 188 | № 188 | пр. р. Малый Коксай | кар.-вис. | CB | 0,9 | 0,8 | 0,3 | 0,2 |
| 189* | № 189 | пр. р. Малый Коксай | кар.-вис. | CB | 0,9 | 0,8 | 0,3 | 0,3 |
| | 13 ледников | | | | | | 5,1 | 4,4 |

Кроме того, в бассейне р. Малый Коксай имеется 4 ледника размерами менее 0,1 км² каждый, общей площадью 0,3 км²

Итого 17 ледников

Бассейн р. Мынжилки (реки Большой

Южный склон Хоргосского отрога, восточ

| | | | | | | | | |
|------|-------------------------|-----------------------|-----------|----|-----|-----|-----|-----|
| 190* | № 190 | пр. р. Большой Коксай | вис. | C | 1,0 | 0,6 | 0,3 | 0,2 |
| 191* | № 191 | пр. р. Большой Коксай | кар. | C | 1,2 | 1,1 | 0,6 | 0,5 |
| 192* | № 192 | пр. р. Большой Коксай | кар.-вис. | C3 | 1,0 | 0,8 | 0,4 | 0,3 |
| 193 | № 193 | пр. р. Большой Коксай | кар. | ЮВ | 1,6 | 1,3 | 0,9 | 0,8 |
| 194* | № 194 | пр. р. Большой Коксай | кар.-дол. | B | 1,6 | 1,4 | 0,7 | 0,7 |
| 195* | Моинагаш | пр. р. Большой Коксай | кар.-дол. | B | 2,0 | 1,9 | 0,6 | 0,5 |
| 196* | Большой Кок- сайский | Большой Коксай | дол. | CB | 2,3 | 2,1 | 3,1 | 2,8 |
| 197* | № 197 | пр. р. Большой Коксай | дол. | B | 1,9 | 1,4 | 1,3 | 1,0 |
| 198 | № 198 | пр. р. Большой Коксай | кар. | CB | 1,7 | 1,0 | 0,7 | 0,4 |
| 199 | № 199 | пр. р. Большой Коксай | кар. | C | 1,2 | 0,8 | 0,7 | 0,6 |
| 200* | № 200 | пр. р. Большой Коксай | пл.верш. | C | 0,7 | 0,7 | 0,1 | 0,1 |
| 201* | № 201 | Мынжилки | кар.-дол. | CB | 1,9 | 1,8 | 1,0 | 0,9 |
| 202* | Бумеранг | пр. р. Мынжилки | кар. | CB | 1,4 | 1,2 | 0,5 | 0,3 |
| 203 | Мынжилки | пр. р. Мынжилки | шлф. | C | 1,6 | 1,4 | 1,2 | 0,9 |
| 204* | № 204 | пр. р. Мынжилки | вис. | CB | 0,6 | 0,6 | 0,1 | 0,1 |
| 205 | № 205 | пр. р. Мынжилки | шлф. | CB | 2,2 | 2,0 | 1,4 | 1,1 |
| 206 | № 206 | пр. р. Мынжилки | кар. | C | 1,5 | 1,2 | 0,6 | 0,4 |
| 207* | № 207 | пр. р. Мынжилки | кар.-вис. | C | 0,8 | 0,7 | 0,2 | 0,2 |
| 208 | № 208 | пр. р. Мынжилки | кар.-дол. | CB | 1,4 | 1,1 | 0,6 | 0,5 |

| Высота, м | | | Фирновая линия | | Площадь области аблации, км ² | | Объем льда, км ³ | Ссылки на последующие таблицы (илюстрации) № таблиц и иллюстраций |
|----------------------------|-------------------------------------|----------------------|----------------|---------------------------|--|----------------------------|-----------------------------|--|
| найней точки конца ледника | найшей точки открытой части ледника | высшей точки ледника | высота | способ определения и дата | общая | в том числе открытой части | | |
| 10 | 11 | 12 | 13 | 14 | 15 | 16 | 17 | 18 |

Усек, Усек, Или, оз. Балхаш)

южный склон Хоргосского отрого

| | | | | | | | | |
|------|------|------|------|---|-----|-----|------|-----------------------------------|
| 3120 | 3160 | 3580 | 3400 | | 0,2 | 0,1 | | II/11—17, 19, 20 |
| 3120 | 3180 | 3725 | 3410 | | 0,3 | 0,2 | | II/11—17, 19, 20 |
| 3260 | 3310 | 3650 | 3420 | | 0,5 | 0,3 | | II/11—17, 19, 20; IV/13; V/17, 26 |
| 3280 | 3300 | 3740 | 3450 | | 0,6 | 0,4 | 0,02 | II/11—17, 19, 20; IV/13; V/17, 26 |
| 3180 | 3290 | 3570 | 3400 | | 0,1 | 0,1 | | II/11—17, 19, 20 |
| 3360 | 3380 | 3700 | 3500 | | 0,1 | 0,1 | | II/11—17, 19, 20; IV/13; V/17, 26 |
| 3360 | 3380 | 3680 | 3500 | | 0,1 | 0,1 | | II/11—17, 19, 20; IV/13; V/17, 26 |
| 3400 | 3420 | 3740 | 3520 | | 0,2 | 0,2 | | II/11—17, 19, 20; IV/13; V/17, 26 |
| 3390 | 3390 | 3680 | 3540 | | 0,1 | 0,1 | | II/11—17, 19, 20 |
| 3430 | 3450 | 3565 | — | | 0,1 | 0,1 | | II/11—17, 19, 20 |
| 3400 | 3460 | 3760 | 3600 | — | 0,2 | 0,2 | | II/11—17, 19, 20; IV/13; V/17, 26 |
| 3360 | 3400 | 3827 | 3560 | | 0,2 | 0,1 | | II/11—17, 19, 20; IV/13; V/17, 26 |
| 3320 | 3360 | 3780 | 3530 | | 0,1 | 0,1 | | II/11—17, 19, 20; IV/13; V/17, 26 |

Усек, Усек, Или, оз. Балхаш)

южный склон Большого Усекского отрого

| | | | | | | | | |
|------|------|------|------|---|-----|-----|------|--|
| 3280 | 3400 | 3670 | 3500 | | 0,2 | 0,1 | | II/11—17, 19, 20; IV/13, 15, 16; V/17, 26 |
| 3320 | 3360 | 3805 | 3560 | | 0,3 | 0,2 | | II/11—17, 19, 20; IV/9, 13, 15, 16; V/2, 17, 26 |
| 3480 | 3520 | 3800 | 3630 | | 0,3 | 0,2 | | II/11—17, 19, 20; IV/9, 13, 15, 16; V/2, 17, 26 |
| 3560 | 3560 | 4034 | 3750 | | 0,3 | 0,2 | | II/11—17, 19, 20; IV/9, 15; V/2 |
| 3600 | 3640 | 4010 | 3740 | | 0,3 | 0,3 | | II/11—17, 19, 20; IV/13; V/17, 26 |
| 3500 | 3520 | 4050 | 3690 | | 0,4 | 0,3 | | II/11—17, 19, 20; IV/13; V/17, 26 |
| 3360 | 3390 | 3961 | 3640 | | 1,7 | 1,4 | 0,13 | II/11—17, 19, 20; IV/13; V/17, 26 |
| 3290 | 3380 | 3930 | 3590 | | 0,7 | 0,4 | 0,03 | II/11—17, 19, 20; IV/13; V/17, 26 |
| 3240 | 3360 | 3770 | 3540 | | 0,5 | 0,2 | | II/11—17, 19, 20 |
| 3260 | 3320 | 3660 | 3500 | | 0,4 | 0,3 | | II/11—17, 19, 20 |
| 3530 | 3530 | 3660 | — | | 0,1 | 0,1 | | II/11—17, 19, 20 |
| 3510 | 3530 | 3938 | 3630 | — | 0,5 | 0,4 | 0,02 | II/11—17, 19, 20; IV/7, 9, 13; V/2, 17, 26, 31, 42 |
| 3400 | 3440 | 3938 | 3610 | | 0,3 | 0,1 | | II/11—17, 19, 20; IV/7, 9, 13; V/2, 17, 26, 31, 42 |
| 3230 | 3240 | 3710 | 3390 | | 0,8 | 0,5 | | II/11—17, 19, 20; IV/7, 9, 13; V/2, 17, 26, 31, 42 |
| 3280 | 3280 | 3520 | — | — | 0,1 | 0,1 | | II/11—17, 19, 20; IV/7, 9, 13; V/2, 31, 42 |
| 3230 | 3280 | 3830 | 3500 | | 0,8 | 0,5 | 0,03 | II/11—17, 19, 20; IV/7, 9, 13; V/2, 17, 26, 31, 42 |
| 3200 | 3280 | 3720 | 3420 | | 0,4 | 0,2 | | II/11—17, 19, 20; IV/7, 9, 13; V/2, 17, 26, 31, 42 |
| 3180 | 3230 | 3560 | — | — | 0,2 | 0,2 | | II/11—17, 19, 20; IV/7, 9, 13; V/2, 17, 26, 31, 42 |
| 3160 | 3220 | 3620 | 3400 | | 0,4 | 0,3 | | II/11—17, 19, 20; IV/9, V/2 |

| № по схеме | Название | Название реки, вытекающей из ледника | Морфологический тип | Общая экспозиция | Наибольшая длина, км | | Площадь, км ² | |
|------------|--|--------------------------------------|---------------------|------------------|----------------------|----------------------------|--------------------------|----------------------------|
| | | | | | Всего ледника | В том числе открытой части | Всего ледника | В том числе открытой части |
| 1 | 2 | 3 | 4 | 5 | 6 | 7 | 8 | 9 |
| 209 | № 209 | пр. р. Мынжилки | кар.-дол. | C | 1,7 | 1,3 | 0,7 | 0,5 |
| 210* | № 210 | пр. р. Мынжилки | вис. | C | 0,5 | 0,5 | 0,1 | 0,1 |
| 211* | № 211 | пр. р. Мынжилки | кар. | C | 0,8 | 0,4 | 0,2 | 0,1 |
| | 22 ледника | | | | | | 16,0 | 13,0 |
| | Кроме того, в бассейне р. Мынжилки имеется 7 ледников размерами менее 0,1 км ² каждый, общей площадью 0,6 км ² | | | | | | | |
| | Итого 29 ледников | | | | | | | |

**Бассейны правых притоков р. Большого Усека между устьями
Восточный склон Большого Усека**

| | | | | | | | | |
|------|------------|-----------------------|-----------|----|-----|-----|-----|-----|
| 212 | № 212 | пр. р. Большого Усека | вис.кар. | B | 2,2 | 1,7 | 1,0 | 0,8 |
| 213 | № 213 | пр. р. Большого Усека | шлф. | B | 3,4 | 2,7 | 2,0 | 1,4 |
| 214* | № 214 | пр. р. Большого Усека | кар. | B | 0,7 | 0,4 | 0,1 | 0,1 |
| 215 | № 215 | пр. р. Большого Усека | кар. | C3 | 1,4 | 1,2 | 0,4 | 0,3 |
| 216 | № 216 | пр. р. Большого Усека | кар. | 3 | 1,5 | 1,2 | 0,6 | 0,5 |
| 217* | № 217 | пр. р. Большого Усека | кар.-вис. | CB | 0,8 | 0,6 | 0,2 | 0,1 |
| | 6 ледников | | | | | | 4,3 | 3,2 |

Кроме того, в бассейнах правых притоков р. Большой Усек от устья р. Мынжилки до устья р. Среднего Усека Итого 9 ледников

Всего в бассейне р. Большого Усека 88 ледников общей площадью 44,9 км², в том числе 65 ледников с площадью 0,1 км²

Бассейн р. Большого Кабыла (реки Средний Усек, Западный склон Большого Усекского отрога,

| | | | | | | | | |
|------|-------------------------|------------------------|-----------|----|-----|-----|-----|-----|
| 218* | № 218 | пр. р. Малого Кабыла | кар.-вис. | C | 0,6 | 0,4 | 0,1 | 0,1 |
| 219 | Сурковый | пр. р. Малого Кабыла | кар. | C3 | 1,6 | 1,4 | 0,6 | 0,5 |
| 220 | № 220 | пр. р. Малого Кабыла | кар. | C | 1,1 | 0,8 | 0,6 | 0,4 |
| 221 | Малый Кабыл- ский | Малый Кабыл | кар. | C3 | 1,1 | 0,9 | 0,7 | - |
| 222* | № 222 | пр. р. Малого Кабыла | кар. | 3 | 0,9 | 0,7 | 0,2 | 0,2 |
| 223* | № 223 | пр. р. Малого Кабыла | пл.верш. | Ю | 0,2 | 0,2 | 0,1 | 0,1 |
| 224 | № 224 | пр. р. Большого Кабыла | кар.-вис. | C | 1,2 | 0,8 | 0,4 | 0,3 |
| 225 | Большой Ка- быльский | пр. р. Большого Кабыла | кар.-вис. | C | 1,7 | 1,2 | 0,9 | 0,7 |
| 226 | Перевальский | Большой Кабыл | кар. | CB | 0,9 | 0,6 | 0,3 | 0,2 |
| 227* | № 227 | пр. р. Большого Кабыла | кар. | C | 0,7 | 0,6 | 0,2 | 0,2 |
| 228* | № 228 | пр. р. Большого Кабыла | кар. | CB | 0,7 | 0,6 | 0,2 | 0,1 |
| | 11 ледников | | | | | | 4,3 | 3,4 |

Кроме того, в бассейне р. Большого Кабыла имеется 3 ледника размерами менее 0,1 км² каждый, общей пло Итого 14 ледников

Бассейн р. Кумбельсай (реки Средний Усек, Северо-западный склон

| | | | | | | | | |
|-----|----------|------------|-----------|----|-----|-----|-----|-----|
| 229 | Сарытас | Кумбельсай | кар.-дол. | C3 | 2,4 | 2,1 | 1,6 | 1,3 |
| | 1 ледник | | | | | | 1,6 | 1,3 |

Бассейн р. Улькенисы (реки Средний Усек, Южный склон Джунгарского Алатау (Южного Центрального хребта — Токсанбай),

| | | | | | | | | |
|------|-----------|------------------|------|----|-----|-----|-----|-----|
| 230 | Улькенисы | пр. р. Улькенисы | дол. | C3 | 2,0 | 1,7 | 1,6 | 1,2 |
| 231* | № 231 | пр. р. Улькенисы | кар. | CB | 1,1 | 1,0 | 0,4 | 0,4 |
| 232* | № 232 | пр. р. Улькенисы | вис. | C | 0,5 | 0,5 | 0,1 | 0,1 |
| 233* | Усекский | пр. р. Улькенисы | шлф. | C | 2,4 | 2,0 | 3,0 | 2,4 |

| Высота, м | | | Фирновая линия | | Площадь области аблляции, км ² | | Объем льда, км ³ | Ссылки на последующие таблицы (иллюстрации) № таблиц и иллюстраций |
|----------------------------|-------------------------------------|----------------------|----------------|---------------------------|---|----------------------------|-----------------------------|---|
| нижней точки конца ледника | нижней точки открытой части ледника | высшей точки ледника | высота, м | способ определения и дата | общая | в том числе открытой части | | |
| 10 | 11 | 12 | 13 | 14 | 15 | 16 | 17 | 18 |
| 3120 | 3200 | 3620 | 3400 | — | 0,4 | 0,2 | | II/11—17, 19, 20 |
| 3280 | 3280 | 3580 | — | — | — | — | | II/11—17, 19, 20 |
| 3000 | 3120 | 3320 | — | — | 0,2 | 0,1 | | II/11—17, 19, 20 |

рек Мынжилки и Среднего Усека (реки Большой Усек, Усек, Или, оз. Балхаш)

Усекского отрога

| | | | | | | | | |
|------|------|------|------|---|-----|-----|------|------------------|
| 3200 | 3340 | 3840 | 3520 | — | 0,6 | 0,4 | 0,02 | II/11—17, 19, 20 |
| 2980 | 3120 | 3820 | 3440 | — | 1,3 | 0,7 | 0,04 | II/11—17, 19, 20 |
| 3200 | 3320 | 3460 | — | — | 0,1 | 0,1 | | II/11—17, 19, 20 |
| 3260 | 3300 | 3860 | 3520 | — | 0,2 | 0,1 | | II/11—17, 19, 20 |
| 3330 | 3400 | 3930 | 3600 | — | 0,4 | 0,3 | | II/11—17, 19, 20 |
| 3400 | 3560 | 3740 | 3600 | — | 0,1 | — | | II/11—17, 19, 20 |

имеется 3 ледника размерами менее 0,1 км² каждый, общей площадью 0,2 км²

и более занимают 43,3 км² (из них 7,9 км² покрыто мореной) и 22 ледника с площадью менее 0,1 км² занимают 1,6 км²

Большой Усек, Усек, Или, оз. Балхаш)

южный склон Кабылского отрога

| | | | | | | | | |
|------|------|------|------|---|---|---|--|--|
| 3440 | 3500 | 3720 | — | — | — | — | | II/11—17, 19, 20 |
| 3160 | 3240 | 3780 | 3500 | — | — | — | | II/11—17, 19, 20; IV/13; V/17, 26 |
| 3270 | 3320 | 3790 | 3500 | — | — | — | | II/11—17, 19, 20; IV/13; V/17, 26 |
| 3390 | 3440 | 3780 | 3550 | — | — | — | | II/11—17, 19, 20; IV/13; V/17, 26 |
| 3460 | 3520 | 3740 | 3600 | — | — | — | | II/11—17, 19, 20 |
| 3640 | 3640 | 3800 | — | — | — | — | | II/11—17, 19, 20 |
| 3120 | 3190 | 3690 | 3460 | — | — | — | | II/11—17, 19, 20; IV/7, 13, 15, 16; V/17, 26, 31, 42 |
| 3200 | 3300 | 3820 | 3500 | — | — | — | | II/11—17, 19, 20; IV/7, 13, 15, 16; V/17, 26, 31, 42 |
| 3380 | 3400 | 3600 | 3490 | — | — | — | | II/11—17, 19, 20; IV/7, 13, 15, 16; V/17, 26, 31, 42 |
| 3380 | 3400 | 3620 | 3520 | — | — | — | | II/11—17, 19, 20; IV/15, 16 |
| 3300 | 3380 | 3620 | — | — | — | — | | II/11—17, 19, 20; IV/15, 16 |

площадью 0,1 км²

Большой Усек, Усек, Или, оз. Балхаш)

Кабылского отрога

| | | | | | | | | |
|------|------|------|------|---|-----|-----|------|--------------------------------------|
| 3380 | 3420 | 3986 | 3600 | — | 0,8 | 0,5 | 0,04 | II/11—17, 19, 20; IV/7; V/17, 31, 42 |
|------|------|------|------|---|-----|-----|------|--------------------------------------|

Большой Усек, Усек, Или, оз. Балхаш)

северный склон Кабылского отрога, западный склон Большого Усекского отрога

| | | | | | | | | |
|------|------|------|------|---|-----|-----|------|-----------------------------------|
| 3180 | 3190 | 3789 | 3390 | — | 1,0 | 0,6 | 0,04 | II/11—17, 19, 20; IV/13; V/17, 26 |
| 3400 | 3440 | 3800 | 3550 | — | 0,2 | 0,2 | | II/11—17, 19, 20; IV/13; V/17, 26 |
| 3480 | 3480 | 3940 | — | — | — | — | | II/11—17, 19, 20; IV/13; V/17, 26 |
| 3300 | 3330 | 3940 | 3580 | — | 1,7 | 1,1 | 0,10 | II/11—17, 19, 20; IV/13; V/17, 26 |

| № по схеме 1 | Название 2 | Название реки, вытекающей из ледника 3 | Морфологиче- ский тип 4 | Общая экспозиция 5 | Наибольшая длина, км | | Площадь, км ² | |
|-----------------|---------------|--|-------------------------------|-----------------------|-------------------------|---|--------------------------|---|
| | | | | | Всего ледника 6 | в том числе в открытой части 7 | Всего ледника 8 | в том числе в открытой части 9 |
| 234 | № 234 | Улькенисы | кар.-дол. | С3 | 2,1 | 1,8 | 1,2 | 1,0 |
| 235* | № 235 | пр. р. Улькенисы | кар. | ЮЗ | 0,4 | 0,4 | 0,3 | 0,3 |
| 236 | № 236 | пр. р. Улькенисы | кар. | В | 1,6 | 1,3 | 0,8 | 0,6 |
| 237* | Переметный | пр. р. Улькенисы | вис. | Ю | 0,5 | 0,3 | 0,2 | 0,1 |
| 238 | № 238 | пр. р. Улькенисы | кар.-вис. | С3 | 1,2 | 1,0 | 0,6 | 0,5 |
| 239 | № 239 | пр. р. Улькенисы | кар. | СВ | 1,2 | 0,9 | 0,4 | 0,3 |
| 240 | № 240 | пр. р. Улькенисы | вис. | СВ | 1,0 | 0,8 | 0,3 | 0,2 |
| 241* | № 241 | пр. р. Улькенисы | кар.-вис. | В | 0,5 | 0,5 | 0,1 | 0,1 |
| 242* | № 242 | пр. р. Улькенисы | кар.-вис. | СВ | 1,0 | 0,8 | 0,2 | 0,2 |
| 243 | № 243 | пр. р. Улькенисы | вис. | С3 | 0,7 | 0,5 | 0,3 | 0,2 |
| 244 | Сpirаль | пр. р. Улькенисы | кар. | В | 1,4 | 1,2 | 0,5 | 0,4 |
| 245* | № 245 | пр. р. Улькенисы | кар. | ЮВ | 1,2 | 1,0 | 0,4 | 0,4 |
| 246* | № 246 | пр. р. Улькенисы | кар. | ЮВ | 0,9 | 0,9 | 0,2 | 0,2 |
| 247* | № 247 | пр. р. Улькенисы | вис. | С | 0,5 | 0,4 | 0,1 | 0,1 |
| 248 | № 248 | пр. р. Улькенисы | кар.-вис. | С | 1,6 | 1,4 | 0,7 | 0,6 |
| 249 | № 249 | пр. р. Улькенисы | вис. | Ю | 0,4 | 0,4 | 0,2 | 0,2 |
| 250* | № 250 | пр. р. Улькенисы | вис. | С | 0,6 | 0,6 | 0,1 | 0,1 |
| 251* | № 251 | пр. р. Улькенисы | вис. | СВ | 0,8 | 0,6 | 0,2 | 0,2 |
| 22 ледника | | | | | | | 11,9 | 9,8 |

Кроме того, в бассейне р. Улькенисы имеется 20 ледников размерами менее 0,1 км² каждый, общей площадью 1,2 км²

Итого 42 ледника

| Бассейн р. Юйтас (реки Средний Усек, Южный склон Джунгарского Алатау (Южного Центральног | | | | | | | | |
|--|---------------|-----------------|-----------|----|-----|-----|------|-----|
| 252* № 252 пр. р. Юйтас | | | | | | | | |
| 253 | № 253 | пр. р. Майлисай | вис. | В | 0,6 | 0,4 | 0,1 | 0,1 |
| 254* | № 254 | пр. р. Майлисай | вис. | ЮВ | 0,2 | 0,2 | 0,2 | 0,2 |
| 255* | № 255 | пр. р. Майлисай | вис. | В | 0,4 | 0,4 | 0,1 | 0,1 |
| 256 | № 256 | пр. р. Майлисай | вис. | В | 0,8 | 0,6 | 0,2 | 0,2 |
| 257* | № 257 | пр. р. Майлисай | прискл. | СВ | 0,7 | 0,4 | 0,4 | 0,2 |
| 258* | Карабулакский | Майлисай | вис.дол. | В | 0,7 | 0,4 | 2,0 | 1,5 |
| 259 | Майлисайский | пр. р. Майлисай | кар.-дол. | В | 2,8 | 2,4 | 0,9 | 0,8 |
| 260 | Юйтас | пр. р. Майлисай | вис.дол. | СВ | 2,0 | 1,7 | 2,4 | 2,1 |
| 261 | № 261 | пр. р. Майлисай | дол. | СВ | 2,6 | 2,3 | 1,3 | 1,1 |
| 262 | № 262 | пр. р. Майлисай | вис.кар. | В | 2,1 | 1,9 | 0,3 | 0,2 |
| 263 | № 263 | Юйтастынасу | кар.-дол. | С | 1,2 | 0,8 | 0,5 | 0,4 |
| 264* | № 264 | пр. р. Байсай | кар. | В | 0,7 | 0,6 | 0,2 | 0,2 |
| 265 | Байсай | пр. р. Байсай | кар.-дол. | СВ | 0,7 | 0,6 | 1,4 | 1,0 |
| 266* | № 266 | пр. р. Байсай | кар.-вис. | С | 0,7 | 0,6 | 0,2 | 0,2 |
| 267* | № 267 | пр. р. Байсай | вис. | Ю | 0,4 | 0,4 | 0,1 | 0,1 |
| 268* | № 268 | Байсай | вис. | С | 0,5 | 0,5 | 0,1 | 0,1 |
| 17 ледников | | | | | | | 10,6 | 8,7 |

Кроме того, в бассейне р. Юйтас имеется 6 ледников размерами менее 0,1 км² каждый, общей площадью 0,3 км²

Итого 23 ледника

| Высота, м | | | Фирновая линия | | Площадь области, абралации, км ² | | Объем льда, км ³ | Ссылки на последующие таблицы (иллюстрации) № таблиц и иллюстраций |
|----------------------------------|---|----------------------------|-----------------|---------------------------------|---|----------------------------------|-----------------------------|---|
| Низшей точки конца ледника 19 | Низшей точки открытой части ледника 11 | Высшей точки ледника 12 | Высота, м 13 | Способ определения и дата 14 | общая 15 | в том числе открытой части 16 | | |
| 3530 | 3540 | 4060 | 3740 | | 0,7 | 0,5 | | II/11—17, 19, 20; IV/13; V/17, 26 |
| 3680 | 3680 | 3940 | 3770 | | 0,1 | 0,1 | | II/11—17, 19, 20; IV/13; V/17, 26 |
| 3560 | 3640 | 3940 | 3750 | | 0,4 | 0,2 | | II/11—17, 19, 20; IV/13; V/17, 26 |
| 3640 | 3640 | 3840 | — | — | 0,2 | 0,1 | | II/11—17, 19, 20; IV/13; V/17, 26 |
| 3420 | 3480 | 3850 | 3580 | | 0,3 | 0,2 | | II/11—17, 19, 20 |
| 3460 | 3520 | 3800 | 3630 | | 0,2 | 0,1 | | II/11—17, 19, 20 |
| 3380 | 3430 | 3820 | 3610 | | 0,2 | 0,1 | | II/11—17, 19, 20 |
| 3400 | 3400 | 3760 | — | | 0,1 | 0,1 | | II/11—17, 19, 20 |
| 3470 | 3500 | 3800 | 3590 | | 0,1 | 0,1 | | II/11—17, 19, 20 |
| 3460 | 3470 | 3720 | 3580 | | 0,2 | 0,1 | | II/11—17, 19, 20 |
| 3400 | 3480 | 3850 | 3600 | | 0,3 | 0,2 | | II/11—17, 19, 20 |
| 3500 | 3550 | 3890 | 3680 | | 0,2 | 0,2 | | II/11—17, 19, 20 |
| 3580 | 3580 | 3940 | 3710 | | 0,1 | 0,1 | | II/11—17, 19, 20 |
| 3440 | 3460 | 3640 | — | — | — | — | | II/11—17, 19, 20 |
| 3270 | 3300 | 3860 | 3510 | | 0,3 | 0,2 | | II/11—17, 19, 20 |
| 3580 | 3580 | 3840 | 3710 | | 0,1 | 0,1 | | II/11—17, 19, 20 |
| 3400 | 3400 | 3760 | — | | 0,1 | 0,1 | | II/11—17, 19, 20 |
| 3340 | 3360 | 3860 | 3570 | | 0,1 | 0,1 | | II/11—17, 19, 20 |

Большой Усек, Усек, Или, оз. Балхаш)

хребта — Токсанбай), восточный склон Джиландинского отрога)

| | | | | | | | | |
|------|------|------|------|---|-----|-----|------|---|
| 3560 | 3610 | 3810 | — | — | — | — | | II/11—17, 19, 20 |
| 3470 | 3470 | 3800 | 3630 | | 0,1 | 0,1 | | II/11—17, 19, 20; IV/13; V/17, 26 |
| 3480 | 3480 | 3680 | — | — | 0,1 | 0,1 | | II/11—17, 19, 20; IV/13; V/17, 26 |
| 3380 | 3480 | 3780 | 3650 | | 0,1 | 0,1 | | II/11—17, 19, 20; IV/13; V/17, 26 |
| 3400 | 3420 | 3630 | 3510 | | 0,1 | 0,1 | | II/11—17, 19, 20; IV/13; V/17, 26 |
| 3360 | 3380 | 3660 | — | — | 0,4 | 0,2 | | II/11—17, 19, 20; IV/13; V/17, 26 |
| 3340 | 3370 | 4160 | 3610 | | 1,3 | 0,8 | 0,05 | II/11—17, 19, 20; IV/7; 13; V/17, 26, 31, 42 |
| 3380 | 3460 | 4090 | 3740 | | 0,5 | 0,4 | 0,02 | II/11—17, 19, 20; IV/13; V/17, 26 |
| 3380 | 3430 | 4020 | 3650 | | 1,3 | 1,0 | 0,08 | II/11—17, 19, 20; IV/13; V/17, 26 |
| 3280 | 3330 | 4040 | 3550 | | 0,6 | 0,4 | 0,03 | II/11—17, 19, 20; IV/13; V/17, 26 |
| 3200 | 3360 | 3640 | 3530 | | 0,2 | 0,1 | | II/11—17, 19, 20; IV/13; V/17, 26 |
| 3360 | 3480 | 4040 | 3680 | | 0,3 | 0,2 | | II/11—17, 19, 20; IV/13; V/17, 26 |
| 3600 | 3640 | 3940 | 3790 | | 0,1 | 0,1 | | II/11—17, 19, 20; IV/13; V/17, 26 |
| 3400 | 3470 | 4060 | 3690 | | 0,8 | 0,4 | | II/11—17, 19, 20; IV/13; V/17, 26 |
| 3380 | 3460 | 3840 | 3670 | | 0,1 | 0,1 | | II/11—17, 19, 20; IV/13; V/17, 26 |
| 3770 | 3770 | 4040 | — | — | — | — | | II/11—17, 19, 20; IV/13; V/17, 26 |
| 3400 | 3400 | 3800 | — | — | 0,1 | 0,1 | | II/11—17, 19, 20; IV/7; 13; V/17, 26, 31, 42 |

| № по схеме | Название | Название реки, вытекающей из ледника | Морфологический тип | Общая экспозиция | Наибольшая длина, км | | Площадь, км ² | |
|------------|----------|--------------------------------------|---------------------|------------------|----------------------|----------------------------|--------------------------|----------------------------|
| | | | | | Всего ледника | в том числе открытой части | Всего ледника | в том числе открытой части |
| 1 | 2 | 3 | 4 | 5 | 6 | 7 | 8 | 9 |

**Бассейны правых притоков р. Среднего Усека между устьями
Восточный склон Джи**

| | | | | | | | | |
|-----|-----------|-----------------------|-----------|----|-----|-----|-----|-----|
| 269 | № 269 | пр. р. Среднего Усека | кар.-дол. | СВ | 2,0 | 1,5 | 1,5 | 1,2 |
| 270 | № 270 | пр. р. Среднего Усека | кар. | СВ | 0,8 | 0,6 | 0,4 | 0,3 |
| | 2 ледника | | | | | | 1,9 | 1,5 |

**Бассейн р. Каскабулак (реки Средний Усек,
Восточный склон Джилан)**

| | | | | | | | | |
|------|------------|-------------------|------|----|-----|-----|-----|-----|
| 271* | Каскабулак | Каскабулак | кар. | СВ | 1,1 | 0,9 | 0,3 | 0,3 |
| 272* | № 272 | пр. р. Каскабулак | кар. | СВ | 0,7 | 0,5 | 0,1 | 0,1 |
| | 2 ледника | | | | | | 0,4 | 0,4 |

Кроме того, в бассейне р. Каскабулак имеется 1 ледник размером менее 0,1 км² площадью 0,1 км²

Итого 3 ледника | | | | | | 0,5 | 0,5 |

Всего в бассейне р. Среднего Усека 85 ледников общей площадью 32,4 км², в том числе 55 ледников с площадью 0,1 км² 1,7 км²

**Бассейн р. Керегетас (реки Малый
Юго-западный склон Джиландинского отрога,**

| | | | | | | | | |
|------|------------|------------------|------|----|-----|-----|-----|-----|
| 273 | № 273 | пр. р. Асуайрык | кар. | СЗ | 1,0 | 0,6 | 0,3 | 0,2 |
| 274 | Таласаасу | пр. р. Асуайрык | дол. | ЮВ | 2,4 | 1,8 | 1,1 | 0,9 |
| 275 | № 275 | пр. р. Керегетас | кар. | СЗ | 1,4 | 1,0 | 0,4 | 0,3 |
| 276 | Керегетас | Керегетас | дол. | 3 | 2,9 | 2,2 | 2,0 | 1,7 |
| 277* | № 277 | пр. р. Керегетас | кар. | 3 | 1,5 | 1,1 | 0,6 | 0,4 |
| 278 | № 278 | пр. р. Керегетас | вис. | Ю | 0,7 | 0,7 | 0,2 | 0,2 |
| 279 | № 279 | пр. р. Керегетас | кар. | В | 1,2 | 0,8 | 0,3 | 0,2 |
| | 7 ледников | | | | | | 4,9 | 3,9 |

Кроме того, в бассейне р. Керегетас имеется 4 ледника размерами менее 0,1 км² каждый, общей площадью 0,2 км²

Итого 11 ледников | | | | | | 5,1 | 4,1 |

**Бассейн р. Кок (реки Малый
Южный склон Джунгарского Алатау (Южного Центрального хребта — Токсанбай),**

| | | | | | | | | |
|------|-------------|------------|-----------|----|-----|-----|------|------|
| 280 | № 280 | пр. р. Кок | кар.-вис. | СЗ | 1,8 | 0,5 | 0,9 | 0,8 |
| 281 | № 281 | пр. р. Кок | вис. | С | 1,6 | 1,2 | 0,3 | 0,2 |
| 282* | Узкий | пр. р. Кок | кул. | С | 1,7 | 1,5 | 0,2 | 0,2 |
| 283 | № 283 | пр. р. Кок | вис.кар. | СЗ | 1,6 | 1,3 | 1,0 | 0,8 |
| 284* | № 284 | пр. р. Кок | кар.-вис. | ЮЗ | 0,6 | 0,6 | 0,1 | 0,1 |
| 285 | Аймуз | пр. р. Кок | кар.-дол. | 3 | 2,7 | 2,4 | 1,8 | 1,4 |
| 286* | № 286 | пр. р. Кок | вис. | СВ | 0,8 | 0,5 | 0,2 | 0,2 |
| 287* | № 287 | пр. р. Кок | вис. | ЮВ | 0,6 | 0,6 | 0,1 | 0,1 |
| 288* | Кокмұз | пр. р. Кок | кар. | С3 | 1,7 | 1,4 | 0,8 | 0,6 |
| 289* | № 289 | пр. р. Кок | кар. | С3 | 1,2 | 1,0 | 0,4 | 0,4 |
| 290* | Гляциологов | Кок | дол. | С3 | 5,8 | 5,1 | 5,9 | 5,3 |
| 291* | № 291 | пр. р. Кок | вис.кар. | 3 | 1,7 | 1,7 | 0,5 | 0,5 |
| 292* | № 292 | пр. р. Кок | пл.верш. | 3 | 0,6 | 0,6 | 0,1 | 0,1 |
| 293* | № 293 | пр. р. Кок | вис.кар. | Ю | 1,6 | 1,1 | 0,5 | 0,3 |
| | 14 ледников | | | | | | 12,8 | 11,0 |

Кроме того в бассейне р. Кок имеется 1 ледник размером менее 0,1 км² площадью 0,1 км²

Итого 15 ледников | | | | | | 12,9 | 11,1 |

| Высота, м | | | Фирновая линия | | Площадь области аблакции, км ² | | Ссылки на последующие таблицы (иллюстрации) № таблиц и иллюстраций | |
|----------------------------|-------------------------------------|----------------------|----------------|---------------------------|---|----------------------------|---|----|
| Низшей точки конца ледника | Низшей точки открытой части ледника | Высшей точки ледника | Высота, м | Способ определения и дата | Общая | В том числе открытой части | | |
| 10 | 11 | 12 | 13 | 14 | 15 | 16 | 17 | 18 |

рек Юйтас и Каскабулак (реки Средний Усек, Большой Усек, Усек, Или, оз. Балхаш)

ландинского отрога

| | | | | | | | | |
|------|------|------|------|--|-----|-----|--|---|
| 3220 | 3300 | 3900 | 3540 | | 0,7 | 0,4 | | II/11—17, 19, 20; IV/7; 13; V/17, 26, 31, 42 |
| 3340 | 3410 | 3700 | 3520 | | 0,2 | 0,1 | | II/11—17, 19, 20; IV/7; V/17, 31, 42 |

Большой Усек, Усек, Или, оз. Балхаш)

динского отрога

| | | | | | | | | |
|------|------|------|------|---|-----|-----|--|--------------------------------|
| 3430 | 3470 | 3740 | 3610 | | 0,2 | 0,2 | | II/11—17, 19, 20; IV/15, 16 |
| 3440 | 3500 | 3640 | — | — | 0,1 | 0,1 | | II/11—17, 19, 20; IV/15, 16 |

и более каждый занимают 30,7 км² (из них 5,6 км² покрыто мореной) и 30 ледников с площадью менее 0,1 км² каждый занимают 1,7 км²

Усек, Усек, Или, оз. Балхаш)

юго-восточный склон Керегетасского отрога

| | | | | | | | | |
|------|------|------|------|--|-----|-----|------|-----------------|
| 3350 | 3460 | 3700 | 3580 | | 0,2 | 0,1 | | II/11—15, 17—20 |
| 3080 | 3270 | 4100 | 3670 | | 0,6 | 0,4 | | II/11—15, 17—20 |
| 3370 | 3500 | 3970 | 3730 | | 0,3 | 0,2 | | II/11—15, 17—20 |
| 3280 | 3350 | 4120 | 3640 | | 1,0 | 0,7 | | II/11—15, 17—20 |
| 3400 | 3510 | 3860 | 3670 | | 0,4 | 0,2 | | II/11—15, 17—20 |
| 3480 | 3480 | 3790 | 3720 | | 0,1 | 0,1 | | II/11—15, 17—20 |
| 3300 | 3490 | 4000 | 3660 | | 0,2 | 0,1 | 0,06 | II/11—15, 17—20 |

Усек, Усек, Или, оз. Балхаш)

западный склон Джиландинского отрога, северо-западный склон Керегетасского отрога

| | | | | | | | | |
|------|------|------|------|--|-----|-----|------|-----------------|
| 3180 | 3330 | 4060 | 3640 | | 0,4 | 0,3 | | II/11—15, 17—20 |
| 3260 | 3300 | 4040 | 3490 | | 0,2 | 0,1 | | II/11—15, 17—20 |
| 3320 | 3350 | 4180 | 3590 | | 0,1 | 0,1 | | II/11—15, 17—20 |
| 3440 | 3470 | 3890 | 3640 | | 0,5 | 0,3 | | II/11—15, 17—20 |
| 3640 | 3640 | 3770 | — | | 0,1 | 0,1 | | II/11—15, 17—20 |
| 3430 | 3470 | 4020 | 3670 | | 1,1 | 0,7 | 0,04 | II/11—15, 17—20 |
| 3480 | 3630 | 3860 | 3730 | | 0,1 | 0,1 | | II/11—15, 17—20 |
| 3680 | 3680 | 4034 | — | | 0,1 | 0,1 | | II/11—15, 17—20 |
| 3140 | 3280 | 4034 | 3470 | | 0,5 | 0,3 | | II/11—15, 17—20 |
| 3490 | 3520 | 3820 | 3640 | | 0,2 | 0,2 | | II/11—15, 17—20 |
| 3160 | 3230 | 4020 | 3600 | | 2,7 | 2,1 | 0,03 | II/11—15, 17—20 |
| 3480 | 3480 | 4000 | 3630 | | 0,2 | 0,2 | | II/11—15, 17—20 |
| 3650 | 3650 | 3692 | — | | — | — | | II/11—15, 17—20 |
| 3360 | 3450 | 3760 | 3640 | | 0,4 | 0,2 | | II/11—15, 17—20 |

| № по схеме | Название | Название реки, вытекающей из ледника | Морфологический тип | Общая экспозиция | Наибольшая длина, км | | Площадь, км ² | |
|------------|----------|--------------------------------------|---------------------|------------------|----------------------|----------------------------|--------------------------|----------------------------|
| | | | | | Всего ледника | В том числе открытой части | Всего ледника | В том числе открытой части |
| 1 | 2 | 3 | 4 | 5 | 6 | 7 | 8 | 9 |

Бассейн р. Алтынсай (реки Малый Южный склон Джунгарского Алатау (Южного Центрального хребта — Токсанбай),

| | | | | | | | | |
|------|----------------|-----------------|-----------|----|-----|-----|------|------|
| 294* | № 294 | пр. р. Алтынсай | кар.-вис. | C | 0,7 | 0,6 | 0,2 | 0,2 |
| 295 | № 295 | пр. р. Алтынсай | кар. | C | 1,4 | 1,2 | 0,6 | 0,5 |
| 296 | № 296 | пр. р. Алтынсай | кар.-вис. | CB | 1,1 | 0,6 | 0,4 | 0,3 |
| 297 | № 297 | пр. р. Алтынсай | кар. | C | 1,2 | 1,0 | 0,5 | 0,4 |
| 298* | № 298 | пр. р. Алтынсай | кар. | C3 | 1,1 | 0,8 | 0,3 | 0,3 |
| 299* | № 299 | пр. р. Алтынсай | вис. | C3 | 0,9 | 0,5 | 0,2 | 0,1 |
| 300* | Алтынмуз вост. | Алтынсай | дол. | 3 | 4,1 | 3,7 | 3,1 | 2,9 |
| 301* | Алтынмуз сев. | Алтынсай | кар.-дол. | ЮВ | 2,3 | 2,3 | 1,1 | 1,0 |
| 302* | Алтынмуз зап. | Алтынсай | дол. | B | 2,7 | 2,0 | 0,9 | 0,7 |
| 303* | № 303 | пр. р. Алтынсай | кар. | ЮВ | 1,4 | 1,2 | 0,8 | 0,6 |
| 304* | № 304 | пр. р. Алтынсай | кар. | B | 1,0 | 1,0 | 0,2 | 0,2 |
| 305 | № 305 | пр. р. Алтынсай | шлф. | B | 2,4 | 2,0 | 1,4 | 1,0 |
| 306* | № 306 | пр. р. Алтынсай | кар.-вис. | CB | 0,8 | 0,5 | 0,2 | 0,1 |
| 307* | № 307 | пр. р. Алтынсай | кар.-вис. | ЮЗ | 0,6 | 0,4 | 0,1 | 0,1 |
| 308* | № 308 | пр. р. Алтынсай | кар. | B | 1,2 | 1,0 | 0,6 | 0,4 |
| 309 | № 309 | пр. р. Алтынсай | кар. | C | 1,1 | 0,8 | 0,4 | 0,2 |
| 310 | № 310 | пр. р. Алтынсай | кар. | CB | 1,1 | 0,7 | 0,5 | 0,4 |
| 311* | № 311 | пр. р. Алтынсай | кар.-вис. | CB | 0,9 | 0,7 | 0,2 | 0,2 |
| 312* | № 312 | пр. р. Алтынсай | кар.-вис. | C | 0,7 | 0,5 | 0,1 | 0,1 |
| 313 | Кызылмуз | Кызылсай | кар.-вис. | B | 1,1 | 0,8 | 0,4 | 0,3 |
| 314* | № 314 | пр. р. Кызылсай | кар.-вис. | CB | 0,8 | 0,4 | 0,2 | 0,1 |
| | 21 ледник | | | | | | 12,4 | 10,1 |

Кроме того, в бассейне р. Алтынсай имеется 6 ледников размерами менее 0,1 км² каждый, общей площадью 0,3 км²
Итого 27 ледников

**Бассейн верховьев р. Малого Усека
Восточный склон Коктальского отрога,**

| | | | | | | | | |
|------|----------------|---------------------|-----------|----|-----|-----|------|------|
| 315* | № 315 | пр. р. Малого Усека | кар.-вис. | B | 0,6 | 0,6 | 0,1 | 0,1 |
| 316 | № 316 | пр. р. Малого Усека | кар.-дол. | C | 1,6 | 1,2 | 1,2 | 0,9 |
| 317 | № 317 | пр. р. Малого Усека | кар. | CB | 1,1 | 0,8 | 0,3 | 0,2 |
| 318 | № 318 | пр. р. Малого Усека | котл. | CB | 2,3 | 1,8 | 2,9 | 2,5 |
| 319* | № 319 | пр. р. Малого Усека | вис. | C | 0,5 | 0,5 | 0,2 | 0,2 |
| 320* | № 320 | пр. р. Малого Усека | кар. | CB | 0,9 | 0,7 | 0,2 | 0,2 |
| 321 | Малый Усекский | пр. р. Малого Усека | дол. | C | 3,1 | 2,7 | 3,0 | 2,6 |
| 322 | Денисовой | пр. р. Малого Усека | дол. | C | 2,7 | 2,2 | 1,4 | 1,0 |
| 323* | № 323 | пр. р. Малого Усека | вис. | C | 0,7 | 0,7 | 0,1 | 0,1 |
| 324 | № 324 | пр. р. Малого Усека | кар.-дол. | C | 2,0 | 1,6 | 1,0 | 0,9 |
| 325 | № 325 | пр. р. Малого Усека | кар.-дол. | C | 1,5 | 1,1 | 0,5 | 0,4 |
| 326* | № 326 | пр. р. Малого Усека | кар. | C | 1,0 | 0,8 | 0,3 | 0,2 |
| 327 | № 327 | пр. р. Малого Усека | дол. | CB | 2,9 | 2,6 | 1,5 | 1,3 |
| | 13 ледников | | | | | | 12,7 | 10,6 |

Кроме того, в бассейне верховьев р. Малого Усека имеется 5 ледников размерами менее 0,1 км² каждый, общей пло
Итого 18 ледников

Бассейн правого притока р. Малого Усека ниже устья Северный склон

| | | | | | | | | |
|------|------------|---------------------|-----------|----|-----|-----|-----|-----|
| 328* | № 328 | пр. р. Малого Усека | кар.-вис. | C | 0,6 | 0,4 | 0,1 | 0,1 |
| 329* | № 329 | пр. р. Малого Усека | кар. | CB | 1,2 | 0,8 | 0,4 | 0,3 |
| 330 | № 330 | пр. р. Малого Усека | кар.-дол. | C | 1,6 | 1,3 | 1,0 | 0,7 |
| 331 | № 331 | пр. р. Малого Усека | кар. | C | 1,2 | 0,9 | 0,4 | 0,3 |
| 332 | № 332 | пр. р. Малого Усека | кар. | CB | 1,1 | 0,8 | 0,4 | 0,3 |
| | 5 ледников | | | | | | 2,3 | 1,7 |

Кроме того, в бассейне правого притока р. Малый Усек ниже устья р. Кок имеется 2 ледника размерами менее
Итого 7 ледников

Бассейн р. Борохудзир (в ирригационные каналы и в б о Южный склон

| | | | | | | | | |
|----------|-------|-------------------|------|---|-----|-----|-----|-----|
| 333* | № 333 | пр. р. Борохудзир | кар. | B | 0,5 | 0,4 | 0,1 | 0,1 |
| 1 ледник | | | | | | | 0,1 | 0,1 |

Всего по району оледенения 460 ледников общей площадью 274,2 км², в том числе 333 ледника с площадью 0,1 км² и более

| Высота, м | | | Фирновая линия | | Площадь области аблации, км ² | | Ссылки на последующие таблицы (иллюстрации) № таблиц и иллюстраций | |
|----------------------------|-------------------------------------|----------------------|----------------|---------------------------|--|----------------------------|---|----|
| Низшей точки конца ледника | Низшей точки открытой части ледника | Высшей точки ледника | Высота, м | способ определения и дата | общая | в том числе открытой части | | |
| 10 | 11 | 12 | 13 | 14 | 15 | 16 | 17 | 18 |

Усек, Усек, Или, оз. Балхаш)

западный склон Коксайского отрога, юго-восточный склон Коктальского отрога

| | | | | | | | | |
|------|------|------|------|--|-----|-----|------|-----------------|
| 3310 | 3340 | 3700 | 3520 | | 0,1 | 0,1 | | II/11—15, 17—20 |
| 3280 | 3340 | 3800 | 3570 | | 0,3 | 0,2 | | II/11—15, 17—20 |
| 3180 | 3310 | 3620 | 3470 | | 0,2 | 0,1 | | II/11—15, 17—20 |
| 3210 | 3280 | 3790 | 3440 | | 0,3 | 0,2 | | II/11—15, 17—20 |
| 3220 | 3280 | 3640 | 3470 | | 0,2 | 0,2 | | II/11—15, 17—20 |
| 3320 | 3500 | 3800 | 3580 | | 0,1 | — | | II/11—15, 17—20 |
| 3200 | 3270 | 3840 | 3590 | | 1,6 | 1,4 | 0,13 | II/11—15, 17—20 |
| 3470 | 3470 | 3839 | 3630 | | 0,4 | 0,3 | 0,03 | II/11—15, 17—20 |
| 3200 | 3390 | 3840 | 3520 | | 0,6 | 0,4 | 0,02 | II/11—15, 17—20 |
| 3410 | 3470 | 3820 | 3610 | | 0,6 | 0,4 | | II/11—15, 17—20 |
| 3440 | 3520 | 3840 | 3670 | | 0,1 | 0,1 | | II/11—15, 17—20 |
| 3300 | 3380 | 3820 | 3540 | | 0,9 | 0,5 | 0,03 | II/11—15, 17—20 |
| 3380 | 3430 | 3600 | — | | 0,2 | 0,1 | | II/11—15, 17—20 |
| 3380 | 3460 | 3660 | — | | 0,1 | 0,1 | | II/11—15, 17—20 |
| 3320 | 3350 | 3720 | 3480 | | 0,4 | 0,2 | | II/11—15, 17—20 |
| 3280 | 3340 | 3600 | 3440 | | 0,3 | 0,1 | | II/11—15, 17—20 |
| 3390 | 3400 | 3720 | 3500 | | 0,2 | 0,1 | | II/11—15, 17—20 |
| 3380 | 3430 | 3620 | 3500 | | 0,1 | 0,1 | | II/11—15, 17—20 |
| 3190 | 3220 | 3635 | — | | 0,1 | 0,1 | | II/11—15, 17—20 |
| 3340 | 3380 | 3720 | 3500 | | 0,2 | 0,1 | | II/11—15, 17—20 |
| 3300 | 3340 | 3620 | — | | 0,2 | 0,1 | | II/11—15, 17—20 |

(реки Усек, Или, оз. Балхаш)

северный склон хр. Ит-Чеку

| | | | | | | | | |
|------|------|------|------|--|-----|-----|------|-----------------|
| 3380 | 3380 | 3560 | — | | 0,1 | 0,1 | | II/11—15, 17—20 |
| 3390 | 3460 | 3790 | 3590 | | 0,7 | 0,4 | | II/11—15, 17—20 |
| 3350 | 3440 | 3740 | 3570 | | 0,2 | 0,1 | | II/11—15, 17—20 |
| 3220 | 3280 | 3820 | 3510 | | 1,5 | 1,1 | 0,11 | II/11—15, 17—20 |
| 3360 | 3360 | 3940 | 3690 | | 0,1 | 0,1 | | II/11—15, 17—20 |
| 3380 | 3440 | 3840 | 3570 | | 0,1 | 0,1 | | II/11—15, 17—20 |
| 3200 | 3260 | 3780 | 3480 | | 1,5 | 1,1 | 0,11 | II/11—15, 17—20 |
| 3200 | 3270 | 3740 | 3500 | | 0,8 | 0,4 | 0,03 | II/11—15, 17—20 |
| 3330 | 3330 | 3680 | — | | 0,1 | 0,1 | | II/11—15, 17—20 |
| 3340 | 3420 | 3902 | 3570 | | 0,4 | 0,3 | | II/11—15, 17—20 |
| 3260 | 3310 | 3640 | 3400 | | 0,3 | 0,2 | | II/11—15, 17—20 |
| 3280 | 3320 | 3500 | 3420 | | 0,2 | 0,1 | | II/11—15, 17—20 |
| 3250 | 3300 | 3880 | 3550 | | 0,6 | 0,4 | 0,04 | II/11—15, 17—20 |

площадью 0,2 км²

р. Кок (реки Малый Усек, Усек, Или, оз. Балхаш)

хр. Ит-Чеку

| | | | | | | | | |
|------|------|------|------|--|-----|-----|--|-----------------|
| 3550 | 3610 | 3810 | — | | — | — | | II/11—15, 17—20 |
| 3320 | 3460 | 3810 | 3570 | | 0,2 | 0,1 | | II/11—15, 17—20 |
| 3240 | 3300 | 3750 | 3490 | | 0,6 | 0,3 | | II/11—15, 17—20 |
| 3300 | 3330 | 3780 | 3470 | | 0,2 | 0,1 | | II/11—15, 17—20 |
| 3300 | 3360 | 3750 | 3500 | | 0,2 | 0,1 | | II/11—15, 17—20 |

0,1 км² каждый, общей площадью 0,1 км²

более каждого занимают 45,1 км² (из них 7,8 км² покрыто мореной) и 18 ледников с площадью менее 0,1 км² каждый занимают 0,9 км² каждого занимают 119,1 км² (из них 21,3 км² покрыто мореной) и 71 ледник с площадью менее 0,1 км² каждый занимают 4,2 км²

лото Ак-Куга, грунтовый сток в р. Или, оз. Балхаш)

хр. Ит-Чеку

| | | | | | | | | |
|------|------|------|---|--|-----|-----|--|----------|
| 3400 | 3440 | 3650 | — | | 0,1 | 0,1 | | II/21—25 |
|------|------|------|---|--|-----|-----|--|----------|

каждый занимают 266,6 км² (из них 45,8 км² покрыто мореной) и 127 ледников с площадью менее 0,1 км² каждый занимают 7,6 км²

ПОЯСНЕНИЯ К ТАБЛИЦЕ I

| № ледника по таблице | Название | № граф | Pояснения |
|-------------------------|--------------------------------------|----------------|---|
| | | | 4 |
| 1 | № 1 | 8, 9 13, 14 | Площадь погребенной части ледника менее 0,1 км ² Фирновая линия проходит выше ледника, т. е. его поверхность полностью освобождается от сезонного снежного покрова |
| 2 | № 2 | 8, 9 13—16 | Площадь погребенной части ледника менее 0,1 км ² Фирновая линия проходит ниже ледника, т. е. сезонный снежный покров сохраняется на всей его поверхности |
| 3, 4, 5, 6 | № 3, Улькен-Қазан, № 5, Николаева | 4 | Верховья ледников последовательно соединены друг с другом |
| 8 | № 8 | 8, 9 | Площадь погребенной части ледника менее 0,1 км ² |
| 10 | Двуязычный | 6, 7 | Имеет два языка, разделенных отрогом. Один язык ориентирован на восток, другой — на юг. Длина ледника до конца восточного языка 2,3 км, чистой поверхности 2,0 км, длина ледника до конца южного языка 2,4 км, чистой поверхности 2,0 км |
| 11 | № 11 | 3, 13—16 | Находится в пределах бассейна ледника № 12, дающего начало р. Аюлысай. Фирновая линия проходит ниже ледника, т. е. сезонный снежный покров сохраняется на всей его поверхности |
| 15, 17 | № 15, 17 | 8, 9 | Площадь погребенной части ледника менее 0,1 км ² |
| 19 | № 19 | 13, 14 | Фирновая линия проходит выше ледника, т. е. его поверхность полностью освобождается от сезонного снежного покрова |
| 23, 24 | Боскольский, № 24 | 4 | Языки ледников соединены друг с другом |
| 24, 31 | № 24, 31 | 4 | Верховья ледников соединены друг с другом |
| 28, 29 | № 28, Аюсайский | 4 | Верховья ледников соединены друг с другом |
| 30 | № 30 | 13, 14 | Фирновая линия проходит выше ледника, т. е. его поверхность полностью освобождается от сезонного снежного покрова |
| 32 | № 32 | 8, 9 | Площадь погребенной части ледника менее 0,1 км ² |
| 36 | № 36 | 3, 8, 9 | Находится в пределах бассейна ледника № 35, дающего начало пр. р. Джильдайрык. Площадь погребенной части ледника менее 0,1 км ² |
| 39, 40 | № 39, 40 | 4 | Верховья ледников соединены друг с другом |
| 40 | № 40 | 13—16 | Фирновая линия проходит ниже ледника, т. е. сезонный снежный покров сохраняется на всей его поверхности |
| 42 | Аркашева | 2 | Назван в 1916 г. В. А. Николаевым (табл. IV/13 и V/26) в честь С. Ф. Аркашева — «местного любителя энтомолога и энзотика малодоступных долин и ущелий Джунгарского Алатау, первым посетившим берега Казан-Куля на Хоргосе» (табл. IV/6, 9 и V/1, 2) |
| 42, 43 | Аркашева, Джильдайрык | 4 | Верховья и языки ледников соединены друг с другом |
| 51, 52, 192 | № 51, 52, 192 | 4 | Верховья ледников соединены друг с другом |
| 51, 54 | № 51, 54 | 8, 9 | Площадь погребенной части ледника менее 0,1 км ² |
| 54, 186 | № 54, 186 | 4 | Верховья ледников соединены друг с другом |
| 55, 57 | № 55, 57 | 8, 9, 13, 14 | Площадь погребенной части ледника менее 0,1 км ² . Фирновая линия проходит выше ледника, т. е. его поверхность полностью освобождается от сезонного снежного покрова |

| № ледника по таблице | Название | № граф | Пояснения | | | |
|-------------------------|-------------------------|-----------|-----------|---|---|---|
| | | | 1 | 2 | 3 | 4 |
| 58, 60 | № 58, 60 | 4 | | | | Верховья ледников соединены друг с другом |
| 63, 66 | Карсуский, Амангельды | 4 | | | | Верховья ледников соединены друг с другом |
| 64 | № 64 | 3, 8, 9 | | | | Находится в пределах бассейна ледника № 65, дающего начало пр. р. Карсу. Площадь погребенной части ледника менее 0,1 км ² |
| 66, 68 | Амангельды, № 68 | 3 | | | | Находятся в пределах бассейна ледника № 67, дающего начало пр. р. Карсу |
| 70 | № 70 | 3 | | | | Находится в пределах бассейна ледника № 69, дающего начало пр. р. Карсу |
| 71 | № 71 | 3, 8, 9 | | | | Находится в пределах бассейна ледника № 69, дающего начало пр. р. Карсу. Площадь погребенной части ледника менее 0,1 км ² |
| 75, 76 | № 75, 76 | 4, 13, 14 | | | | Верховья ледников соединены друг с другом. Снеговая линия проходит выше ледника № 75, т. е. его поверхность полностью освобождается от сезонного снежного покрова |
| 78 | № 78 | 3, 13, 14 | | | | Находится в пределах бассейна ледника № 77, дающего начало пр. р. Нойза-Чоко. Снеговая линия проходит выше ледника, т. е. его поверхность полностью освобождается от сезонного снежного покрова |
| 79 | № 79 | 3 | | | | Находится в пределах бассейна ледника № 81, дающего начало р. Нойза-Чоко |
| 79, 81 | № 79, 50 лет Казахстана | 4 | | | | Верховья ледников соединены друг с другом |
| 80 | № 80 | 3, 13—16 | | | | Находится в пределах бассейна ледника № 81, дающего начало р. Нойза-Чоко. Снеговая линия проходит ниже ледника, т. е. сезонный снежный покров сохраняется на всей его поверхности |
| 82 | № 82 | 3 | | | | Находится в пределах бассейна ледника № 81, дающего начало р. Нойза-Чоко |
| 83, 84 | Шаталова, № 84 | 4 | | | | Верховья ледников соединены друг с другом |
| 89, 91 | № 89, 91 | 8, 9 | | | | Площадь погребенной части ледника менее 0,1 км ² |
| 92 | № 92 | 13, 14 | | | | Фирновая линия проходит выше ледника, т. е. его поверхность полностью освобождается от сезонного снежного покрова |
| 93 | № 93 | 3 | | | | Находится в пределах бассейна ледника № 94, дающего начало р. Каскабулак |
| 94, 95 | Панфилова, Каскабулак | 4 | | | | Языки ледников соединены друг с другом |
| 102 | Воейкова | 8, 9 | | | | Самый большой ледник на южном склоне Джунгарского Алатау |
| 104, 105 | № 104, 105 | 8, 9 | | | | Площадь погребенной части ледника менее 0,1 км ² |
| 109 | № 109 | 13—16 | | | | Фирновая линия проходит ниже ледника, т. е. сезонный снежный покров сохраняется на всей его поверхности |
| 110, 114 | Нарынский, № 114 | 4 | | | | Верховья ледников соединены друг с другом |
| 113 | № 113 | 8, 9 | | | | Площадь погребенной части ледника менее 0,1 км ² |
| 117 | № 117 | 13—16 | | | | Фирновая линия проходит ниже ледника, т. е. сезонный снежный покров сохраняется на всей его поверхности |
| 118, 119 | № 118, 119 | 4 | | | | Верховья и языки ледников соединены друг с другом |
| 121 | № 121 | 3 | | | | Находится в пределах бассейна ледника № 120, дающего начало р. Тышканбас |

| № ледника по таблице | Название | № граф | Пояснения |
|--------------------------|---|-----------------|---|
| 1 | 2 | 3 | 4 |
| 123, 124 | № 123, 124 | 3 | Находятся в пределах бассейна ледника № 122, дающего начало пр. р. Тышканбас |
| 126 | № 126 | 3 | Находится в пределах бассейна ледника № 125, дающего начало пр. р. Тышканбас |
| 129 | № 129 | 3, 8, 9 | Находится в пределах бассейна ледника № 130, дающего начало пр. р. Тышкан. Площадь погребенной части ледника менее 0,1 км ² |
| 131 | № 131 | 3 | Находится в пределах бассейна ледника № 133, дающего начало р. Тышкану |
| 132 | № 132 | 3, 8, 9 | Находится в пределах бассейна ледника № 133, дающего начало р. Тышкану. Площадь погребенной части ледника менее 0,1 км ² |
| 134 | № 134 | 3 | Находится в пределах бассейна ледника № 133, дающего начало р. Тышкану |
| 140, 141 | № 140, 141 | 15, 16 | Площадь открытой части области аблации ледников менее 0,1 км ² |
| 143 | № 143 | 8, 9 | Площадь погребенной части ледника менее 0,1 км ² |
| 144 | № 144 | 13—16 | Фирновая линия проходит ниже ледника, т. е. сезонный снежный покров сохраняется на всей его поверхности |
| 145, 149, 151 | № 145, 149, Бурханский | 8, 9 | Площадь погребенной части ледника менее 0,1 км ² |
| 153 | № 153 | 13, 14 | Фирновая линия проходит выше ледника, т. е. его поверхность полностью освобождается от сезонного снежного покрова |
| 154 | № 154 | 8, 9, 13, 14 | Площадь погребенной части ледника менее 0,1 км ² . Фирновая линия проходит выше ледника, т. е. его поверхность полностью освобождается от сезонного снежного покрова |
| 157 | № 157 | 6—9, 13, 14 | Длина погребенной части ледника менее 0,1 км. Фирновая линия проходит выше ледника, т. е. его поверхность полностью освобождается от сезонного снежного покрова |
| 158 | № 158 | 13, 14 | Фирновая линия проходит выше ледника, т. е. его поверхность полностью освобождается от сезонного снежного покрова |
| 165 | № 165 | 3, 8, 9 | Находится в пределах бассейна ледника № 164. Площадь погребенной части ледника менее 0,1 км ² |
| 171 | № 171 | 3, 8, 9 | Находится в пределах бассейна ледника № 170, дающего начало пр. р. Каскабулак. Погребенная часть ледника (под правой боковой мореной) занимает площадь менее 0,1 км ² |
| 172 | № 172 | 6, 7 | Длина погребенной части ледника менее 0,1 км |
| 181, 182, 183, 184 | № 181, 182, 183, 184 | 8, 9 | Площади погребенных частей ледников менее 0,1 км ² |
| 186 | № 186 | 4, 8, 9, 13, 14 | Соединен с ледником № 54. Площадь погребенной части ледника менее 0,1 км ² . Фирновая линия проходит выше ледника, т. е. его поверхность полностью освобождается от сезонного снежного покрова |
| 187, 189 | № 187, 189 | 8, 9 | Площадь погребенной части ледника менее 0,1 км ² |
| 190, 191, 192, 51, 52 | № 190, 191, 192, 51, 52 | 4 | Верховья ледников последовательно соединены друг с другом |
| 194, 195, 196, 197 | № 194, Моннагаш, Большой Коксайский, № 197 | 4 | Языки ледников последовательно соединены друг с другом |
| 194 | № 194 | 8, 9 | Площадь погребенной части ледника менее 0,1 км ² |

| № ледника по таблице | Название | № граф | Пояснения | | | |
|-------------------------|-----------------|--------------|--|---|---|---|
| | | | 1 | 2 | 3 | 4 |
| 200 | № 200 | 4, 13, 14 | Имеет два языка, спускающихся на юг и восток по крутым склонам хребта, площадью менее 0,1 км ² каждый. Фирновая линия проходит выше ледника, т. е. его поверхность полностью освобождается от сезонного снежного покрова | | | |
| 201, 202 | № 201, Бумеранг | 4 | Верховья ледников соединены друг с другом | | | |
| 204 | № 204 | 13, 14 | Фирновая линия проходит выше ледника, т. е. его поверхность полностью освобождается от сезонного снежного покрова | | | |
| 207 | № 207 | 8, 9, 13, 14 | Площадь погребенной части ледника менее 0,1 км ² . Фирновая линия проходит выше ледника, т. е. его поверхность полностью освобождается от сезонного снежного покрова | | | |
| 210 | № 210 | 13—16 | Фирновая линия проходит ниже ледника, т. е. сезонный снежный покров сохраняется на всей его поверхности | | | |
| 211 | № 211 | 13, 14 | Фирновая линия проходит выше ледника, т. е. его поверхность полностью освобождается от сезонного снежного покрова | | | |
| 214 | № 214 | 8, 9, 13, 14 | Площадь погребенной части ледника менее 0,1 км ² . Фирновая линия проходит выше ледника, т. е. его поверхность полностью освобождается от сезонного снежного покрова | | | |
| 217 | № 217 | 15, 16 | Площадь открытой части области абляции ледника менее 0,1 км ² | | | |
| 218 | № 218 | 13—16 | Фирновая линия проходит ниже ледника, т. е. сезонный снежный покров сохраняется на всей его поверхности | | | |
| 222 | № 222 | 8, 9 | Площадь погребенной части ледника менее 0,1 км ² | | | |
| 223 | № 223 | 13—16 | Фирновая линия проходит ниже ледника, т. е. сезонный снежный покров сохраняется на всей его поверхности | | | |
| 227 | № 227 | 8, 9 | Площадь погребенной части ледника менее 0,1 км ² | | | |
| 228 | № 228 | 8, 9, 13, 14 | Площадь погребенной части ледника менее 0,1 км ² . Снеговая граница проходит выше ледника, т. е. его поверхность полностью освобождается от сезонного снежного покрова | | | |
| 231 | № 231 | 8, 9 | Площадь погребенной части ледника менее 0,1 км ² | | | |
| 232, 233 | № 232, Усекский | 4 | Верховья ледников соединены друг с другом | | | |
| 232 | № 232 | 13—16 | Снеговая граница проходит ниже ледника, т. е. сезонный снежный покров сохраняется на всей его поверхности | | | |
| 235 | № 235 | 3 | Находится в пределах бассейна ледника № 234, дающего начало р. Улькенисы | | | |
| 237 | Переметный | 4, 13, 14 | Питание получает через глубокую седловину в Южном Центральном хребте — Токсанбай от долинного ледника № 91, расположенного в бассейне р. Коксу. (Каталог ледников СССР, том 13, вып. 2, часть 5 — Бассейн р. Карагатал.) Фирновая линия проходит выше ледника, т. е. его поверхность полностью освобождается от сезонного снежного покрова | | | |
| 241 | № 241 | 13, 14 | Фирновая линия проходит выше ледника, т. е. его поверхность полностью освобождается от сезонного снежного покрова | | | |
| 242 | № 242 | 8, 9 | Площадь погребенной части ледника менее 0,1 км ² | | | |
| 245, 246 | № 245, 246 | 4 | Верховья ледников соединены друг с другом | | | |

| № ледника по таблице | Название | № граф | Пояснения | | | |
|-------------------------|----------------------|--------------|-----------|---|---|---|
| | | | 1 | 2 | 3 | 4 |
| 245 | № 245 | 8, 9 | | | | Площадь погребенной части ледника менее 0,1 км ² |
| 247 | № 247 | 13—16 | | | | Фирновая линия проходит ниже ледника, т. е. сезонный снежный покров сохраняется на всей его поверхности |
| 250 | № 250 | 13, 14 | | | | Фирновая линия проходит выше ледника, т. е. его поверхность полностью освобождается от сезонного снежного покрова |
| 251 | № 251 | 8, 9 | | | | Площадь погребенной части ледника менее 0,1 км ² |
| 252 | № 252 | 13—16 | | | | Фирновая линия проходит ниже ледника, т. е. сезонный снежный покров сохраняется на всей его поверхности |
| 254 | № 254 | 13, 14 | | | | Фирновая линия проходит выше ледника, т. е. его поверхность полностью освобождается от сезонного снежного покрова |
| 255 | № 255 | 8, 9 | | | | Площадь погребенной части ледника менее 0,1 км ² |
| 257, 258 | № 257, Карабулакский | 4 | | | | Языки ледников соединены друг с другом |
| 257 | № 257 | 13, 14 | | | | Фирновая линия проходит выше ледника, т. е. его поверхность полностью освобождается от сезонного снежного покрова |
| 264, 266 | № 264, 266 | 8, 9 | | | | Площадь погребенной части ледника менее 0,1 км ² |
| 267 | № 267 | 13—16 | | | | Фирновая линия проходит ниже ледника, т. е. сезонный снежный покров сохраняется на всей его поверхности |
| 268 | № 268 | 13, 14 | | | | Фирновая линия проходит выше ледника, т. е. его поверхность полностью освобождается от сезонного снежного покрова |
| 271 | Каскабулак | 8, 9 | | | | Площадь погребенной части ледника менее 0,1 км ² |
| 272 | № 272 | 8, 9, 13, 14 | | | | Площадь погребенной части ледника менее 0,1 км ² . Фирновая линия проходит выше ледника, т. е. его поверхность полностью освобождается от сезонного снежного покрова |
| 277 | № 277 | 3 | | | | Находится в пределах бассейна ледника № 276, дающего начало р. Керегетас |
| 282 | Узкий | 8, 9 | | | | Площадь погребенной части ледника менее 0,1 км ² |
| 284 | № 284 | 3, 13, 14 | | | | Находится в пределах бассейна ледника № 283, дающего начало пр. р. Кок. Снеговая линия проходит выше ледника, т. е. его поверхность полностью освобождается от сезонного снежного покрова |
| 286 | № 286 | 3, 8, 9 | | | | Находится в пределах бассейна ледника № 285, дающего начало пр. р. Кок. Площадь погребенной части ледника менее 0,1 км ² |
| 287 | № 287 | 13, 14 | | | | Фирновая линия проходит выше ледника, т. е. его поверхность полностью освобождается от сезонного снежного покрова |
| 287, 288 | № 287, Кокмуз | 4 | | | | Верховья ледников соединены друг с другом |
| 289 | № 289 | 3, 8, 9 | | | | Находится в пределах бассейна ледника № 290, дающего начало р. Кок. Площадь погребенной части ледника менее 0,1 км ² |
| 290, 291 | Гляциологов, № 291 | 4 | | | | Языки ледников соединены друг с другом |
| 291 | № 291 | 3, 8, 9 | | | | Находится в пределах бассейна ледника № 290, дающего начало р. Кок. Погребенная часть находится под правой боковой мореной площадью менее 0,1 км ² |

| № ледника по таблице | Название | № граф | Пояснения |
|-------------------------|--|--------------|---|
| | | | 4 |
| 1 | 2 | 3 | |
| 292 | № 292 | 3, 13—16 | Находится в пределах бассейна ледника № 290, дающего начало р. Кок. Снеговая линия проходит ниже ледника, т. е. сезонный снежный покров сохраняется на всей его поверхности |
| 293 | № 293 | 3 | Находится в пределах бассейна ледника № 290, дающего начало р. Кок |
| 294, 298 | № 294, 298 | 8, 9 | Площадь погребенной части ледника менее 0,1 км ² |
| 299 | № 299 | 3, 15, 16 | Находится в пределах бассейна ледника № 300, дающего начало р. Алтынсай. Площадь открытой части области абляции ледника менее 0,1 км ² |
| 300, 302 | Алтынмуз восточный, Алтынмуз западный | 4 | Языки ледников соединены друг с другом |
| 301, 302 | Алтынмуз северный, Алтынмуз западный | 4 | Языки ледников соединены друг с другом |
| 301 | Алтынмуз северный | 3, 4, 8, 9 | Находится в пределах бассейна ледника № 302, дающего вместе с ледником № 300 начало р. Алтынсай. Часть льда через седловину в Южном Центральном хребте.— Токсанбай сбрасывается в пределы бассейна р. Коксу на ледник № 57 (см. Каталог ледников СССР, том 13, вып. 2, часть 5—Бассейн р. Карагат). Погребенная часть находится под левой боковой мореной |
| 303 | № 303 | 3 | Находится в пределах бассейна ледника № 305, дающего начало пр. р. Алтынсай |
| 303, 304 | № 303, 304 | 4 | Языки ледников соединены друг с другом |
| 304 | № 304 | 3 | Находится в пределах бассейна ледника № 305, дающего начало пр. р. Алтынсай |
| 306, 307 | № 306, 307 | 13, 14 | Фирновая линия проходит выше ледника, т. е. его поверхность полностью освобождается от сезонного снежного покрова |
| 308 | № 308 | 4 | Верховья ледника соединены с верховьями шлейфового ледника № 28, расположенного в истоках р. Сатылы (см. Каталог ледников СССР, том 13, вып. 2, часть 5—Бассейн р. Карагат) |
| 311 | № 311 | 8, 9 | Площадь погребенной части ледника менее 0,1 км ² |
| 312 | № 312 | 8, 9, 13, 14 | Площадь погребенной части ледника менее 0,1 км ² . Фирновая линия проходит выше ледника, т. е. его поверхность освобождается от сезонного снежного покрова |
| 314, 315 | № 314, 315 | 13, 14 | Фирновая линия проходит выше ледника, т. е. его поверхность полностью освобождается от сезонного снежного покрова |
| 319 | № 319 | 3 | Находится в пределах бассейна ледника № 318, дающего начало пр. р. Малый Усек |
| 320 | № 320 | 8, 9 | Площадь погребенной части ледника менее 0,1 км ² |
| 323 | № 323 | 13, 14 | Фирновая линия проходит выше ледника, т. е. его поверхность полностью освобождается от сезонного снежного покрова |
| 326 | № 326 | 3, 4 | Верховья ледника соединены с фирновым полем и языком ледника № 327 |
| 328 | № 328 | 13—16 | Фирновая линия проходит ниже ледника, т. е. сезонный снежный покров сохраняется на всей его поверхности |
| 329 | № 329 | 3 | Находится в пределах бассейна ледника № 330, дающего начало пр. р. Малый Усек |
| 333 | № 333 | 8, 9, 13, 14 | Площадь погребенной части ледника менее 0,1 км ² . Фирновая линия проходит выше ледника, т. е. его поверхность полностью освобождается от сезонного снежного покрова |

ПЕРЕЧЕНЬ УЧРЕЖДЕНИЙ И ЛИЦ, ПРИСВОИВШИХ НАЗВАНИЯ ЛЕДНИКАМ, РЕКАМ И ХРЕБТАМ

1. Названия всех ледников описываемого района (за исключением ледника № 42; см. выше) даны участниками гляциологической экспедиции СФГ АН КазССР в 1969 г. (см. табл. IV/15, 16).

Названия ледников вошли в гляциологическую литературу, но официально не утверждены.

2. Названия рек Хоргос, Тохтанды, Арчалы, Улькен-Казан, Карсу, Нойза-Чоко, Сарткипе, Каскабулак, Чижин, Тышкан, Куюнды-Карасай, Бурхан, Усек, Большой Усек, Малый Коксай, Мынжылки, Средний Усек, Малый Кабыл, Большой Кабыл, Улькенисы, Майлисай, Байсай, Малый Усек, Керегетас, Кок, Алтынсай, Кызылсай, Борохудзир взяты с крупномасштабных карт.

Названия остальных рек, приведенных в табл. I, взяты из

литературных источников (см. табл. V/2, 9, 19, 26, 31, 41, 42) или получены на основании устных сообщений местных жителей. Эти названия вошли в гляциологическую литературу, но официально не утверждены.

3. Все отроги южного склона Джунгарского Алатау (Южного Центрального хребта) и хр. Тышкантау в пределах описываемого района названы участниками гляциологической экспедиции СФГ АН КазССР в 1969 г. Названия отрогов вошли в гляциологическую литературу, но официально не утверждены.

П р и м е ч а н и е. Пояснения, касающиеся происхождения названий ледников (см. § 1) и отрогов (см. § 3), звездочками в табл. I не отмечены, так как они относятся ко всем ледникам и отрогам района.

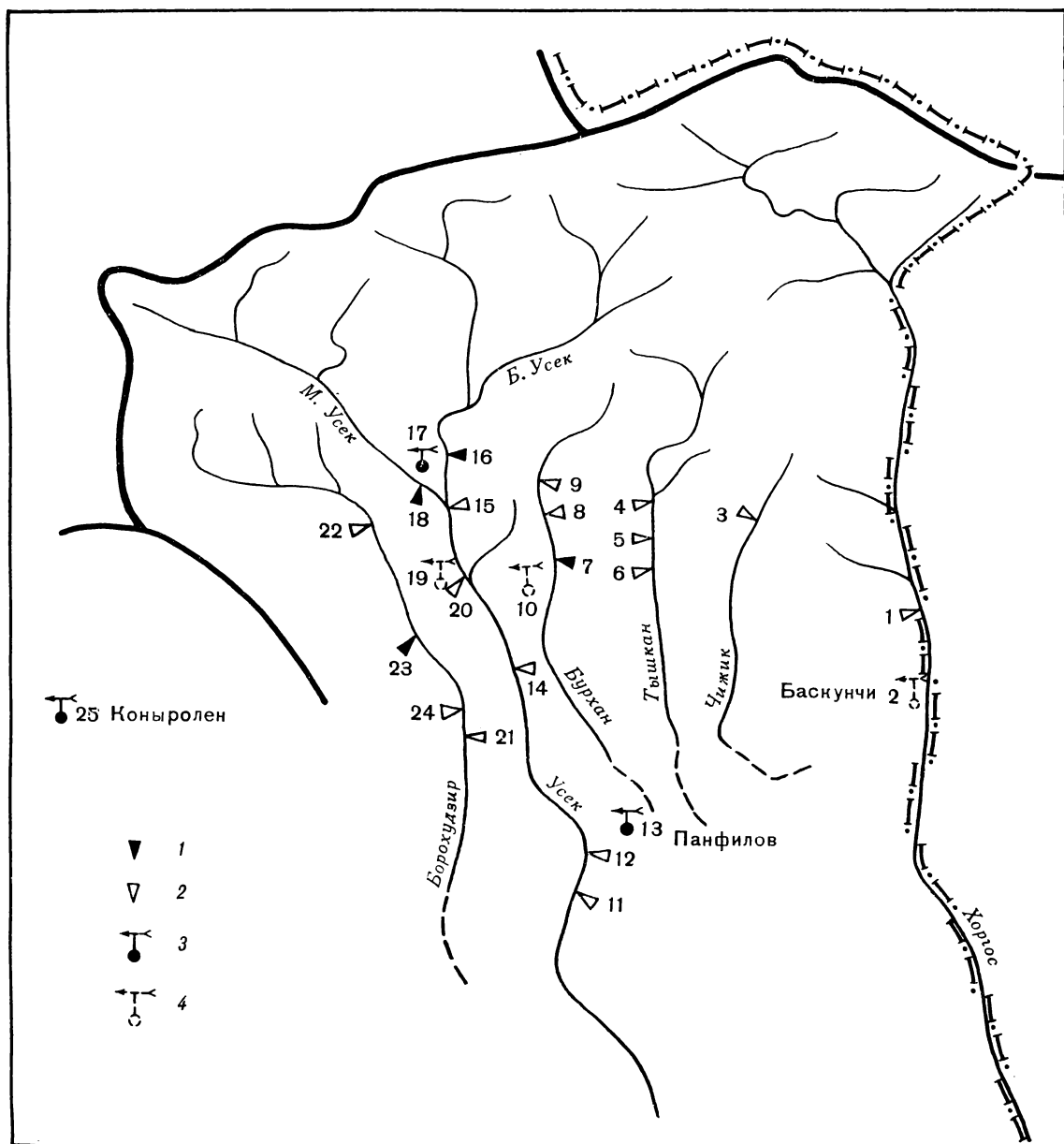


Рис. 28. Схема расположения гидрометеорологических станций и постов в районе ледников.
1 — действующие гидрологические посты и станции, 2 — закрытые гидрологические посты и станции, 3 — действующие метеорологические станции и посты, 4 — закрытые метеорологические станции и посты.

СПИСОК ГИДРОМЕТЕОРОЛОГИЧЕСКИХ СТАН

| № п/п | Название реки, в бассейне которой расположена станция | Название станции или поста | В чьем ведении находится | Абсолютная высота, м | Площадь водосбора гидрометеорологического поста, км ² | уровень воды | |
|-------|---|--|--------------------------|----------------------|--|--|---|
| | | | | | | 6 | 7 |
| 1 | 2 | 3 | 4 | 5 | 6 | | |
| 1 | Хоргос | гп с. Баскунчи (Баскунчак), в 8 км выше селения | УГМС КазССР | 1190 | 1080 | 1909, 1910, 1913—19, 1925—31, 1937—56 | |
| 2 | Хоргос | мп Баскунчи | УГМС КазССР | 1200 | — | — | |
| 3 | Чижин | гп с. Чижин, в 6 км к северо-востоку от селения | Алма-Атинское обл. УОС | 1700 | 76,5 | 1958—62 | |
| 4 | Тышкан | гп с. Сарыбель, в 7 км к северу от селения | Алма-Атинское обл. УОС | 1780 | 130 | 1958—62 | |
| 5 | Тышкан | гп с. Сарыбель (Тышкан), в 3 км выше селения | СПУ | 1520 | 149 | 1909, 1910, 1912—14, 1916—19, 1926, 1928, 1929 | |
| 6 | Тышкан | гп с. Сарыбель (Тышкан) | Каз УВХ | 1420 | 158 | 1930—32, 1935 | |
| 7 | Бурхан | гп с. Бурхан, в 2 км к югу от селения | Алма-Атинское обл. УОС | 1320 | 82,6 | 1958—67 | |
| 8 | Бурхан | гп с. Бурхан, в 3 км выше селения | Каз УВХ | 1520 | 72,00 | 1929—32, 1935 | |
| 9 | Бурхан | гп с. Бурхан, в 6 км выше селения | СПУ | 1680 | 52,5 | 1909, 1910, 1912—15, 1917—19 | |
| 10 | Бурхан | мп Лесновская | УГМС КазССР | 1260 | — | — | |
| 11 | Усек | гп с. Шолакай | Каз УВХ | 570 | 1330 | 1913—18, 1925, 1928, 1929—31 | |
| 12 | Усек | гп Панфилов (Джаркент) | вдм | 590 | 1320 | 1917, 1918, 1920, 1932 | |
| 13 | Усек | (мст, мп) мст Панфилов (Джаркент) | УГМС КазССР | 640 | — | — | |
| 14 | Усек | гп с. Енбекши (Лесное) | Каз УВХ | 960 | 1290 | 1930, 1931 | |
| 15 | Усек | гп 0,3 км ниже впадения р. Малого Усека (уроч. Боктер) | Каз УВХ | 1230 | 1130 | 1926—30 | |
| 16 | Большой Усек (Усек, Или) | гп 1,7 км выше впадения р. Малого Усека (уроч. Сарыбастау) | УГМС КазССР | 1260 | 724 | 1913—19, 1930—51, 1960—72 | |
| 17 | Большой Усек (Усек, Или) | мп Сарыбастау | УГМС КазССР | 1270 | — | — | |
| 18 | Малый Усек (Усек, Или) | гп 0,2 км выше слияния с р. Усеком (уроч. Сарыбастау) | УГМС КазССР | 1230 | 407 | 1913—19, 1930—51, 1960—72 | |
| 19 | Усек (Или) | мп Талды | УГМС КазССР | 1260 | — | — | |
| 20 | Усек (Или) | гп с. Талды, в 6 км ниже впадения р. Малого Усека | УГМС КазССР | 1140 | 1220 | 1952—60 | |
| 21 | Борохудзир | гп с. Улькунагач (Лесное) | СПУ | 800 | 537 | 1916, 1917, 1931, 1932 | |
| 22 | Борохудзир | гп 6 км ниже впадения ручья Бельбулак (уроч. Кейтын) | Каз УВХ | 1290 | 310 | 1929—31, 1935—37 | |
| 23 | Борохудзир | гп с. Кийтын (Кейтын) в 3 км к югу от селения | УГМС КазССР | 1180 | 470 | 1948—72 | |
| 24 | Борохудзир | гп с. Кызылжар (Кызыл-Джар, Лесное), в 2 км выше селения | СПУ | 840 | 536 | 1913—15 | |
| 25 | Коктерек | мст Коныролен | УГМС КазССР | 1232 | — | — | |

Примечание. В графах «Сток воды» и «Сток наносов» указываются годы, за которые имеются данные по стоку. Указывается период, за который подсчитан сток, затем — число измеренных расходов и в скобках годы их измерения. При наличии

ТАБЛИЦА II

ЦИЙ И ПОСТОВ В РАЙОНЕ ЛЕДНИКОВ

| сток воды | сток наносов | химический состав воды | Период наблюдений, годы | | | |
|---|--------------------------------|---------------------------|---|---|--|--|
| | | | основные метеорологические | осадки | толщина снега | дополнительные |
| 8 | 9 | 10 | 11 | 12 | 13 | 14 |
| 1913—17, 1919, 1927, 1930, 1931, 1939—41, 4 (1925) | 1939—41 | — | — | — | — | |
| — | — | — | — | 1948—56 | 1948—56 | |
| 1952, 1953, 1955, 1957—62 | — | — | — | — | — | |
| 1928—36, 1944, 1948—53, 1955, 1960, 11 (1956, 1957—59) | — | — | — | — | — | |
| 1916, 1929, 20 (1914, 1917—19, 1926, 1928) | — | — | — | — | — | |
| 1930—32, 1935 | — | — | — | — | — | |
| 1936, 1937, 1939, 1940, 1948—67 | — | — | — | — | — | |
| 1929—31, 1935 | — | — | — | — | — | |
| — | — | — | — | — | — | |
| — | — | — | — | 1932—42 | 1932—42 | |
| 1929—31, 14 (1917, 1918, 1925, 1928) | — | — | — | — | — | |
| — | — | — | — | — | — | |
| — | — | — | 1890—92, 1893, 1894, 1896—1902, 1911—72 | 1890—92, 1893, 1894, 1896—1902, 1907, 1908, 1911—72 | 1890—94, 1896—1902, 1907 1908, 1911—72 | Продолжительность солнечного сияния: 1952—65 |
| 1930, 1931 | — | — | — | — | — | |
| 1926—30 | — | — | — | — | — | |
| 1930—51, 1960—72 | 1936—51, 1961—72 | — | — | — | — | |
| — | — | — | 1938—43, 1946, 1949—51, 1961—72 | 1936, 1946, 1947—51, 1960—72 | 1936, 1946, 1947—51, 1960—72 | |
| 1913—16, 1918, 1919, 1930—51, 1960—72, 3 (1917) | 1934—41, 1945—49, 16 (1944) | — | 1939—44, 1946, 1947 | — | — | |
| — | — | — | — | 1952—60 | 1952—60 | |
| 1952—60 | 1952—59, 13 (1960) | — | 1952—60 | — | — | |
| 5 (1916, 1917) | — | — | — | — | — | |
| 1929—31, 1935—37 | — | — | — | — | — | |
| 1948—72 | 1958—72 | 1950, 1952, 1953, 1962 | — | — | — | |
| 1913, 1914, 3 (1915—17) | — | — | — | — | — | |
| — | — | — | 1960—72 | 1960—72 | 1960—72 | |

Если сток подсчитан только за некоторый период, а за остальное время имеются величины измеренных расходов, то вначале указываются величины измеренных расходов записывается число их, а в скобках — годы их измерения.

ЭКСПЕДИЦИОННЫЕ И СТАЦИОНАРНЫЕ ИССЛЕДОВАНИЯ ЛЕДНИКОВ

| № п/п | Номер ледника по схеме | Время проведения работ | Характеристика (состав) произведенных исследований | Организация, производившая работы | № источни- ка по табл. V |
|----------|--|------------------------------|--|---|--------------------------------|
| 1 | 2 | 3 | 4 | 5 | 6 |
| 1 | Джунгарский Алатау в целом | 1716—1733 | Первая карта хр. Джунгарского Алатау, определившая его как объект географических исследований | Опубликовал И. Г. Ренат ¹ — участник экспедиции Бухольца, организованной по инициативе Петра I | 24* |
| 2 | Ледники района в целом | VII—IX 1875 | Геологические исследования хр. Боро-Хоро и долины р. Борохудзир на территории Китая, а также р. Хоргоса, указывается на наличие древнего и современного оледенения этой части хребта | И. В. Мушкетов | 24, 25 |
| 3 | Бассейн р. Хоргоса в целом | 1878 | Сообщается о существовании оледенения в бассейне р. Хоргоса | Регель | 27 |
| 4 | № 111—138 | 1898 | Сообщается о наличии более 20 ледников в бассейне р. Тышканы, а также о наличии ледников в бассейнах рек Бурхана и Чижина | С. Е. Дмитриев | 8 |
| 5 | № 115, 116, 125 | VII 1899 | Краткое морфолого-морфометрическое описание трех ледников в истоках р. Тышканбас. Впервые в Джунгарском Алатау проведены наблюдения за поверхностной скоростью движения ледников. Полуинструментальная съемка ледников. Определение абсолютных высот характерных точек методом барометрического нивелирования. Маршрутные основные метеорологические наблюдения | Я. И. Корольков (работы выполнялись совместно с С. Е. Дмитриевым) | 19 |
| 6 | № 151, 159 | VII 1899 | Первое посещение и морфолого-морфометрическое описание ледников | С. Ф. Аркашев | 2 |
| 7 | № 45—48, 201—207, 224—226, 229, 258, 268—270 | VII—VIII 1902 | Определение количества и мест нахождения ряда крупных ледников с кратким морфолого-морфометрическим описанием некоторых из них. Описание следов древнего оледенения | Томский университет (В. В. Сапожников) | 31 |
| 8 | Джунгарский Алатау в целом | VII—VIII 1902 | Составлена карта хр. Джунгарского Алатау в целом с указанием расположения современных ледников и следов древнего оледенения | М. Фридрихсен (участник экспедиции Томского университета) | 31, 41, 42 |
| 9 | № 56—58, 151, 152, 154—157, 159—175, 191—193, 201—208 | VIII 1910 | Посещение ряда ледников,дается краткое описание некоторых из них, а также следов древнего оледенения | С. Ф. Аркашев | 2 |
| 10 | № 42 | 1910 | Выполнена съемка ледника, дающего сток в оз. Казанколь | Гидротехническая часть Отдела земельных улучшений в Туркестанском крае | 29 |
| 11 | Бассейны рек Среднего и Малого Усека в целом | VI 1911 | Краткое сообщение о морфологии бассейнов этих рек и о следах древнего оледенения | С. Е. Дмитриев | 9 |
| 12 | № 42 | IX—X 1913 | Съемка ледника, нивелирование его и долины Хоргоса до впадения ее в р. Или. Фотосъемка ледника и оз. Казанколь. Описание озера | Гидротехническая часть Отдела земельных улучшений в Туркестанском крае | 29 |
| 13 | № 4—6, 22—26, 29, 42, 179, 180, 182—184, 187—189, 190—192, 194—197, 201—203, 205—207, 219—221, 224—226, 230—237, 253—269 | VII 1916 | Рекогносировочное обследование ледников и их краткое описание. Получены сведения об экспозиции ледников, их длине и высоте расположения концов языков. На трех ледниках поставлены наблюдения за изменением их концов. Глазомерной съемкой определена площадь ледника № 42. Рассмотрены особенности строения рельефа гор и в связи с этим условия существования ледников | СПУ | 26 |

| № п/п | Номер ледника по схеме | Время проведения работ | Характеристика (состав) произведенных исследований | Организация, производившая работы | № источника по табл. V |
|-------|--|------------------------|---|--------------------------------------|------------------------|
| 1 | 2 | 3 | 4 | 5 | 6 |
| 14 | Ледники бассейнов рек Чижина, Тышканы, Бурхана в целом | 1930 | Сведения о современном и древнем оледенении на территории гор Тышкантай | Всесоюзное геол.-развед. объединение | 38 |
| 15 | № 1—13, 61—85, 167—173, 190—193, 224—228, 271, 272 | VI—VII 1969 | Крупномасштабное геоморфологическое картирование территории с целью изучения древнего оледенения хребта: определение максимально-го предела распространения ледников последнего оледенения по долинам рек. Описание форм рельефа, созданного ледниками разных стадий верхнечетвертичного оледенения | СФГ АН КазССР | Фонды СФГ АН КазССР |
| 16 | № 1—13, 61—85, 167—173, 190—193, 224—228, 271, 272 | VI—VII 1969 | Полевая глазомерная корректура планов ледников, полученных на основе крупномасштабных топографических карт | СФГ АН КазССР | 35 |

¹ Есть мнение, что И. Г. Ренат получил карту Джунгарии от ойротского владетеля Гальдан-Церена, перечертил ее, дополнил и перевел на шведский язык. Причем латинская транскрипция калмыцких названий была сделана в Петербурге при участии русского знатока калмыцкого языка В. Бакунина. Карта, вероятно, составлена в 10—20-х гг. 18 в., ее автор пока неизвестен. (Умурзаков С. «О Ренате как «авторе» карты Джунгарии первой четверти XVIII века». Труды Отдела географии и Тянь-Шаньской высокогорной физико-геогр. станции, 1958, вып. 1.)

ТАБЛИЦА V СПИСОК РАБОТ, СОДЕРЖАЩИХ СВЕДЕНИЯ О ЛЕДНИКАХ

| № п/п | Номер ледника по схеме | Автор и наименование работы | Место издания работы |
|-------|---|--|--|
| 1 | 2 | 3 | 4 |
| 1 | Джунгарский Алатау в целом | Аркашев С. Ф. Внешняя граница Семиречья. Естественно-исторический очерк с приложением фотографической карты | Типография Семиреченского областного правления, Джаркент-Верный, 1886—1909 |
| 2 | Район оледенения в целом, в том числе ледники № 56—58, 151, 152, 154—157, 159—175, 191—193, 201—208 | Аркашев С. Ф. Хребет Боро-Хоро. Экскурсия на Казан-Куль | Джаркент-Верный, 1912 |
| 3 | Район оледенения в целом | Геология и металлогения Джунгарского Алатау | Алма-Ата, «Наука» КазССР, 1966 |
| 4 | Район оледенения в целом, в том числе ледник № 42 | Горбунов В. Г. О ледниках бассейна оз. Балхаш | «Изв. ГГО», 1937, т. 69, вып. 5. |
| 5 | Джунгарский Алатау в целом, в том числе бассейны рек Хоргоса (ледник № 42), Тышканы, Усека | Горбунов В. Г. Ледники бассейна озер Балхаш, Сасык-Куль и Алакуль (окончание) | «Изв. ГГО», 1939, т. 71, вып. 6 |
| 6 | Джунгарский Алатау в целом | Диденко-Кислицина Л. К. О количестве и возрасте оледенений Джунгарского Алатау | В кн.: Гляциол. исслед. в Казахстане. Вып. 5. Алма-Ата, «Наука» КазССР, 1965 |
| 7 | Джунгарский Алатау в целом | Диденко-Кислицина Л. К. Новые данные по стратиграфии Кайнозоя и новейшей тектонике Джунгарского Алатау | «Материалы по геологии и полезным ископаемым Южного Казахстана», 1964 г., вып. 2(27) |
| 8 | Бассейны рек Чижина, Тышканы и Бурхана в целом, в том числе ледники № 111—138 | Дмитриев С. Е. Справка о вновь открытых ледниках в Семиреченской области | «Изв. Туркестан. отдела РГО», 1900, т. 2, вып. 1 |
| 9 | Бассейны рек Среднего и Малого Усека в целом | Дмитриев С. Е. Перевалы Кокетав, Баскан и Саркан в Джунгарском Алатау и горный путь через Саркан в г. Джаркент | «Изв. РГО», 1924, т. 55, вып. 2 |
| 10 | Джунгарский Алатау в целом | Ерасов Н. В. Водозапасы и их определение в долинных ледниках Джунгарского Алатау | В кн.: Вопросы гидрометеорологии Казахстана (Материалы 4-й научной конференции молодых специалистов). Алма-Ата, 1965 |
| 11 | Джунгарский Алатау в целом | Зенков В. А. Ледники Джунгарского Алатау | «Вопросы географии Казахстана», 1959, вып. 3 |

| № п/п | Номер ледника по схеме | Автор и наименование работы | Место издания работы |
|-------|--|---|---|
| | | | |
| 1 | 2 | 3 | 4 |
| 12 | Джунгарский Алатау в целом | Иванов А. Х. Современные ледники и следы древних оледенений в восточной части Джунгарского Алатау | «Изв. ВГО», 1950, т. 82, вып. 4 |
| 13 | Джунгарский Алатау в целом | Калецкая М. С., Авсюк Г. А., Матвеев С. Н. Горы Юго-Восточного Казахстана | Алма-Ата, Изд-во Каз. фил. АН СССР, 1945 |
| 14 | Джунгарский Алатау в целом | Кассин Н. Г. Материалы по палеогеографии | Алма-Ата, Изд-во АН КазССР, 1947 |
| 15 | Район оледенения в целом | Кассин Н. Г. Гидрогеологические исследования Кетменьского хребта и южного склона Джунгарского Алатау | «Материалы по гидрогеологии», Петроград—Ташкент, 1916—1926, вып. 6 и 7 |
| 16 | Район оледенения в целом | Корженевский Н. Л. Опыт подсчета площади оледенения гор Туркестана | «Вестник ирригации», № 6, 1924 |
| 17 | № 4—6, 22—26, 29, 42, 179, 180, 182—184, 187—189, 190—192, 194—197, 201—203, 205—207, 219—221, 224—226, 229—237, 253—270 | Корженевский Н. Л. Каталог ледников Средней Азии | Ташкент, Изд-во Средне-Азиатск. метеорологич. ин-та, 1930 |
| 18 | Бассейны рек Усек и Хоргос в целом | Корженевский Н. Л. Краткий обзор исследования ледников Средней Азии с 1907 по 1932 г. | «Изв. ГГО», 1934, т. 66, вып. 4 |
| 19 | № 115, 116, 125 | Корольков Я. И. Отчет по осмотру некоторых Тянь-Шанских ледников в 1899 г. | «Изв. РГО», 1901, т. 37, вып. 1 |
| 20 | Джунгарский Алатау в целом | Коровин В. И. Изменение уровней воды на озерах Балхаш и Алакуль в зависимости от гидрометеорологических условий и колебаний ледников | В кн.: Материалы гляциол. исслед. (МГГ). Хроника, обсуждения. Вып. 9. М., 1964. |
| 21 | Район оледенения в целом | Лаврентьев П. Ф. Современное оледенение Джунгарского Алатау | «Изв. ВГО», т. 90, вып. 2, 1958 |
| 22 | Джунгарский Алатау в целом | Лаврентьев П. Ф., Голубцов В. В., Пакалн Э. В. Распределение годовых осадков в бассейнах озер Балхаш-Алакульской владины | «Труды КазНИГМИ», 1962, вып. 17 |
| 23 | Джунгарский Алатау в целом | Майрин С. Е., Шлыгин А. Е. Основные черты геологического развития Джунгарского Алатау | «Материалы по геологии и полезным ископаемым Южного Казахстана», 1964, вып. 2(27) |
| 24 | Джунгарский Алатау в целом | Мушкетов И. В. Туркестан. (Геологическое и орографическое описание по данным, собранным во время путешествий с 1874 по 1880 г.), т. 1 | СПб, 1886 |
| 25 | Джунгарский Алатау в целом | Мушкетов И. В. Туркестан (Геологическое и орографическое описание по данным, собранным во время путешествий с 1874 по 1880 г.), Т. 2. | СПб, 1906 |
| 26 | № 4—6, 22—26, 29, 42, 179, 180, 182—184, 187—189, 190—192, 194—197, 201—203, 205—207, 219—221, 224—226, 230—237, 253—269 | Николаев В. А. Оледенение Джунгарского Алатау в бассейнах Усека и Хоргоса | «Изв. Геогр. ин-та», 1923, вып. 4 |
| 27 | Район оледенения в целом | Обручев В. А. Признаки ледникового периода в Северной и Центральной Азии (Исторический очерк и сводка наличных данных) | В кн.: Избранные работы по географии Азии. Т. 3. М., Географиз, 1951 |
| 28 | Джунгарский Алатау в целом | Рубцов Н. И. Растительный покров Джунгарского Алатау | Алма-Ата, Изд-во АН КазССР, 1948 |
| 29 | Бассейн р. Хоргоса в целом | Русанов А. Горное озеро Казан-Куль в Джунгарском Алатау | «Туркестанский мелиорационный бюллетень», 1914, № 5 |
| 30 | Район оледенения в целом, в том числе ледник № 42 | Рыбин Н. Г. Ледники Казахстана | В кн.: Очерки по физ. геогр. Казахстана. Алма-Ата, Изд-во АН КазССР, 1952 |
| 31 | Район оледенения в целом, в том числе ледники № 45—48, 201—207, 224—226, 229, 258, 268—270 | Сапожников В. В. Очерки Семиречья, Ч. 2 (Джунгарский Алатау и одна экскурсия в Заилийский Алатау) | «Изв. Томского университета», 1906, кн. 28 |
| 32 | Джунгарский Алатау в целом | Утемагамбетов М. М. Краткий обзор исследований Казахстанской Джунгарии | «Уч. зап. Алма-Атинского пед. ин-та им. Абая» Серия естеств.-геогр., 1955, т. 7 |

| № п/п | Номер ледника по схеме | Автор и наименование работы | Место издания работы |
|-------|--|---|---|
| 1 | 2 | 3 | 4 |
| 33 | Район оледенения в целом | Черкасов П. А., Зенкова В. А. История исследования современного и древнего оледенения хребта Джунгарский Алатау | В кн.: Гляциол. исслед. в период МГГ. Заилийский и Джунгарский Алатау. Вып. 1. Алма-Ата, Изд-во АН КазССР, 1961 |
| 34 | Район оледенения в целом | Черкасов П. А. Внутриековая цикличность изменения пространственного состояния ледников Казахстана и Средней Азии (автореферат) | В кн.: Материалы гляциол. исслед. (МГГ). Хроника, обсуждения. Вып. 9. М., 1964 |
| 35 | Район оледенения в целом | Черкасов П. А., Васильев В. Г. Влияние рельефа на размещение и условия существования ледников южного склона Джунгарского Алатау | В кн.: Гляциол. исслед. в Казахстане. Вып. 10. Гидрология ледников. Алма-Ата, «Наука» КазССР, 1974 |
| 36 | Джунгарский Алатау в целом | Черкасов П. А., Вилесов Е. Н. Карта «Оледенение гор Казахстана» в научно-справочном географическом атласе Казахской ССР | М., Изд-во ГУГК, 1975 |
| 37 | Джунгарский Алатау в целом | Черкасов П. А., Вилесов Е. Н. Ледовый запас Казахстана | «Природа», 1972, № 11 |
| 38 | Район оледенения в целом | Шульц С. С. Отчет о работе Джунгарской геологической партии летом 1930 г. (в Джунгарском Алатау) | «Изв. Всесоюз. геол.-развед. объединения», 1932, т. 51, вып. 3 |
| 39 | Район оледенения в целом | Юдичев М. М. Альпийские движения в Джунгарском Алатау | «Проблемы советской геологии», 1937, т. 7, № 2 |
| 40 | Район оледенения в целом | Юдичев М. М. Джунгарский Алатау. Материалы по геологии и полезным ископаемым Казахстана | Труды Каз. фил. АН СССР, 1940, вып. 14 |
| 41 | Джунгарский Алатау в целом | Friederichsen M. Forschungreise in den Zentral Tien-Schan und Dsungarischen Ala-tau (Путешествие в Тянь-Шань и Джунгарский Алатау) | Mitt. Geogr. Gesell. im Hamburg. B. 20, 1904 |
| 42 | Район оледенения в целом. Ледники № 45—48, 201—207, 224—226, 229, 258, 268—270 | Friederichsen M. Originalkarte zur Veranschaulichung der Reiseroute der unter Leitung des Professor W. W. Saposchnikow im Sommer 1902 ausgeführten Expedition in den Centralen Tien-Schan. Blatt II. Der Dsungarischen Ala-tau (Westlicher & centraler teil). Nach seinen Tagebüchern Routenaufnahmen, Photographien & allem Sonstigen Quellenmaterial. 1904. [Оригинальная карта маршрута экспедиции в Центральный Тянь-Шань, проведенной летом 1902 г. под руководством профессора В. В. Сапожникова. Лист 2. Джунгарский Алатау (Западная и центральная часть). По своим дневникам, маршрутным съемкам, фотографиям и всем прочим источникам]. Приложение к работе Сапожникова В. В. «Очерки Семиречья», ч. 2. | «Известия Томского университета», 1906, кн. 28 |

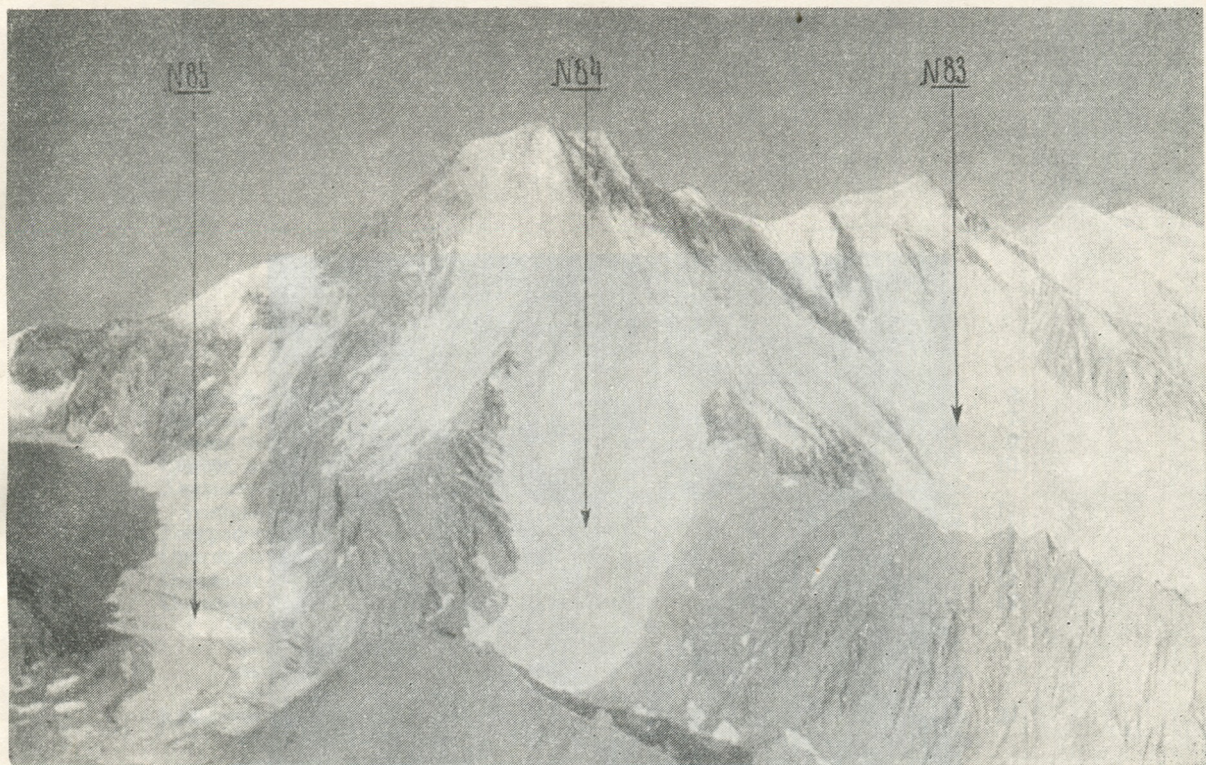


Рис. 29. Самая высокая вершина в описываемом районе — пик Панфилова (4359 м), со склонов которого берут начало долинный ледник Шаталова (№ 83), карово-долинный ледник № 84, долинный ледник Сторожевой (№ 85). Бассейн р. Хоргоса.

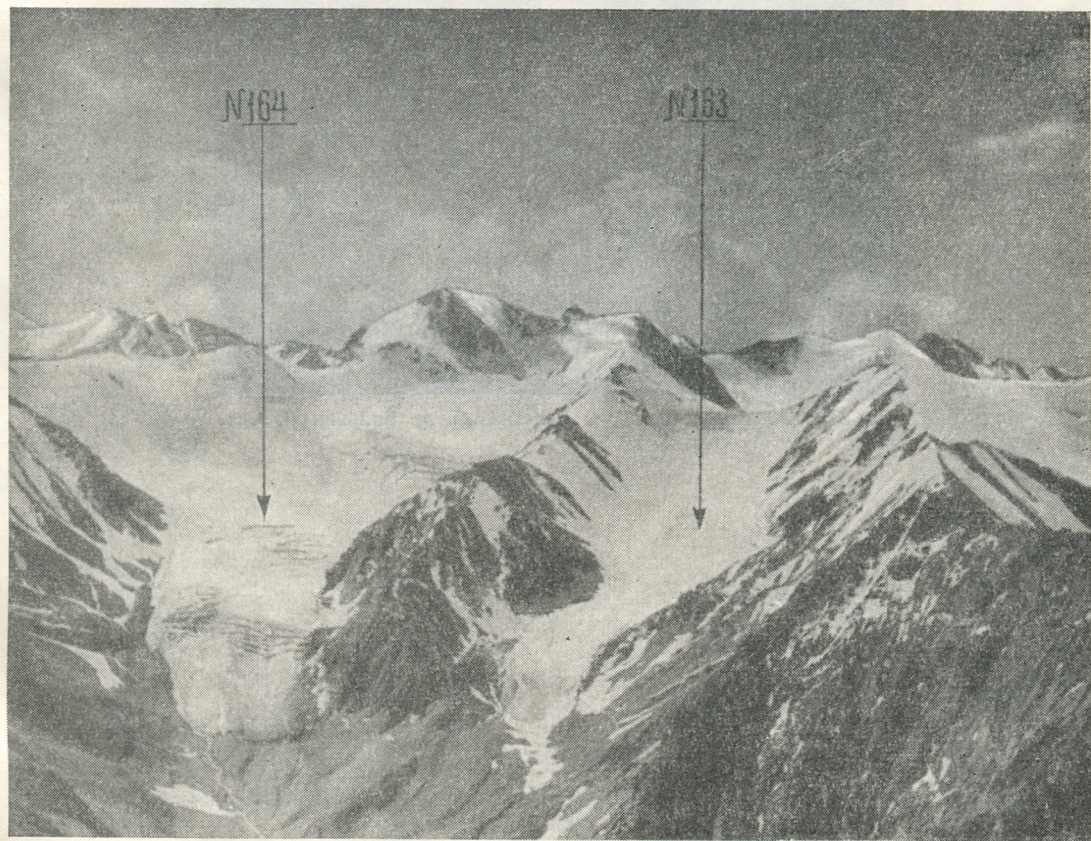


Рис. 30. Долинный ледник № 163, долинный ледник Саргир (№ 164). Бассейн р. Большого Усека.



Рис. 31. Долинный ледник № 168. Бассейн р. Большого Усека.

О ГЛАВЛЕНИЕ

| | |
|--|----|
| Предисловие | 3 |
| Деление Каталога ледников СССР на тома, выпуски и части | 7 |
| Список томов, выпусков и частей Каталога ледников СССР | 9 |
| Список принятых сокращений | 10 |
| Характеристика географического положения, морфологии, климатических условий и режима ледников | 11 |
| Географическое положение и границы района | 11 |
| Орогидрография | 11 |
| Основные черты рельефа | 12 |
| Основные черты современного оледенения | 12 |
| Общая площадь оледенения. Морфологические типы ледников. Распределение площади современного оледенения по экспозициям. Зависимость размеров оледенения от высоты гор. Фирновая линия. Распределение ледников в зависимости от рельефа их бассейнов | |
| Климатические и метеорологические условия существования ледников | 30 |
| Циркуляция атмосферы. Метеорологические условия высокогорной зоны. Радиационный и тепловой баланс ледников | |
| Схемы расположения ледников (рис. 20—27) | 35 |

ОСНОВНЫЕ ТАБЛИЦЫ КАТАЛОГА ЛЕДНИКОВ

| | |
|---|----|
| Таблица I — Основные сведения о ледниках | 44 |
| Пояснения к таблице I | 64 |
| Таблица II — Список гидрометеорологических станций и постов в районе ледников | 72 |
| Таблица IV — Экспедиционные и стационарные исследования ледников | 74 |
| Таблица V — Список работ, содержащих сведения о ледниках | 75 |
| Дополнительные материалы (рис. 29—31) | 79 |

РЕСУРСЫ ПОВЕРХНОСТНЫХ ВОД СССР

Каталог ледников СССР, том 13, выпуск 2, часть 4

Редактор И. С. Якорь
Техн. редактор М. С. Костакова
Корректор Л. И. Хромова

Сдано в набор 21/VIII 1974 г. Подписано к печати 1/VIII 1975 г.
М-20482. Формат 60×90 $\frac{1}{8}$, бумага типогр. № 1. Печ. л. 10,5.
Уч.-изд. л. 11,47. Тираж 400 экз. Индекс ГЛ-73. Заказ № 195.
Цена 82 коп.

Гидрометеонзат. 199053, Ленинград, 2-я линия, д. 23.

Ленинградская типография № 8 Союзполиграфпрома
при Государственном комитете Совета Министров СССР
по делам издательств, полиграфии и книжной торговли.
190000, Ленинград, Прачечный пер., 6.